

624.04
M-98

Müller-Breslau,
профессоръ политехникума въ Берлинѣ.

Выпускъ X.

Графическая статика сооружений.

Переводъ съ послѣдняго немецкаго изданія.

Т. Г. Кривошеинъ,

Военный инженеръ, преподаватель Николаевской Инженерной Академіи и Училища.

П. Н. Казинъ,

Военный инженеръ.

✓ Томъ II.

Содержание выпускa X:

- I. Деформациі прямаго бруса. Примененіе къ сплошной балкѣ.
II. Многопролетныя балки.

Издание инженера П. Н. Казина.

С. ПЕТЕРБУРГЪ.

Типо-литографія и переплетная Ю. А. Мансфельда, Малая Морская, № 9.

1900.

2186

Мüller-Breslau,

профессоръ политехникума въ Берлинѣ.

Выпускъ X.

Графическая статика сооружений.

Переводъ съ послѣдняго немецкаго изданія.

Т. Т. Кривошеинъ,

Военный инженеръ, преподаватель Николаевской Инженерной Академіи и Училища.

П. Н. Казинъ,

Военный инженеръ.

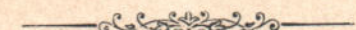
Томъ II.

СОДЕРЖАНИЕ выпускка X:

- I. Деформациія прямаго бруса. Применение къ сплошной балки.
II. Многопролетная балка.



Издание инженера П. Н. Казина.



С.-ПЕТЕРБУРГЪ.

Типо-литографія и переплетная Ю. А. Мансфельда, Малая Морская, № 9.

1900.

Дозволено цензурою, С.-Петербургъ, 12 Ноября 1900 г.

О ГЛАВЛЕНИЕ *)

ВЫПУСКА X.

ОТДѢЛЪ I.

Дѣформація прямаго бруса. Примѣненіе къ сплошной балкѣ.

	СТР.
§ 1. Основные законы	5
§ 2. Линія прогибовъ	16
§ 3. Прямая балка съ задѣланными концами	26

ОТДѢЛЪ II.

Многопролетныя балки.

§ 4. Балка съ произвольнымъ числомъ опоръ, перемѣщенія которыхъ заданы.	32
§ 5. Продолженіе. Вліяніе равномѣрно распределенной нагрузки	44
§ 6. Балка на упругихъ опорахъ	59
§ 7. Неразрѣзная промежуточная (продольная) мостовая балка	73
§ 8. Примѣненіе общихъ условий упругости къ статически неопределѣмымъ балкамъ	86

*) Выпускъ X составляетъ вторую неоконченную часть II-го тома нѣмецкаго оригинала. Конецъ второй части и III-й томъ въ нѣмецкомъ подлиннику еще не напечатаны.

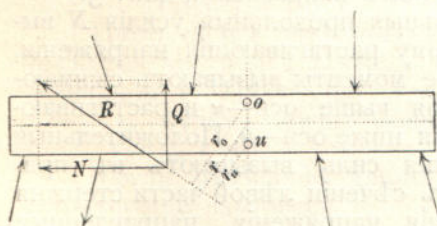
ОТДѢЛЪ I.

Деформаціи прямаго бруса. Примѣненіе къ сплошной балкѣ.

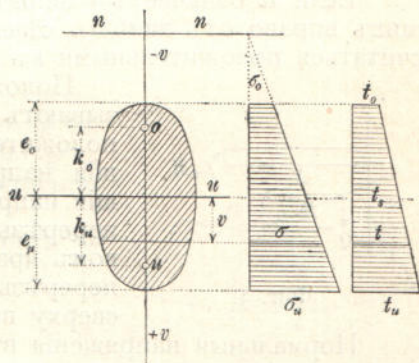
§ 1.

Основные законы *).

1. Нормальныя напряженія. Пусть на прямой стержень дѣйствуютъ силы, произвольно направленныя, но лежащія въ одной и той же полости. Пусть ось стержня лежитъ въ плоскости дѣйствія силъ, въ плоскости, которая разсѣкаетъ всѣ поперечныя сѣченія по главной оси vv , фиг. 1 и 2. Линія нулевыхъ напряженій nn будетъ тогда въ каждомъ сѣченіи перпендикулярна къ оси vv ; линія же прогибовъ стержня (кривая изгиба), называемая также упругой линіей, будетъ лежать въ плоскости дѣйствія силъ.



Фиг. 1.



Фиг. 2.

* См. томъ I, выпускъ I, отдѣлъ III, № 36—53.

Во всѣхъ элементахъ сѣченія, одинаково удаленныхъ отъ оси *nn*, вызываются одинаковая нормальная напряженія σ , величина которыхъ опредѣляется формулой

$$(1) \quad \sigma = \frac{N}{F} + \frac{Mv}{J},$$

гдѣ F означаетъ площадь поперечного сѣченія,

J —моментъ инерціи площиади поперечного сѣченія относительно оси *uu*, проходящей черезъ центръ тяжести сѣченія и перпендикулярной къ оси *v*,

v —разстояніе элемента сѣченія отъ оси *u*,

M —изгибающій моментъ относительно оси, проходящей черезъ центръ тяжести сѣченія,

N —продольное усилие въ рассматриваемомъ сѣченіи.

Кромѣ нормальныхъ напряженій σ въ сѣченіи вызываются перерѣзывающія напряженія τ , на которыхъ пока не будемъ обращать вниманія.

Пусть R означаетъ равнодѣйствующую внѣшнихъ силъ, дѣйствующихъ по одну сторону разматриваемаго сѣченія, а r —длину перпендикуляра, опущенного изъ центра тяжести сѣченія на направление R , тогда

$$M = Rr.$$

При разложеніи R по направленіямъ оси стержня и оси *v* получимъ продольное усилие N и поперечную (перерѣзывающую) силу Q .

Относительно выбора знака установимъ слѣдующія данныя для чаше всего встрѣчающагося случая горизонтальной балки.

Если подъ R подразумѣвать равнодѣйствующую внѣшнихъ силъ, дѣйствующихъ слѣва отъ даннаго сѣченія, то

M будетъ положительно, если вращеніе происходитъ слѣва направо (т. е. по направленію движенія часовой стрѣлки),

N —положительно, если сила направлена справа налево,

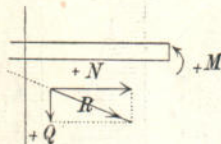
Q —положительно, если сила направлена снизу вверхъ.

Если R означаетъ равнодѣйствующую внѣшнихъ силъ, лежащихъ вправо отъ даннаго сѣченія, то количества M , N , Q будутъ считаться положительными въ обратномъ направленіи, фиг. 3.

Положительная продольная усилия N вызываются поэтому растягивающія напряженія; положительные моменты вызываютъ сжимающія напряженія выше оси—*u* и растягивающія напряженія ниже оси—*u*. Положительныя перерѣзывающія силы вызываютъ въ правомъ крайнемъ сѣченіи лѣвой части стержня перерѣзывающія напряженія, направленныя сверху внизъ.

Нормальные напряженія въ крайнихъ элементахъ сѣченія будуть таковы:

$$(2) \quad \left| \begin{array}{l} \sigma_u = \frac{N}{F} + \frac{Me_u}{J} = \frac{N}{F} + \frac{M}{W_u} \\ \sigma_o = \frac{N}{F} - \frac{Me_o}{J} = \frac{N}{F} - \frac{M}{W_o}, \end{array} \right.$$



Фиг. 3.

гдѣ

$$(3) \quad W_u = \frac{J}{e_u} \quad \text{и} \quad W_o = \frac{J}{e_o}$$

представляютъ такъ называемыя *моменты сопротивленія площади поперечнаго сжатія*.

Если ввести сюда моменты, взятые относительно точекъ ядра o и u , лежащихъ на оси v , а именно

$$M^o = Rr_o \quad \text{и} \quad M^u = Rr_u,$$

то уравненія (2) примутъ такой видъ:

$$(4) \quad \sigma_u = + \frac{M^o}{W_u}; \quad \sigma_o = - \frac{M^u}{W_o}.$$

Точки ядра отстоятъ отъ оси— u на разстояніяхъ

$$(5) \quad k_o = \frac{W_u}{F}; \quad k_u = \frac{W_o}{F}.$$

2. Деформаціи, вызываемыя нормальными напряженіями и измѣненіемъ температуры. Первоначальное разстояніе dx между рассматриваемымъ сжатіемъ CC' и сжатіемъ CC' , лежащимъ отъ него безконечно близко, измѣняется на величину

$$(6) \quad \Delta dx_v = dx \left(\frac{\sigma}{E} + \varepsilon t \right),$$

причемъ dx взято на разстояніи v отъ оси— u ;

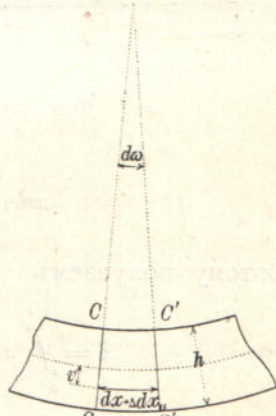
здѣсь означаютъ
 E —коэффиціентъ (модуль) упругости,
 t —измѣненіе температуры для мѣста v
(фиг. 2),

ε —коэффиціентъ линейнаго расширения для $t = 1$.

Пусть E и ε одинаковы для всѣхъ точекъ сжатія, а t , а также σ мѣняются съ величиной v . Пусть для $v = o$, $v = + e_u$, $v = - e_o$ будемъ имѣть соотвѣтственно $t = t_s$, $t = t_u$, $t = t_o$.

Тогда измѣненіе длины элемента dx оси стержня равняется

$$(7) \quad \Delta dx = dx \left(\frac{N}{EF} + \varepsilon t_s \right).$$



Фиг. 4.

* См. томъ I, выпускъ II—стр. 67 и выпускъ I—№ 48. Принятыя раньше обозначенія σ_1 и σ_2 замѣнены здѣсь новыми σ_u и σ_o .

такъ какъ для $v = 0$ напряженіе $\sigma = \frac{N}{F}$; въ тоже время первона-
чальное разстояніе между обоими сѣченіями для $v = +e_u$ и $v = -e_o$
измѣняется соотвѣтственно на величину:

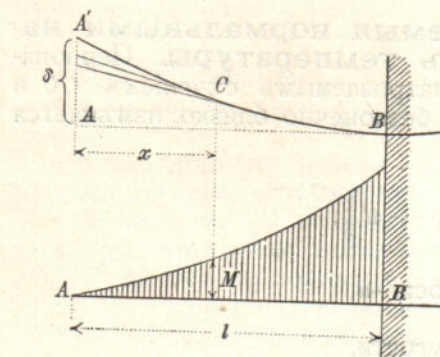
$$(8) \quad \left\{ \begin{array}{l} \Delta dx_u = dx \left(\frac{N}{EF} + \frac{Me_u}{EJ} + \varepsilon t_u \right) \\ \Delta dx_o = dx \left(\frac{N}{EF} - \frac{Me_o}{EJ} + \varepsilon t_o \right). \end{array} \right.$$

Если высота сѣченія $= h$, то уголъ $d\omega$, на который поворачи-
ваются оба сѣченія CC и $C'C'$ относительно другъ друга, состав-
ляетъ

$$d\omega = \frac{\Delta dx_u - \Delta dx_o}{h} \text{ т. е.}$$

$$(9) \quad d\omega = \left(\frac{M}{EJ} + \varepsilon \frac{t_u - t_o}{h} \right) dx.$$

Очевидно $d\omega$ представляетъ также уголъ смежности упругой



Фиг. 5.

линии стержня, т. е. уголъ, образуемый двумя смежными касательными къ упругой линіи. Возьмемъ, напр., стержень AB первоначально горизонтальный, закрѣпленный неподвижно однимъ своимъ концомъ B ; пусть стержень отъ дѣйствія какой нибудь нагрузки приметъ форму $A'C'B$. Пусть площадь моментовъ будеть задана (заштрихована на фиг. 5); требуется найти прогибъ δ свободного конца. Двѣ касательныя, проведенные къ упругой линіи въ точкахъ x и $x+dx$, отсѣкаются на прямой AA' отрезокъ

$$xd\omega = x \left(\frac{M}{EJ} + \varepsilon \frac{t_u - t_o}{h} \right) dx,$$

поэтому получаемъ

$$(10) \quad \delta = \int_0^l x d\omega = \int_0^l \frac{M x dx}{EJ} + \int_0^l \frac{\varepsilon (t_u - t_o)}{h} x dx$$

а для случая постоянныхъ значеній $E, J, \varepsilon, h, t_u, t_o$:

$$(11) \quad \left\{ \begin{array}{l} \delta = \frac{I}{EJ} \int_0^l M x dx = \varepsilon (t_u - t_o) \frac{l^2}{2h}, \text{ т. е.} \\ \delta = \frac{\mathfrak{S}_x}{EJ} + \varepsilon (t_u - t_o) \frac{l^2}{2h}, \end{array} \right.$$

гдѣ \mathfrak{S}_u означаетъ статический моментъ площади моментовъ, взятый относительно вертикали точки A .

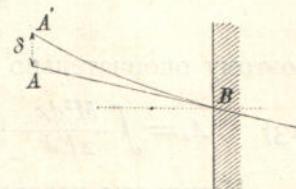
Когда при одинаковомъ всюду h ^{*)} величина J мѣняется, то можно написать такъ:

$$\delta = \frac{1}{EJ_c} \int_0^l M \frac{J_c}{J} x dx + \varepsilon (t_u - t_o) \frac{l^2}{2h},$$

гдѣ подъ J_c подразумѣвается произвольный, но постоянный по величинѣ моментъ инерціи; умножимъ затѣмъ ординаты M кривой моментовъ на соотвѣтствующія значенія $J_c : J$ и опредѣлимъ статический моментъ \mathfrak{S}'_u полученныхъ такимъ образомъ *искаженныхъ площадей моментовъ*, причемъ статический моментъ берется относительно вертикали, проходящей черезъ A . Тогда будемъ имѣть:

$$(12) \quad \delta = \frac{\mathfrak{S}'_u}{EJ_c} + \varepsilon (t_u - t_o) \frac{l^2}{2h}.$$

Если стержень закрѣпленъ въ точкѣ B не горизонтально, а подъ весьма малымъ угломъ, фиг. 6, то уравненія 11 и 12 можно примѣнить также и для вертикально измѣренного разстоянія $AA' = \delta$, потому что это разстояніе отличается отъ прогиба по направлению, перпендикулярному къ оси стержня, только на весьма малую величину высшаго порядка.



Фиг. 6.

3. Работа деформаціі отъ нормальныхъ напряженій. Съ цѣлью показать примѣненіе предложеній Кастильяно, описанныхъ во введеніи (выпускъ VI), вычислимъ еще работу деформаціі A , а также выражение

$$A_i = A + \int \sigma \varepsilon dV = A + \iint \sigma \varepsilon t dx dF.$$

Вліяніе количества σ на A опредѣляется изъ формулы:

$$A = \int \frac{\sigma^2 dV}{2E} = \iint \frac{\sigma^2 dx dF}{2E}.$$

Сначала проинтегрируемъ по сѣченію, а затѣмъ по длине оси стержня и тогда, принимая во вниманіе формулу

$$\sigma = \frac{Mv}{J} + \frac{N}{F}$$

^{*)} При примѣненіи вышеприведенныхъ формулъ къ сплошнымъ балкамъ подъ h слѣдуетъ понимать всегда постоянную высоту вертикального ребра. Измѣняемость J получается при измѣненіи сѣченія для поясныхъ листовъ.

и условія равновѣсія

$$\int \sigma dF = N, \quad \int \sigma v dF = M.$$

получимъ слѣдующее значеніе для работы деформації:

$$A = \int \frac{dx}{2E} \int \sigma^2 dE = \int \frac{dx}{2E} \left[\frac{M}{J} \int \sigma v dF + \frac{N}{F} \int \sigma dF \right]$$

$$A = \int \frac{M^2 dx}{2EJ} + \int \frac{N^2 dx}{2EF},$$

а затѣмъ, такъ какъ $t = t_s + \frac{t_u - t_o}{h} v$,

найдемъ:

$$\int \int \sigma \varepsilon t dxdF = \int \varepsilon dx \int \sigma \left(t_s + \frac{t_u - t_o}{h} v \right) dF$$

$$= \int \varepsilon t_s N dx + \int \varepsilon (t_u - t_o) \frac{M}{h} dx,$$

поэтому окончательно получится:

$$(13) \quad A_i = \int \frac{M^2 dx}{2EJ} + \int \frac{N^2 dx}{2EF} + \int \varepsilon (t_u - t_o) \frac{M}{h} dx + \int \varepsilon t_s N dx.$$

Интегралы распространены на всю длину стержня.

Кромѣ деформацій Δdx и $d\omega$ напряженія σ и t вызываютъ еще измѣненія въ размѣрахъ поперечного сѣченія; впрочемъ въ дальнѣйшихъ изслѣдованіяхъ этими измѣненіями можно пренебречь. Попытка разрѣшенія этого вопроса описана въ сочиненіи автора: *Die neueren Methoden der Festigkeitslehre*, Leipzig, Baumgärtner's Buchhandlung, 1886, § 22 *).

4. Перерѣзывающія **) напряженія. Въ задачахъ, разматриваемыхъ въ настоящей книжѣ, достаточно ограничиться изслѣдованиемъ перерѣзывающихъ напряженій τ только для случая сѣченій, симметричныхъ относительно оси v . Если ширина поперечного сѣченія $2z$ представляется непрерывною функциею количества v (фиг. 7), то направлениe перерѣзывающаго напряженія τ , вызываемаго перерѣзывающей силой Q въ какой либо точкѣ сѣченія D , пересѣкаетъ ось v въ точкѣ H ; эта точка получается при проведении касательной BH къ вѣнчному контуру сѣченія въ точкѣ B , лежащей на хордѣ AB , которая проведена черезъ D параллельно оси— u ***). Разлагая τ на составляющія напряженія τ_v —перпендикулярное къ оси— v и τ_u —перпендикулярное къ оси— u , найдемъ

$$(14) \quad \tau_u = \frac{QS}{2zJ}; \quad \tau_v = \tau_u \frac{u}{z} \operatorname{tg} \varphi,$$

*) Так же второе изданіе 1893 г. (въ русскомъ переводе инж. Н. Митинскаго: *Новые методы строительной механики*, проф. Мюллер-Бреслау, Спб. 1898, Щепанскій).

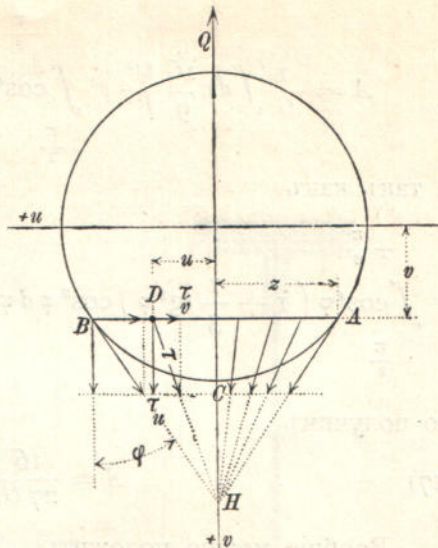
**) Или скальзывающія.

***) См. также томъ I, выпускъ I, № 52.

гдѣ S —статический моментъ относительно оси— u одной изъ частей площади поперечного сѣченія, раздѣляемаго хордой AB (напр. части ABC),

J —моментъ инерціи всей пло-
щади поперечного сѣче-
нія относительно оси— u и
 φ —уголъ, образуемый каса-
тельной въ точкѣ B съ
осью— v .

5. Деформациі отъ перерѣзывающихъ напряженій. Опредѣлимъ вліяніе напряженій τ на деформацію стержня съ помощью теоремы Кастильяно о производной работы деформації A , причемъ сначала вычислимъ ту часть A , которая зависитъ отъ перерѣзывающихъ напряженій. Эта величина для принимаемаго нами случая постояннаго коэффициента поперечной упругости G опредѣлится по слѣдующей формулѣ (см. № 28, выпускъ VI, уравн. 50):



Фиг. 7.

$$\begin{aligned}
 A &= \frac{I}{2G} \int (\tau_{uu}^2 + \tau_{vv}^2) dV = \frac{I}{2G} \int dx \int \int (\tau_{uu}^2 + \tau_{vv}^2) du dv \\
 &= \frac{I}{2G} \int dx \int \int \tau_{uu}^2 \left(1 + \frac{u^2}{z^2} \operatorname{tg}^2 \varphi \right) du dv \\
 &= \frac{I}{2G} \int dx \int \tau_{uu}^2 dv \int_{-\infty}^{+\infty} \left(1 + \frac{u^2}{z^2} \operatorname{tg}^2 \varphi \right) du \text{ т. е.} \\
 (15) \quad A &= \frac{I}{G} \int dx \int \tau_{uu}^2 \left(1 + \frac{1}{3} \operatorname{tg}^2 \varphi \right) z dv.
 \end{aligned}$$

Напр. для **прямоугольнаго сѣченія** при ширинѣ b и высотѣ $h = 2e$

$$\tau_u = \frac{3}{2} \frac{Q}{F} \left(1 - \frac{v^2}{e^2} \right), \quad z = \frac{I}{2} b, \quad \varphi = 0.$$

Затѣмъ получимъ:

$$A = \frac{I}{G} \int dx \frac{9}{4} \frac{Q^2}{F^2} \frac{b}{2} \int_{-e}^{+e} \left(1 - \frac{v^2}{e^2} \right)^2 dv,$$

а такъ какъ $\int_{-e}^{+e} \left(1 - \frac{v^2}{e^2} \right)^2 dv = \frac{16}{15} e = \frac{8F}{15b}$, то

$$(16) \quad A = \frac{3}{5G} \int \frac{Q^2 dx}{F}.$$

Для круга съ радиусомъ e

$$\tau_u = \frac{4}{3} \frac{Q}{F} \cos^2 \varphi, \quad z = e \cos \varphi, \quad v = e \sin \varphi$$

$$A = \frac{1}{G} \int dx \frac{16}{9} \frac{Q^2}{F^2} e^2 \int_{-\frac{\pi}{2}}^{+\frac{\pi}{2}} \cos^4 \varphi \left(1 + \frac{1}{3} \operatorname{tg}^2 \varphi \right) \cos^2 \varphi d\varphi,$$

а такъ какъ

$$\int_{-\frac{\pi}{2}}^{+\frac{\pi}{2}} \cos^4 \varphi \left(1 + \frac{1}{3} \operatorname{tg}^2 \varphi \right) \cos^2 \varphi d\varphi = \frac{2}{3} \int_0^\pi (2 \cos^6 \varphi + \cos^4 \varphi) d\varphi = \frac{\pi}{3},$$

то получимъ

$$(17) \quad A = \frac{16}{27 G} \int \frac{Q^2 dx}{F}.$$

Вообще можно положить

$$(18) \quad A = \frac{x}{2G} \int \frac{Q^2 dx}{F},$$

гдѣ x означаетъ число, зависящее отъ формы поперечного сѣченія.

Для прямоугольника $x = \frac{6}{5}$, для круга $x = \frac{32}{27}$.

Мы уже раньше указывали (№ 52, I томъ, I выпускъ) на то, что уравненія (14) не примѣнимы въ тѣхъ случаяхъ, когда количества z и φ , зависящія отъ v , не имѣютъ мѣстами непрерывности; подобный случай имѣть мѣсто въ одномъ изъ важнѣйшихъ поперечныхъ сѣченій, а именно въ поперечномъ сѣченіи сплошной клепанной балки. Отбросивъ всѣ тонкости расчета, мы можемъ принять, что перерѣзывающая сила Q распредѣляется только по сѣченію F_s вертикального листа и притомъ равномѣрно.

Тогда при $\tau_u = \frac{Q}{F_s}$, $\tau_v = 0$ получимъ:

$$(19) \quad A = \frac{1}{2G} \int \frac{Q^2 dx}{F_s} = \frac{1}{2G} \int \frac{x Q^2 dx}{F};$$

коэффициентъ x для поперечного сѣченія балки равняется $x = F : F_s$; вообще для различныхъ сѣченій той же балки этотъ коэффициентъ не одинъ и тотъ же.

Пусть S_g и J_g означаютъ соотвѣтственно статическій моментъ и моментъ инерціи относительно оси— u площади сѣченія пояса, состоящаго изъ уголковъ и горизонтальныхъ листовъ; пусть h_1 высота и b толщина вертикальной стѣнки; тогда въ формулу

$$\tau_u = \frac{QS}{2zbJ}$$

надо подставить:

$$S = S_g + \frac{1}{8} \delta h_1^2 - \frac{1}{2} \delta v^2 = S_c - \frac{1}{2} \delta v^2 \text{ и } 2z = \delta;$$

пренебрегая перерѣзывающимъ и напряженіями въ поясныхъ листахъ, получимъ:

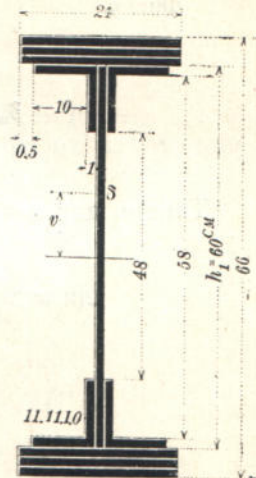
$$A = \frac{I}{2G} \int dx \frac{Q^2}{\delta^2 J^2} \int_{-\frac{h_1}{2}}^{+\frac{h_1}{2}} \left(S_c - \frac{I}{2} \delta v^2 \right)^2 \delta \cdot dv = \frac{I}{2G} \int \frac{\pi Q^2 dx}{F},$$

откуда найдемъ:

$$\begin{aligned} z &= \frac{F}{J^2 \delta} \int_{-\frac{h_1}{2}}^{+\frac{h_1}{2}} \left(S_c - \frac{I}{2} \delta v^2 \right)^2 dv \\ &= \frac{F h_1}{J^2 \delta} \left[S_c^2 - \frac{\delta S_c h_1^2}{12} + \frac{\delta^2 h_1^4}{720} \right] \\ &= \frac{F h_1}{J^2 \delta} \left[\left(S_g + \frac{\delta h_1^2}{12} \right)^2 + \frac{\delta^2 h_1^4}{720} \right]. \end{aligned}$$

Членомъ $\frac{\delta^2 h_1^4}{720}$ въ сравненіи съ членомъ $\left(S_g + \frac{\delta h_1^2}{12} \right)^2$ можно всегда пренебречь; если написать, что $h_1 : \delta = h_1^2 : F_s$, где F_s означаетъ площадь поперечного сѣченія вертикального листа, то окончательно получимъ

$$z = \frac{F}{F_s} \left[\frac{h_1 \left(S_g + \frac{I}{12} \delta h_1^2 \right)}{J} \right]^2$$



Фиг. 8.

Для сѣченія, показанного на фиг. 8, имѣемъ, напримѣръ:

$$S = \frac{I}{8} \left[24 \cdot 66^2 - 2 \cdot 0,5 \cdot 60^2 - 2 \cdot 10 \cdot 58^2 - 2 \cdot 1,0 \cdot 48^2 - 1,0 \cdot 60^2 \right] = 3182,$$

$$J = \frac{I}{12} \left[24 \cdot 66^3 - 2 \cdot 0,5 \cdot 60^3 - 2 \cdot 10 \cdot 58^3 - 2 \cdot 1,0 \cdot 48^3 \right] = 213373,$$

$$\delta = 1,0, h_1 = 60, \text{ а затѣмъ:}$$

$$z = \frac{F}{F_s} \left[\frac{60(3182 + 300)}{213373} \right]^2 = 0,96 \frac{F}{F_s}.$$

Отбросивъ поясные листы, получимъ:

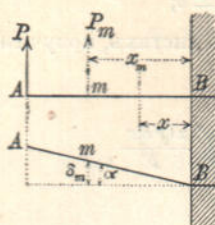
$$S_g = 3182 - \frac{24}{8} (66^2 - 60^2) = 914$$

$$J_g = 213373 - \frac{24}{12} (66^3 - 60^3) = 70002$$

$$z = \frac{F}{F_s} \left[\frac{60(914 + 300)}{70002} \right]^2 = 1,07 \frac{F}{F_s}.$$

Принимая во вниманіе не совсѣмъ точныя положенія современной теоріи перерѣзывающихъ напряженій, мы съ достаточною точностью можемъ принять слѣдующее значеніе для z , а именно $z = 1,0 \frac{F}{F_s}$.

Разсмотримъ теперь горизонтальный стержень AB съ постояннымъ поперечнымъ съченiemъ, фиг. 9, одинъ конецъ B котораго закрѣпленъ, а на другой конецъ дѣйствуетъ сосредоточенный грузъ P , перпендикулярный къ оси стержня. Опредѣлимъ то перемѣщеніе δ_m точки m , взятой по оси стержня на разстояніи x_m отъ B , которое зависитъ исключительно отъ перерѣзывающихъ напряженій.



Фиг. 9.

Приложимъ въ точкѣ m по направлению δ_m грузъ P_m , которой надо впослѣдствіи привнять нулю, тогда получимъ

$$\delta_m = \frac{\partial A}{\partial P_m} = \frac{x}{GF} \int_0^x Q \frac{\partial Q}{\partial P_m} dx.$$

Теперь для $x < x_m$: $Q = P + P_m$, $\frac{\partial Q}{\partial P_m} = 1$

для $x > x_m$: $Q = P$, $\frac{\partial Q}{\partial P_m} = 0$, а потому

$$\delta_m = \frac{x}{GF} \int_0^{x_m} P dx \text{ т. е.}$$

$$(20) \quad \delta_m = \frac{x P x_m}{GF}.$$

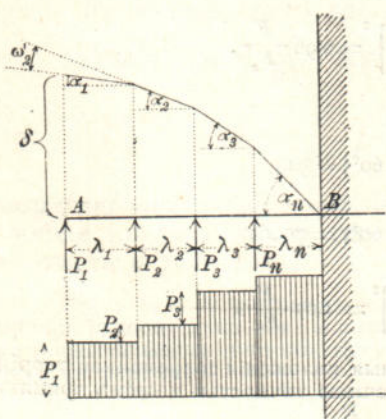
Ось стержня остается поэтому прямолинейной; уголъ поворота ея равняется

$$(21) \quad \alpha = \frac{\delta_m}{x_m} = \frac{x P}{GF}.$$

Точка m получаетъ перемѣщеніе перпендикулярное къ оси стержня и ни въ коемъ случаѣ не по направлению оси стержня; это слѣдуетъ изъ того, что сила P_m , совпадающая съ осью стержня, не оказываетъ никакого влиянія на Q , а

тогда получимъ, что $\frac{\partial Q}{\partial P} = 0$ и $\delta_m = 0$.

Если для случая нагрузки, представленной на фиг. 10 (свободная балка AB подъ дѣйствіемъ сосредоточенныхъ грузовъ P_1, P_2, \dots, P_n), принять во вниманіе только перерѣзывающія напряженія τ , то для упругой линіи стержня получимъ ломанную линію. Пусть частямъ стержня $\lambda_1, \lambda_2, \dots$ соответствуютъ значения



Фиг. 10.

x_1, x_2, \dots и F_1, F_2, \dots , тогда углы наклоненія сторонъ ломаной линіи будуть таковы:

$$\alpha_1 = \frac{x_1 Q_1}{GF_1}, \quad \alpha_2 = \frac{x_2 Q_2}{GF_2}, \quad \alpha_3 = \frac{x_3 Q_3}{GF_3} \text{ и т. д.};$$

гдѣ $Q_1 = \dot{P}_1$, $Q_2 = P_1 + P_2$, $Q_3 = P_1 + P_2 + P_3$ и т. д.

Уголъ ω'_2 , образуемый двумя смежными сторонами многоугольника, лежащими влѣво и вправо отъ P_2 , равняется

$$(22) \quad \omega'_2 = \frac{I}{G} \left(\frac{x_2 Q_2}{F_2} - \frac{x_1 Q_1}{F_1} \right).$$

При одинаковомъ повсюду сѣченіи ($F_1 = F_2 = F_3 = \dots = F$ и $x_1 = x_2 = x_3 = \dots = x$), уравн. (22) обращается въ слѣдующее

$$(23) \quad \omega'_2 = \frac{x}{GF} P_2,$$

поэтому для ω'_2 получается значеніе, пропорціональное грузу P_2 .

Перемѣщеніе δ конца стержня A равняется

$$(24) \quad \delta = \alpha_1 \lambda_1 + \alpha_2 \lambda_2 + \dots = \Sigma \alpha \lambda = \Sigma \frac{Q \alpha \lambda}{GF},$$

а при одинаковомъ повсюду сѣченіи:

$$(25) \quad \delta = \frac{x}{GF} \Sigma Q \lambda = \frac{x \widetilde{\delta}_q}{GF}$$

гдѣ $\widetilde{\delta}_q$ означаетъ величину площиади перерѣзывающихъ сильь, заштрихованной для наглядности на фиг. 10.

Особенный видъ упругой линіи, состоящей изъ прямолинейныхъ участковъ, получается, конечно, на основаніи неточнаго определѣнія перерѣзывающихъ напряженій вблизи грузовъ P ; допущение ступенчатаго измѣненія перерѣзывающихъ напряженій есть только вспомогательное средство, предложенное въ виду невозможности точнѣе опредѣлить состояніе напряженій въ мѣстахъ дѣйствія грузовъ P .

Когда нагрузка непрерывна, то и упругая линія также непрерывна. Вмѣсто P здѣсь входитъ pdx , гдѣ p означаетъ ординату нагрузки. Тогда при одинаковомъ повсюду поперечномъ сѣченіи уравненіе 23 обращается въ слѣдующее:

$$(26) \quad d\omega' = \frac{xpdx}{GF};$$

при перемѣнныхъ же сѣченіяхъ изъ уравн. (22) получаемъ:

$$(27) \quad d\omega' = \frac{I}{G} \frac{d \left(\frac{xQ}{F} \right)}{dx} dx = \frac{I}{G} \left(\frac{x}{F} p + Q \frac{d \left(\frac{x}{F} \right)}{dx} \right) dx.$$

Для послѣдняго случая слѣдуетъ всетаки замѣнить непрерывную нагрузку грузами сосредоточенными, лежащими близко одинъ отъ другаго, и примѣнить уравненіе 22. Для отдѣльныхъ частей стержня слѣдуетъ принять постоянныя среднія значенія x и F .

Напомнимъ здѣсь, что между коэффиціентами упругости G и E существуетъ такая зависимость

$$(28) \quad G = \frac{mE}{2(1+m)},$$

гдѣ m означаетъ коэффиціентъ поперечного расширенія. Для сварочнаго и литаго желѣза $m=3$ до 4 , поэтому

$$(29) \quad G = \frac{3}{8} E \text{ до } \frac{2}{5} E.$$

§ 2.

Линія прогибовъ *).

6. Линія прогибовъ жесткаго стержня представляетъ собою весьма плоскую кривую, поэтому отрѣзокъ, который отсѣкается двумя смежными касательными на вертикали, проведенной на разстояніи i отъ точки касанія, можетъ быть приравненъ $i \cdot d\omega$, гдѣ $d\omega$ означаетъ уголъ смежности, фиг. 11. Но отсюда слѣдуетъ, что линію прогибовъ можно разматривать какъ веревочную кривую для вертикальныхъ грузовъ; полусное разстояніе надо взять $= i$, или лучше $= i : v$ съ тѣмъ, чтобы получить прогибы въ v —разъ большемъ масштабѣ.

Не обращая пока вниманія на вліяніе перерѣзывающихъ напряженій, мы получимъ изъ уравн. 9, стр. 8:

$$d\omega = \left(\frac{M}{EJ} + \varepsilon \frac{t_u - t_o}{h} \right) dx,$$

и тогда линія прогибовъ будетъ веревочной кривой для непрерывной нагрузки, которая при абсциссѣ x имѣеть высоту

$$(1) \quad z = \frac{M}{EJ} + \varepsilon \frac{t_u - t_o}{h}.$$

*.) Въ примѣненіи къ стержнямъ, брусьямъ, эта линія прогибовъ называется также *упругую линію, изогнутой осью*. Такъ какъ для насъ имѣютъ интересъ въ большинствѣ случаевъ вертикальныя перемѣщенія не только въ брусьяхъ, но и въ рѣшетчатыхъ фермахъ, то название линіи прогибовъ (Biegungslinie) будетъ нѣсколько общище.

Когда съченіе балки постоянно, то слѣдуетъ ввести высоту нагрузки

$$(2) \quad z = M + \varepsilon EJ \frac{t_u - t_o}{h},$$

а веревочную кривую надо тогда построить при полюсномъ разстояніи EJ (или соотвѣтственно $EJ:v$).

Если $t_u - t_o = 0$, то получимъ весьма простое соотношеніе $z = M$, т. е. площадь моментовъ будетъ грузовою площадью для искомой веревочной кривой.

При перемѣнныхъ съченіяхъ упругая линія строится обыкновенно какъ веревочная кривая для нагрузки

$$(3) \quad z = M \frac{J_c}{J} + \varepsilon EJ_c \frac{t_u - t_o}{h},$$

гдѣ J_c означаетъ произвольный но постоянный моментъ инерціи. Полюсное разстояніе необходимо взять тогда равнымъ $= EJ_c$ (или соотвѣтственно $EJ_c:v$).

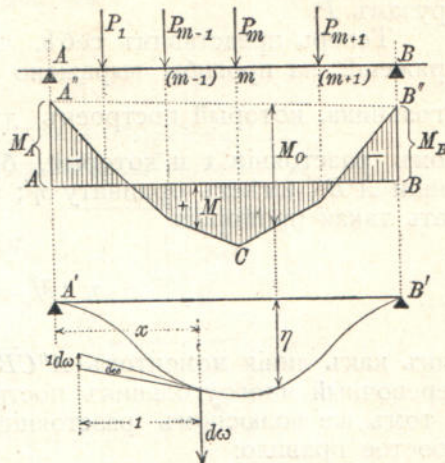
Когда веревочная кривая построена, то для опредѣленія прогибовъ η необходимо привести еще два условія, служація для проведения замыкающей линіи $A'B'$. На фиг. 11 представлена одна панель балки, лежащей на нѣсколькихъ опорахъ; опорные точки считаются неподвижными въ вертикальномъ направлениі; замыкающая линія опредѣляется условіями $\eta_A = 0$, $\eta_B = 0$.

7. Если требуется принять во вниманіе также вліяніе перерѣзывающихъ напряженій, то къ нагрузкѣ z (которая можетъ быть опредѣлена по уравн. 3) прибавляются въ точкахъ приложения m грузовъ P_m еще сосредоточенные грузы, опредѣляемые по уравн. 22, стр. 15, а именно

$$(4) \quad w_m = \frac{EJ_c}{G} \left(\frac{z_{m+1} Q_{m+1}}{F_{m+1}} - \frac{z_m Q_m}{F_m} \right)^{*};$$

при этомъ предполагалось, что непрерывная нагрузка, дѣйствующая на балку, замѣнена рядомъ сосредоточенныхъ грузовъ. Величины z_m , F_m представляютъ среднія значенія для протяженія $(m-1) - m$.

Когда отношеніе $z:F$ одинаково для всѣхъ поперечныхъ съченій балки—(этотъ случай имѣеть мѣсто не только при постоянныхъ поперечныхъ съченіяхъ, но и при одинаковомъ поперечномъ



Фиг. 11.

* Здѣсь необходимо ввести множитель EJ_c , потому что при примѣненіи уравненія 3 полюсное разстояніе для линіи прогибовъ было взято $= EJ_c$.

съченіи F_s въ вертикальныхъ листахъ сплошныхъ балокъ, потому что въ нихъ мы имѣемъ $\propto : F = 1 : F_s$, стр. 13) — тогда получимъ

$$(5) \quad w_m = \frac{\propto E J_c}{G F} P_m,$$

а отсюда заключаемъ, что добавочные грузы w пропорциональны грузамъ P .

Теперь представимъ себѣ, что вліяніе перерѣзывающихъ напряженій на прогибы выражено при помощи веревочного многоугольника, который построенъ для грузовъ $w = \frac{\propto P}{G F}$ при полюсномъ разстояніи 1 и который, будучи отнесенъ къ замыкающей линіи $A'B'$, имѣеть ординату η' ; тогда очевидно должна существовать такая пропорція

$$\eta' : M_o = \frac{\propto P}{G F} : P,$$

такъ какъ линія моментовъ $A''CB''$ (фиг. 11) представляетъ собою веревочный многоугольникъ, построенный для грузовъ P при одномъ и томъ же полюсномъ разстояніи 1; а отсюда получается весьма простое правило:

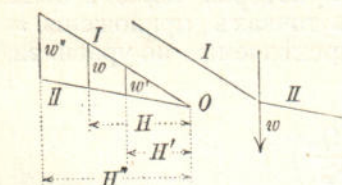
вліяніе перерѣзывающихъ напряженій на прогибъ выражается формулой

$$(6) \quad \eta' = \frac{\propto M_o}{G F}.$$

Обыкновенно достаточно бываетъ изслѣдовать съ помощью предъидущаго выражения вліяніе перерѣзывающихъ напряженій на какую нибудь ординату линіи прогибовъ (вблизи η_{max}).

8. Когда прогибы сплошной балки съ перемѣннымъ поперечнымъ съченіемъ построены для ряда различныхъ нагрузокъ, то слѣдующее измѣненіе въ ранѣе предложенномъ приемѣ имѣеть большія преимущества.

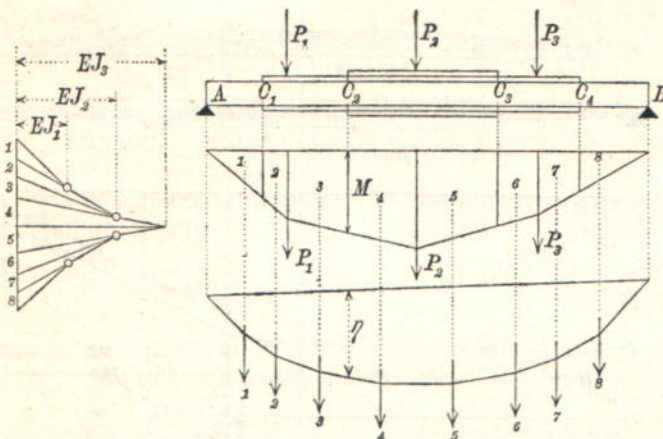
Основывается это на той теоремѣ, что каждый отдельный грузъ w въ веревочномъ многоугольнике можно замѣнить меньшимъ w' или большимъ w'' , если только въ томъ же отношеніи уменьшено или увеличено полюсное разстояніе H . См. фиг. 12, где I и II представляютъ два смежныхъ бока одного и того же веревочного многоугольника.



Фиг. 12.

Разсмотримъ теперь ферму на фиг. 13; пусть поперечные съченія ея мѣняются скачками, причемъ на протяженіи $AC_1, C_1C_2, C_2C_3, \dots$ моменты инерціи будутъ J_1, J_2, J_3, \dots Требуется определить только вліяніе моментовъ M на прогибы. Примемъ площадь моментовъ за грузовую площадь, которую раздѣлимъ на участки такъ, чтобы границами этихъ участковъ были вертикальные прямые, проходящія черезъ точки C_1, C_2, \dots . Примемъ

величины площадей этихъ участковъ за грузы и построимъ для нихъ рядъ связанныхъ между собою веревочныхъ многоугольниковъ, полюсная разстоянія для которыхъ равны послѣдовательно EJ_1 , EJ_2 , EJ_3 , . . . и которые соединяютъ въсѧ участковъ, соответствующихъ протяженіямъ AC_1 , C_1C_2 , C_2C_3 . . . ; тогда мы получимъ многоугольникъ, описанный около упругой линіи; этотъ многоугольникъ называется часто веревочнымъ многоугольникомъ съ перемѣннымъ полюснымъ разстояніемъ.



Фиг. 13.

Если нагрузка балки мѣняется, то явится вновь только необходимость въ построеніи линій моментовъ, тогда какъ по способу, описанному въ № 7, требуется еще новое вычисление иска-женной линіи моментовъ ($M = \frac{J_e}{J}$). О вліяніи перерѣзывающихъ напряженій судятъ по уравн. 6; въ данномъ случаѣ $M_o = M$.

Численные примеры.

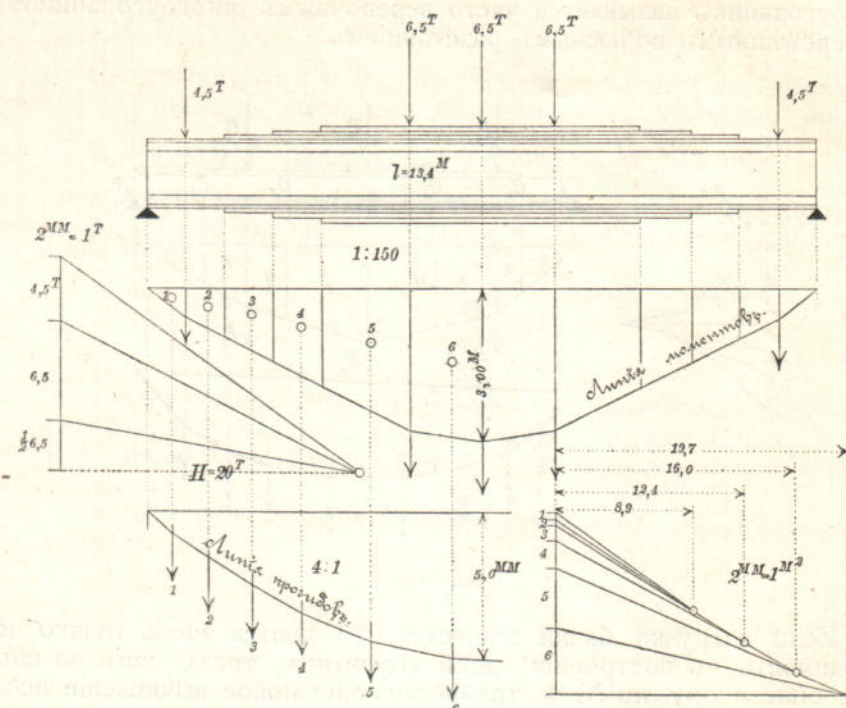
а. Прогибъ моста со сплошными балками. На фиг. 14 представлена главная ферма (сплошная балка) для моста въ одинъ путь; она состоитъ изъ вертикального листа 1300 · 10 мм., изъ уголковъ 100 · 100 · 12 мм. и изъ поясныхъ листовъ 245 · 10 мм., фиг. 15. Моментъ инерціи площади поперечного сѣченія, безъ вычета на ослабленіе заклепками, составляетъ:

$$\begin{aligned} \text{безъ листовъ} & . . . J_0 = 531\ 500 \text{ см}^4. \\ \text{съ 1 листомъ} & . . . J_1 = 741\ 700 \text{ "} \\ \text{" 2 листами} & . . . J_2 = 958\ 400 \text{ "} \\ \text{" 3 "} & . . . J_3 = 1\ 181\ 700 \text{ "} \end{aligned}$$

На ферму дѣйствуютъ давленія отъ пяти колесъ по 6,5 и 4,5 тоннъ. Требуется опредѣлить вліяніе этихъ давленій на прогибы.

Построимъ сначала линію моментовъ. Полюсное разстояніе взято $H = 20$ т., наибольшая ордината равняется 3,00 м.; такимъ образомъ получаемъ

$$\max M = 20 \cdot 3,00 = 60 \text{ т. м.} = 6000 \text{ т. см.}$$



Фиг. 14.

Раздѣлимъ теперь половину площади моментовъ на 6 частей, которые будуть соотвѣтственно равны

$$0,23 \quad 0,61 \quad 1,06 \quad 1,64 \quad 4,19 \quad 4,03 \text{ м}^2.$$

Полюсная разстоянія для вѣсовъ этихъ участковъ надо вычислить по формулѣ

$$\tilde{h} = \frac{EJ}{Hv},$$



потому что ординаты линіи моментовъ равны величинамъ моментовъ, раздѣленнымъ на H . Масштабъ искаженія $v:1$ равняется $150 \cdot 4:1 = 600:1$, такъ какъ ферма вычерчена въ масштабѣ $1:150$, а линія прогибовъ въ масштабѣ $4:1$. Поэтому при $E = 2000000 \text{ кг}/\text{см}^2 = 2000 \text{ т}/\text{см}^2$. получаемъ:

$$\tilde{h} = \frac{2000 J}{20 \cdot 600} = \frac{1}{6} J \text{ см}^2,$$

Фиг. 15.

откуда для вѣсовъ участковъ 1 и 2:

$$\delta = \frac{1}{6} \cdot 531\ 500 = 88\ 583 \text{ см}^2 = 8,9 \text{ м}^2,$$

$$\text{для участка 3: } \delta = \frac{1}{6} \cdot 74,17 = 12,4 \text{ м}^2.$$

$$\text{для участка 4: } \delta = \frac{1}{6} \cdot 95,84 = 16,0 \text{ м}^2.$$

$$\text{для участковъ 5 и 6: } \delta = \frac{1}{6} \cdot 118,17 = 19,7 \text{ м}^2.$$

Въ виду симметричности нагрузки линія прогибовъ построена только для половины балки. Наибольшій прогибъ получается въ 5,00 мм.

Отъ вліянія перерѣзывающихъ напряженій это значеніе увеличивается на величину

$$\gamma = \frac{\alpha M}{GF} = \frac{5}{2} \frac{M}{EF_s}.$$

Площадь поперечного сѣченія вертикального листа составляетъ $F_s = 130 \text{ см}^2$, такимъ образомъ получимъ

$$\gamma = \frac{5}{2} \frac{6\ 000}{2\ 000 \cdot 130} = 0,06 \text{ см.} = 0,6 \text{ мм.}$$

Такимъ образомъ вліяніе перерѣзывающихъ напряженій составляетъ 12% отъ прежде найденнаго значенія.

Въ нижеслѣдующемъ изслѣдованіи выведемъ простую и достаточно вѣрную приближенную формулу для вычисленія наибольшаго прогиба.

Для равномѣрно нагруженной балки $M = \frac{pl}{2} x - \frac{px^2}{2}$ и при постоянномъ J , не принимая во вниманіе вліянія перерѣзывающихъ напряженій, найдемъ

$$(I) \quad \delta = \frac{1}{EJ} \int_0^{l/2} \left(\frac{pl}{2} x - \frac{px^2}{2} \right) x dx = \frac{5p l^4}{384 EJ} = \frac{5 M_{max} l^2}{48 EJ}.$$

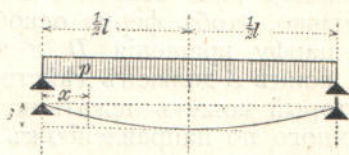
Если поперечное сѣченіе при постоянной высотѣ, взято перемѣннымъ и подобрано такимъ образомъ, что напряженіе σ всюду одинаково, то отношеніе $M:J$ принимаетъ постоянное значеніе и тогда получаемъ

$$(II) \quad \delta = \frac{M}{EJ} \int_0^{l/2} x dx = \frac{6 M_{max} l^2}{48 EJ},$$

гдѣ J означаетъ моментъ инерціи въ наиболѣе напряженномъ поперечномъ сѣченіи.

Въ сплошныхъ балкахъ поперечный сѣченія которыхъ мѣняются скачками, величина δ заключается между предѣлами I и II и лежитъ ближе къ предѣлу I. Замѣнимъ дробь $\frac{5}{48}$ дробью $\frac{5,4}{48} = \frac{9}{80} =$ около $\frac{1}{9}$ и примемъ во вниманіе вліяніе перерѣзывающихъ силъ, тогда получимъ

$$\delta = \frac{M_{max} l^2}{9 EJ} + \frac{5}{2} \frac{M_{max}}{E F_s},$$



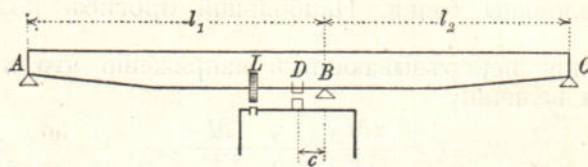
Фиг. 16.

а въ примѣненіи къ данному примѣру

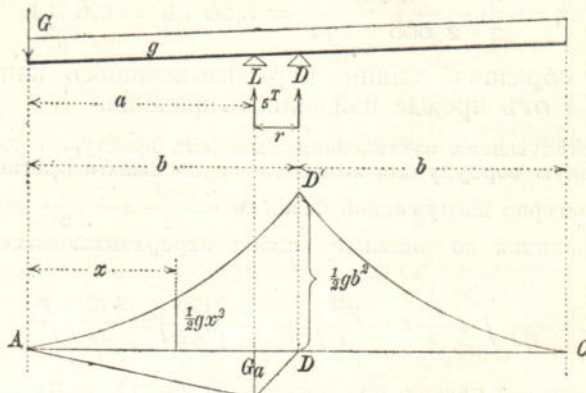
$$\delta = \frac{6000 \cdot 1340^2}{9 \cdot 2000 \cdot 1181700} + \frac{5}{2} \cdot \frac{6000}{2000 \cdot 130} = 0,56 \text{ см.},$$

что почти вполнѣ согласуется съ результатомъ, полученнымъ раньше. Въ пользу примѣненія приближенной формулы говорить еще то обстоятельство, что такъ называемый точный расчетъ основанъ на такихъ предположеніяхъ, которыхъ не всегда строго выполняются.

б. Прогибъ открытаго поворотнаго моста системы Шведлера. (Листъ чертежей 1). Когда мостъ закрыть, то каждая изъ главныхъ фермъ лежитъ на опорахъ A , B , C . Въ точкахъ B и C расположены неподвижныя опорныя подушки, въ



Фиг. 17.



Фиг. 18.

точкѣ же A находится подвижная опора, которая можетъ понижаться или совсѣмъ уничтожаться, напр. вращающійся упоръ (Pendel). Для открытия моста необходимо опору A опустить на столько, чтобы ферма освободилась отъ опоръ B и C и легла бы на цапфу вращенія D и на опорный катокъ L . Противовѣсъ G на концѣ A долженъ дѣйствовать такъ, чтобы центръ тяжести моста, который можетъ лежать на вертикали надъ точкой D , перемѣстился немного по направленію къ A ; это обыкновенно устраивается такимъ образомъ, что опорное колесо получаетъ нагрузку въ 5 тоннъ; поэтому будемъ имѣть

$$G = 5 \frac{r}{b}.$$

Постоянная нагрузка принимается обыкновенно равномерно распределенной. Тогда площадь моментовъ для открытого моста состоить изъ двухъ площадей параболъ ADD' и CDD' (фиг. 18) съ высотой $\frac{1}{2}gb^2$ и изъ треугольника, высота котораго Ga . Вершины параболъ лежать въ точкахъ A и C .

Мостъ предназначенъ для двухъ железнодорожныхъ путей и имѣть двѣ главныхъ фермы. Пусть $a = 13,8$ м., $r = 3,5$ м., $b = 17,3$ м., $l_1 = 18,1$ м., $l_2 = 16,5$ м., $c = 0,8$ м. Размѣры поперечныхъ сѣченій указаны на листѣ чертежей 1; вертикальный листъ имѣть размѣры 1400 · 10 мм. до 1640 · 12, уголки 100 · 110 · 13 и 110 · 110 · 14 мм., поясные листы 400 · 13 мм. Постоянная нагрузка составляетъ 1,3 тоннъ на метръ пути. Изъ реакціи опорного колеса въ 5 тоннъ на каждую ферму приходится 2,5 тоннъ, поэтому противовѣсь на каждую ферму составляетъ

$$G = 2,5 \cdot \frac{3,5}{17,3} = 0,5 \text{ тонн.}$$

$$\text{Затѣмъ получимъ } M_p = \frac{gb^2}{2} = 195 \text{ тм. и}$$

$$Ga = 0,5 \cdot 13,8 = 7 \text{ тм.};$$

площадь моментовъ, соотвѣтствующая этимъ значеніямъ, заштрихована синимъ на листѣ чертежей 1. Эта площадь построена въ масштабѣ 1 мм. = 4,5 тм.; ординаты этой площади необходимо умножить на величину перемѣнного отношенія $J_c : J$, гдѣ J означаетъ мѣръ инерціи площади поперечнаго сѣченія въ данномъ мѣстѣ, а J_c означаетъ величину произвольнаго но постояннаго момента инерціи. Величины J нанесены на чертежѣ по ломанной линіи, заштрихованной чернымъ; величина J колеблется отъ 666 386 см⁴. до 3 356 824 см⁴. Для J_c выбрано значеніе 2 500 000 см⁴. = 0,025 м⁴.

По уравн. 3, стр. 17, количество $z = M \frac{J_c}{J}$ образуетъ тѣ ординаты нагрузки для цѣпной линіи, которая зависятъ отъ нормальныхъ напряженій; къ нимъ надо прибавить еще членъ, выражаютій влияніе дѣйствія солнечныхъ лучей на верхній поясъ:

$$z_t = \frac{t_o - t_u}{h} \varepsilon E J_c *)$$

причемъ $t_o - t_u$ должно равняться по меньшей мѣрѣ = 10° Cels.; поэтому при принятыхъ величинахъ для высоты вертикального листа h (отъ 1,40 до 1,64 м.), $\varepsilon = 0,000\ 012$, $E = 20\ 000\ 000$ т./м.², т. е. $\varepsilon E = 240$, имѣемъ

$$\text{отъ } z_t = \frac{10}{1,40} \cdot 240 \cdot 0,025 = 43 \text{ тм.}$$

$$\text{до } z_t = \frac{10}{1,64} \cdot 240 \cdot 0,025 = 37 \text{ тм.}$$

*) См. формулу 4, стр. 17. Здѣсь требуется перемѣна знаковъ, потому что теперь, въ противоположность предыдущимъ условіямъ, мы считаемъ положительными тѣ моменты, которые вызываютъ растяженія въ верхніхъ частяхъ поперечныхъ сѣченій.

Чтобъ принять во вниманіе перерѣзывающія напряженія разсмотримъ грузы w , соотвѣтствующіе отдѣльнымъ силамъ

$$G = 0,5 \text{ т.}, \quad L = 2,5 \text{ т.}, \quad D = 2gb + G - L = \text{около} \ 43 \text{ т.}$$

и вычисленные по формулѣ $w_m = \frac{zP}{GF} EJ_e^*) = \frac{5}{2} \frac{PJ_e}{F_s}$ (гдѣ $F_s = 0,0140$ до $0,0164 \times 1,2 \text{ м}^2$); грузы эти обозначены на чертежѣ цифрами 1, 11, 15 и равны соотвѣтственно:

$$w_1 = \frac{5}{2} \cdot 0,5 \frac{0,025}{0,014} = 2 \text{ т. м}^2. \quad **)$$

$$w_{11} = \frac{5}{2} \cdot 2,5 \frac{0,025}{0,014} = 11 \text{ т. м}^2.$$

$$w_{15} = \frac{5}{2} \cdot 43 \frac{0,025}{0,0164 \cdot 1,2} = 138 \text{ т. м}^2;$$

величины же грузовъ

$$z_s = \frac{5}{2} \frac{gJ_e}{F_s}, \text{ т. е.}$$

$$z_s = \frac{5}{2} \cdot 1,3 \frac{0,025}{0,014} = 6 \text{ тм.} \quad \text{до} \quad z_s = \frac{5}{2} \cdot 1,3 \frac{0,025}{0,0164 \cdot 1,2} = 4 \text{ тм.}$$

зависящихъ отъ постоянной нагрузки $g = 1,3 \text{ т.}$ необходимо вычесть. Такимъ образомъ нами найдена грузовая площадь (окаймленная краснымъ) для линіи прогибовъ, рассматриваемой какъ веревочный многоугольникъ; величины площадей отдѣльныхъ участковъ, выраженные въ т. м², выписаны въ таблицѣ:

№	Величина площадей.	№	Величина площадей.	№	Величина площадей.
2	57	10	258	20	255
3	48	12	510	21	189
4	84	13	82	22	171
5	102	14	86	23	123
6	149	16	153	24	60
7	194	17	98	25	73
8	209	18	347	26	52
9	223	19	359	27	62

*) Здѣсь G означаетъ, конечно, коэффиціентъ поперечной упругости.

**) Этотъ грузъ не могъ быть отложенъ, такъ какъ величина его весьма мала.

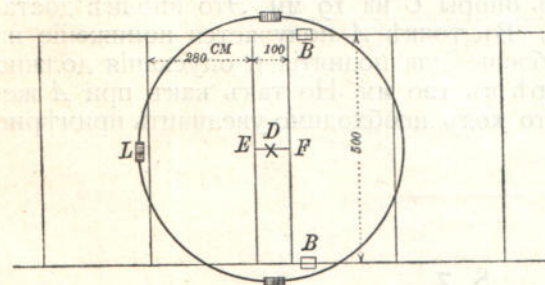
Линейный масштабъ для фермы взять $1:240$, прогибы же вычерчены въ масштабѣ $2:3$. Поэтому

$$\gamma = 240 \cdot \frac{2}{3} = 160$$

и полюсное разстояніе

$$H = \frac{EJ_e}{\gamma} = \frac{20\ 000\ 000 \cdot 0,025}{160} = 3125 \text{ т. м}^2.$$

Надо замѣтить еще, что реакціи цапфы вращенія и опораго колеса не передаются непосредственно главнымъ формамъ, а черезъ посредство упругихъ промежуточныхъ фермъ. Ферма для цапфы EF (см. фиг. 23, гдѣ представленъ планъ средней части моста) имѣеть пролетъ въ 100 см.; моментъ инерціи площади поперечнаго сѣченія



Фиг. 23.



Фиг. 24.

$= 200\ 000 \text{ см}^4$; прогибъ этой фермы можно опредѣлить по формулѣ, имѣющей мѣсто для случая нагрузкіи на фиг. 24:

$$\delta' = \frac{1}{3} \frac{Da^3}{EJ}, \text{ а при } D = 43 \text{ т.,}$$

$$\delta' = \frac{1}{3} \frac{43 \cdot 50^3}{2\ 000 \cdot 200\ 000} \text{ см.;$$

для поперечныхъ фермъ, поддерживающихъ ферму для цапфъ, при общемъ моментѣ инерціи $J = 1\ 750\ 000 \text{ см}^4$, получаемъ

$$\delta'' = \frac{1}{3} \cdot \frac{43 \cdot 250^3}{2\ 000 \cdot 1\ 750\ 000} \text{ см.}$$

Сдѣлавъ вычисленія, найдемъ, что $\delta' + \delta'' = 0,7 \text{ мм.}$; точка опоры D лежитъ выше начерченной на фиг. 21 (листъ чертежей 1) упругой линіи главной фермы именно на эту величину. Реакція опораго колеса передается главнымъ образомъ поперечной фермѣ, лежащей непосредственно вблизи этого колеса. При $J = 400\ 000 \text{ см}^4$. получимъ

$$\delta''' = \frac{1}{3} \frac{2,5 \cdot 250^3}{2\ 000 \cdot 400\ 000} = 0,016 \text{ см.} = 0,2 \text{ мм.} *$$

* Этой величиной въ большинствѣ случаевъ пренебрегаютъ.

Обозначимъ теперь при *закрытомъ, но не нагруженномъ* мостѣ (фиг. 19) буквами:

y_d разстояніе отъ нижняго края цапфы (пятки) до верхняго края под пятника,

y_i разстояніе отъ нижняго края опорнаго колеса до верхняго рельса,

y'_d прогибъ въ точкѣ D отъ собственнаго вѣса,

y'_i тоже въ точкѣ L *)

и примемъ, что $y_d + y'_d = 1,3$ мм.

$y_i + y'_i = 18$ мм. **),

тогда на фиг. 21 получимъ положеніе опорныхъ точекъ A , B , C , нанесенное по отношенію къ линіи прогибовъ открытаго моста; отсюда узнаемъ, что при пониженіи опоры A ферма отдалася отъ опоры B на 1,00 мм., и отъ опоры C на 19 мм. Это вполнѣ достаточно для поворота моста. Въ точкѣ A получается пониженіе на 120 мм., поэтому приспособленіе для поднятія и опусканія должно имѣть ходъ по крайней мѣрѣ въ 120 мм. Но такъ какъ при A желательно оставить зазоръ, то ходъ необходимо увеличить примѣрно до 125 мм.

§ 3.

Прямая балка съ задѣланными концами.

9. Сдѣлаемъ изслѣдованіе прямаго бруса, задѣланнаго обоими концами, путемъ рѣшенія слѣдующей задачи, весьма важной также и для дальнѣйшихъ изслѣдований. Пусть на горизонтальный брусъ AB , лежащій свободно на двухъ опорахъ, съ одинаковымъ повсюду попечечнымъ сѣченіемъ, дѣйствуютъ вертикальныя силы P . Кроме того пусть на концы бруса дѣйствуютъ пары силъ, моменты которыхъ равны M_A и M_B . Требуется вычислить углы наклоненія a' и a'' крайнихъ касательныхъ къ упругой линіи. Фиг. 25.

ACB представляетъ веревочный многоугольникъ, построенный для грузовъ P при полюсномъ разстояніи l ; заштрихованная площадь ACB представить тогда площадь моментовъ для простой балки AB , находящейся только подъ дѣйствиемъ грузовъ P , и изгибающіе моменты для которой по концамъ ея равны нулю. Если ввести теперь моменты M_A и M_B , то замыкающую линію AB надо замѣнить замыкающей линіей $A'B'$; эта послѣдняя опредѣляется ординатами $\overline{AA'} = M_A$, $\overline{BB'} = M_B$. Сѣченію балки C соотвѣтствуетъ тогда изгибающій моментъ $M = \overline{CC'}$.

*) Прогибы y'_d , y'_i должны быть опредѣлены, конечно, съ помощью отдельнаго изслѣдованія; они равняются въ данномъ примѣрѣ соответственно 0,2 мм. и 1,2 мм.

**) На фиг. 21 (листъ черт. 1) это разстояніе обозначено ошибочно въ 13 мм. вместо 18 мм.

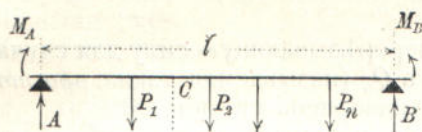
Примѣч. переводч.

Заштрихованную на фиг. 27 площадь можно назвать *простой площадью моментовъ* для балки AB ; если ордината ея для сѣченія x равняется M_o , то получимъ

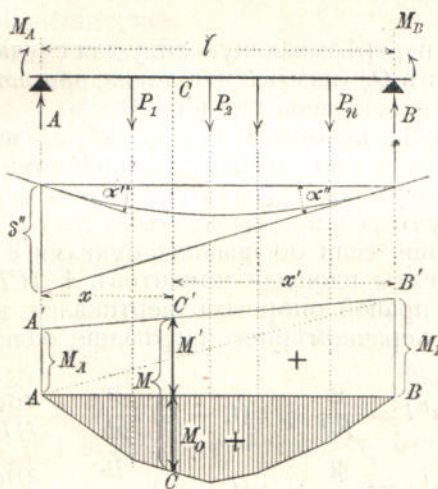
$$(1) \quad M = M_o + M' = M_o + M_A \frac{x'}{l} + M_B \frac{x}{l}.$$

Подобнымъ же образомъ сопротивлениа опоръ A и B можно выразить также въ зависимости отъ опорныхъ моментовъ M_A , M_B и отъ сопротивлений A_o , B_o (фиг. 28), соотвѣтствующихъ случаю $M_A = 0$, $M_B = 0$. Къ этому добавимъ еще, что опорные моменты

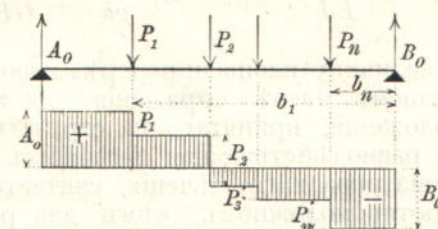
Фиг. 25.



Фиг. 26.

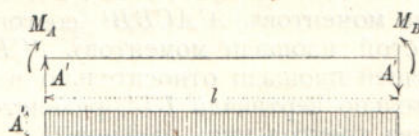


Фиг. 27.



Фиг. 28.

Фиг. 29.



вызываютъ сами по себѣ два сопротивленія опоръ A' , равныя по величинѣ, но противоположныя по направленію (фиг. 29), которые опредѣляются изъ уравненія равновѣсія

$$(2) \quad A' l + M_A - M_B = 0.$$

Тогда получаемъ формулы:

$$(3) \quad \begin{cases} A = A_0 + \frac{M_B - M_A}{l} \\ B = B_0 + \frac{M_A - M_B}{l} \end{cases}$$

а отсюда, безъ дальнѣйшихъ объясненій, узнаемъ, что перерѣзывающая сила для какого нибудь сѣченія опредѣляется изъ уравненія

$$(4) \quad Q = Q_0 + \frac{M_B - M_A}{l},$$

гдѣ Q_0 означаетъ перерѣзывающую силу для случая $M_A = 0$, $M_B = 0$. Площадь количествъ Q_0 (называемая также *простой площадью перерѣзывающихъ силъ*) начерчена на фиг. 28.

Для опредѣленія искомыхъ угловъ α'' , α' вычислимъ сначала отрѣзки $\delta'' = \alpha'' l$ и $\delta' = \alpha' l$, отсѣкаемые крайними касательными къ упругой линіи на вертикаляхъ опоръ A и B (фиг. 26), что сдѣлаемъ съ помощью формулъ 11 и 25, выведенныхъ въ § 1, и затѣмъ найдемъ слѣдующія уравненія, если обозначимъ буквами \mathfrak{L} и соответственно \mathfrak{R} статические моменты площади моментовъ $A'ACBB'$ (фиг. 27) относительно лѣвой и правой опорныхъ вертикалей и примемъ, кромѣ того, во вниманіе неравномѣрное нагруженіе балки:

$$(5) \quad \begin{aligned} \alpha'' l &= \frac{\mathfrak{L}}{EJ} + \varepsilon(t_u - t_o) \frac{l^2}{2h} + \frac{x\tilde{\delta}\varrho}{GF} \\ \alpha' l &= \frac{\mathfrak{R}}{EJ} + \varepsilon(t_u - t_o) \frac{l^2}{2h} - \frac{x\tilde{\delta}\varrho}{GF}, \end{aligned}$$

гдѣ $\tilde{\delta}\varrho$ означаетъ величину площади перерѣзывающихъ силъ. Знакъ минусъ въ послѣднемъ членѣ выраженія для $\alpha' l$ получается на основаніи того положенія, принятаго на стр. 6, что перерѣзывающая сила Q , какъ равнодѣйствующая вѣнчихъ силъ, дѣйствующихъ правѣ разсматриваемаго сѣченія, считается положительной въ направленіи противоположномъ, чѣмъ для равнодѣйствующей вѣнчихъ силъ, приложенныхъ влѣво отъ сѣченія.

Теперь площадь моментовъ $A'ACBB'$ состоять изъ трапецій $A'ABB'$ и изъ простой площади моментовъ ACB . Пусть статический моментъ послѣдней площади относительно вертикали AA' равняется \mathfrak{L}_o , а относительно вертикали BB' , равняется \mathfrak{R}_o . Тогда, разлагая трапецию на два треугольника, найдемъ:

$$(6) \quad \begin{cases} \mathfrak{L} = \mathfrak{L}_o + \frac{M_A l}{2} \cdot \frac{l}{3} + \frac{M_B l}{2} \cdot \frac{2l}{3} \\ \mathfrak{R} = \mathfrak{R}_o + \frac{M_A l}{2} \cdot \frac{2l}{3} + \frac{M_B l}{2} \cdot \frac{l}{3} \end{cases}$$

Площадь перерѣзывающихъ силъ слагается изъ простой площади перерѣзывающихъ силъ (фиг. 28), величина которой $\tilde{\delta} = A_0 l_1 - P_1 b_1 -$

$-P_2 b_2 - \dots - P_n b_n = 0$, и изъ площади прямоугольника (фиг. 29), размѣры котораго $A' = \frac{1}{l} (M_B - M_A)$ и l , а потому получимъ

$$\delta_0 = M_B - M_A.$$

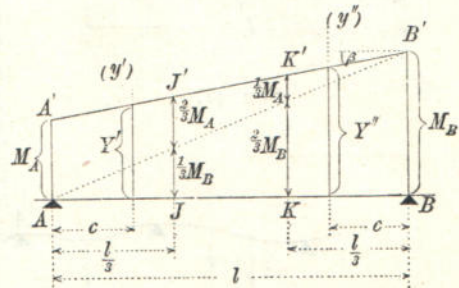
Подстановка этихъ значеній въ уравненіе 5 приводить къ формулѣ

$$(7) \begin{cases} EJ\alpha'' = \frac{\varrho_0}{l} + \frac{1}{6} (M_A + 2M_B) l + 2 \cdot \frac{EJ}{GFt} (M_B - M_A) + (t_u - t_o) \frac{l}{2h} \varepsilon EJ \\ EJ\alpha' = \frac{\vartheta_0}{l} + \frac{1}{6} (M_B + 2M_A) l + 2 \cdot \frac{EJ}{GFt} (M_A - M_B) + (t_u - t_o) \frac{l}{2h} \varepsilon EJ; \end{cases}$$

эту формулу можно упростить слѣдующимъ образомъ. Прямая $A'B'$, опредѣляемая опорными моментами M_A и M_B , уголъ наклоненія которой къ горизонту $= \beta$, фиг. 30, отсѣкаетъ на вертикаляхъ, проведенныхъ черезъ точки дѣленія пролета l на три равныя части, отрѣзки

$$\overline{JJ'} = \frac{1}{3} (M_B + 2M_A) \text{ и}$$

$$\overline{KK'} = \frac{1}{3} (M_A + 2M_B),$$



Фиг. 30.

а на вертикаляхъ (y') и (y'') , проведенныхъ отъ опоръ A и B на разстояніи

$$(8) \quad c = \frac{l}{3} - 2 \cdot \frac{FJ}{GFt},$$

отсѣкаетъ отрѣзки:

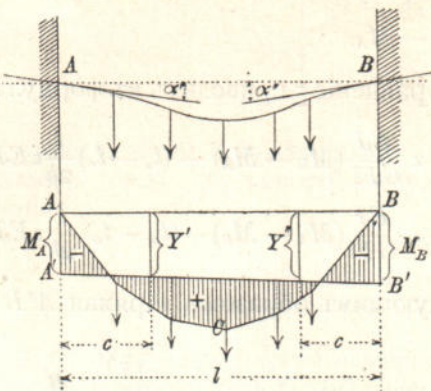
$$(9) \begin{cases} Y' = \overline{JJ'} - 2 \cdot \frac{EJ}{GFt} \operatorname{tg} \beta = \frac{1}{3} (M_B + 2M_A) - 2 \cdot \frac{EJ}{GFt^2} (M_B - M_A) \\ Y'' = \overline{KK'} + 2 \cdot \frac{EJ}{GFt} \operatorname{tg} \beta = \frac{1}{3} (M_A + 2M_B) + 2 \cdot \frac{EJ}{GFt^2} (M_B - M_A). \end{cases}$$

А отсюда заключаемъ, что уравненія 7 могутъ быть написаны въ слѣдующей формѣ:

$$(10) \begin{aligned} EJ\alpha'' &= \frac{1}{2} Y'' l + \frac{\varrho_0}{l} + (t_u - t_o) \frac{l}{2h} \varepsilon EJ \\ EJ\alpha' &= \frac{1}{2} Y' l + \frac{\vartheta_0}{l} + (t_u - t_o) \frac{l}{2h} \varepsilon EJ. \end{aligned}$$

Эти соображенія примѣнимы тогда, когда имѣемъ дѣло съ задачей обратной, т. е. когда углы α'' и α' даны, а требуется опре-

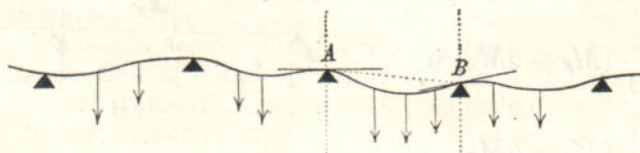
дѣлить моменты M_A и M_B ; этотъ случай встрѣчается, напр., при изслѣдованіи первоначально горизонтальнаго бруса, задѣланнаго обоими концами, которые вслѣдствіе осадки опоръ повернулись на углы α' , α'' , найденные непосредственно изъ наблюдений (фиг. 31).



Фиг. 31.

Тогда съ помощью уравненій 10 надо вычислить моменты Y' , Y'' и, пользуясь ими, провести замыкающую $A'B'$. На фиг. 31 предположено, что Y' , Y'' , отрицательны.

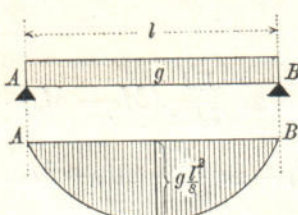
Особенно важное примѣненіе могутъ найти уравненія 10 въ многопролетныхъ балкахъ, такъ какъ отдельные части ея AB (фиг. 32) могутъ разсматриваться какъ брусья съ концами, задѣленными подъ определенными углами.



Фиг. 32.

Изъ зависимости между этими углами и опорными моментами мы можемъ опредѣлить значеніе моментовъ. Прежде чѣмъ перейти къ разрѣшенію этой задачи, покажемъ сначала способъ опредѣленія статическихъ моментовъ \mathfrak{I}_0 и \mathfrak{R}_0 .

a. Влияніе равномѣрно распределенной нагрузки g на единицу



Фиг. 33.

длины опредѣляется быстрѣе всего расчетнымъ путемъ. Простая линія моментовъ будетъ параболой со стрѣлкой $\frac{1}{8} gl^2$, фиг. 33. Величина площади параболы $= \frac{1}{8} gl^2 \cdot \frac{2}{3} l$, такимъ образомъ получаемъ:

$$(11) \quad \mathfrak{I}_0 = \mathfrak{R}_0 = \frac{1}{8} gl^2 \cdot \frac{2}{3} l \cdot \frac{l}{2} = \frac{gl^4}{24}.$$

b. Влияніе сосредоточенного груза. Простая площадь моментовъ представляется треугольникомъ ABC , фиг. 34, стороны которого отсѣкаютъ на вертикаляхъ опоръ A и B моменты $\overline{AJ} = P\xi$ и $\overline{BJ'} = P\xi'$. Разсматривая ABC какъ разность между треугольниками ABJ' и BCJ' , найдемъ

$$(12) \quad \mathfrak{R}_0 = P\xi' \frac{l}{2} \frac{l}{3} - P\xi' \frac{\xi'}{2} \frac{\xi'}{3} = \frac{Pl^3}{6} \left(\frac{\xi'}{l} - \frac{\xi'^2}{l^2} \right);$$

точно также можемъ получить:

$$(13) \quad \mathfrak{L}_0 = \frac{Pl^3}{6} \left(\frac{\xi}{l} - \frac{\xi^3}{l^3} \right).$$

Построивъ такимъ образомъ кубическую параболу, уравненіе которой

$$(14) \quad \eta_R = \frac{l}{3} \left(\frac{\xi'}{l} - \frac{\xi'^3}{l^3} \right).$$

мы можемъ теперь выразить вліяніе группы сосредоточенныхъ грузовъ на величину статического момента \mathfrak{R}_0 слѣдующою формулой:

$$(15) \quad \mathfrak{R}_0 = \frac{1}{2} l^2 \sum P \eta_R.$$

Эта кубическая парабола, которую можно назвать линіей количествъ η_R , получается слѣдующимъ образомъ. Откладываемъ на

фиг. 35 $A'E = \frac{1}{3}l$, проводимъ EB' ,

возставляемъ въ точкѣ ξ перпендикуляръ $C'G$ къ прямой $A'B'$, проводимъ $C'D \parallel B'E$, опредѣляемъ точку пересѣченія F прямыхъ DB' и $C'G$, проводимъ $FH \parallel B'E$ и соединяемъ H съ B' . Прямая HB' пересѣкаетъ $C'G$ въ точкѣ K , принадлежащей искомой кубической параболѣ. Зеркальное изображеніе линіи количествъ η_R , называемое линіей количествъ η_L , выражается формулой:

$$(16) \quad \mathfrak{L}_0 = \frac{1}{2} l^2 \sum P \eta_L.$$

Примѣръ. Для балки съ горизонтально задѣланными концами при неподвижныхъ стѣнахъ, получимъ (причемъ $\alpha' = 0$ и $\alpha'' = 0$):

$$0 = \frac{1}{2} Y''l + \frac{gl^3}{24} + \frac{1}{2} l \sum P \eta_L + (t_u - t_o) \frac{l}{2h} \varepsilon E J$$

$$0 = \frac{1}{2} Y'l + \frac{gl^3}{24} + \frac{1}{2} l \sum P \eta_R + (t_u - t_o) \frac{l}{2h} \varepsilon E J,$$

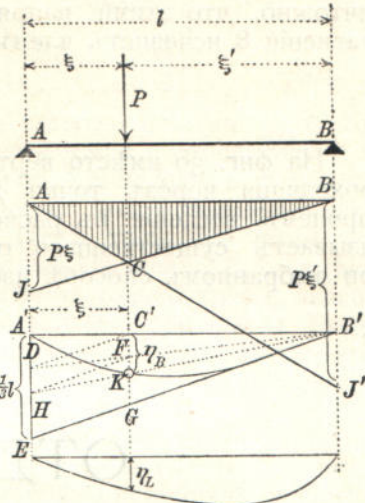
а отсюда находимъ, отдельно для каждого случая:

$$\text{вліяніе равномѣрной нагрузки: } Y' = Y'' = - \frac{gl^2}{12}$$

$$\text{сосредоточенныхъ грузовъ: } Y' = - \sum P \eta_R \\ Y'' = - \sum P \eta_L$$

$$\text{измѣненія температуры } Y' = Y'' = + \frac{\varepsilon E J}{h} (t_u - t_o).$$

Фиг. 34.



Фиг. 35.

Такимъ образомъ линія количествъ η^L будетъ линіей вліянія для количествъ Y'' , а линія количествъ η_R будетъ линіей вліянія для количествъ Y' .

Обратимъ еще вниманіе на то, что вліяніе перерѣзывающихъ напряженій на статически неопредѣлимъ величины Y' , Y'' настолько ничтожно, что этими напряженіями можно пренебречь. Тогда въ уравненіи 8 исчезнетъ членъ, зависящій отъ x , и мы получимъ

$$c = -\frac{1}{3} l.$$

На фиг. 30 вместо вертикалей y' , y'' будемъ имѣть вертикали, проходящія черезъ точки дѣленія пролета на три равныя части. Впрочемъ, введеніе въ расчетъ перерѣзывающихъ напряженій не вызываетъ существенного осложненія въ рѣшеніи нашей задачи при выбранномъ способѣ изслѣдованія.

ОТДѢЛЪ II.

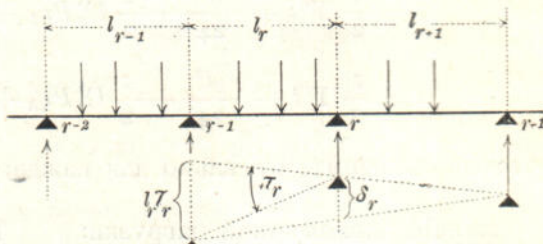
Многопролетныя балки.

§ 4.

Балки съ произвольнымъ числомъ опоръ, перемѣщенія которыхъ заданы.

10. Общій пріемъ. Общее изслѣдованіе неразрѣзной балки, лежащей на нѣсколькихъ опорахъ, фиг. 36, было приведено уже въ выпускѣ IX (§ 14). Выведенныя тамъ правила примѣнимы какъ къ рѣшеткѣ, такъ и къ сплошнымъ фермамъ; остается сказать еще нѣсколько словъ о линіяхъ прогибовъ, построенныхъ для состояній нагрузкокъ... $M_{r-1} = -1$, $M_r = -1$, $M_{r+1} = -1$.

Мы разсмотрѣли два смежныхъ пролета l_r , l_{r+1} , фиг. 37, построили пло-



Фиг. 36.

щадь моментовъ для состоянія $M_r = -1$, т. е. треугольникъ ABC , высота котораго по абсолютной величинѣ равняется 1, и опредѣлили соответствующую линію прогибовъ $(r-1)', r', (r+1)'$. Затѣмъ мы опредѣлили линію прогибовъ $(r-1)'' r'' (r+1)''$, зависящую только отъ дѣйствія

измѣненія температуры (напр. отъ нагрѣванія солнечными лучами верхняго пояса), и напли, что между опорными моментами M_{r-1} , M_r , M_{r+1} существуетъ такая зависимость

$$(1) \quad M_{r-1} \frac{d_r}{l_r} + M_r \left(\frac{c_r}{l_r} + \frac{c_r}{l_{r+1}} \right) + M_{r+1} \frac{d_{r+1}}{l_{r+1}} = N_r, \text{ где}$$

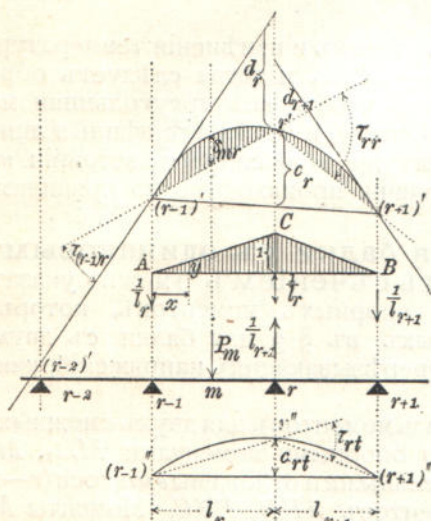
$$(2) \quad N_r = - \left\{ \Sigma P_m \delta_{mr} + \frac{l_r + l_{r+1}}{l_r l_{r+1}} (\delta_r + c_{rt}) \right\}.$$

Значеніе буквъ d_r , d_{r+1} , c_r , c_{rt} , δ_{mr} понятно изъ фиг. 37; δ_r означаетъ вертикальное перемѣщеніе опорной точки r относительно точекъ $(r-1)$ и $(r+1)$, фиг. 36, которое происходитъ вслѣдствіе осадки опоръ; это перемѣщеніе, считаемое положительнымъ снизу вверхъ, можно принимать заданнымъ (такъ какъ его легко получить путемъ непосредственного наблюденія). На членъ $\Sigma P_m \delta_{mr}$ имѣютъ

влияніе только грузы, лежащіе между $(r-1)$ и $(r+1)$. Такимъ образомъ, если оба пролета l_r и l_{r+1} не нагружены, то $\Sigma P_m \delta_{mr} = 0$.

При построеніи линій прогибовъ $(r-1)' r' (r+1)'$ всегда можно пренебрѣчь перерѣзыывающими напряженіями. Тогда эта линія представить веревочный многоугольникъ для непрерывной нагрузки, имѣющей для взятаго x высоту

$z = \frac{y}{EJ}$, если черезъ y обозначить высоту треугольника моментовъ ACB въ разматриваемомъ сѣченіи. Полюсное разстояніе равняется 1. Если теперь взять полюсное разстояніе $= w_p$, придать треугольнику моментовъ ACB



Фиг. 37.

- * произвольную, но равную для всѣхъ опорныхъ точекъ высоту y_e и положить затѣмъ $z = y \frac{J_e}{J}$ вмѣсто $z = \frac{y}{EJ}$, где J_e означаетъ произвольный постоянный моментъ инерціи площади поперечнаго сѣченія, то значенія d , c и δ_{mr} придется еще умножить на $w_p: EJ_e y_e$ или—что приводить къ одному и тому же—раздѣлить на это выраженіе членъ $\delta_r + c_{rt}$. Тогда получимъ

$$(3) \quad N_r = - \left\{ \Sigma P_m \delta_{mr} + \frac{EJ_e (l_r + l_{r+1}) y_e}{w_p l_r l_{r+1}} (\delta_r + c_{rt}) \right\}.$$

Если площади участковъ w , на которые разбита грузовая плоскость, выражены въ кв. метр., то w_p должно быть выражено въ кв. метр., а EJ_e — въ т. м². *). Тогда $\frac{EJ_e}{w_p}$ получается въ тоннахъ.

*) За единицу силъ возьмемъ тонну. Тогда EJ_e выразится въ $\frac{\text{т}}{\text{м}^2} \cdot \text{м}^4 = \text{т. м}^2$.

Высоту y_e надо измѣрить по линейному масштабу чертежа фермы. Если всѣ участки имѣютъ одну и ту же ширину λ , то за грузы w надо принять среднія высоты участковъ, причемъ полюсное разстояніе надо выразить въ метрахъ. Тогда въ уравн. 3 вмѣсто $EJ_e : w_p$ войдетъ выраженіе $EJ_e : w_{pl}$.

При опредѣленіи c_{ri} надо разсмотрѣть линію прогибовъ $(r-1)''$ r'' $(r+1)''$, которая построена какъ цѣпная линія съ полюснымъ разстояніемъ l для непрерывной нагрузки

$$(4) \quad c_{ri} = \frac{\varepsilon (t_o - t_u)}{h},$$

гдѣ h означаетъ высоту балки. Всегда возможно ввести для h среднее постоянное значение.

Тогда рассматриваемая линія прогибовъ будетъ параболой и мы получимъ

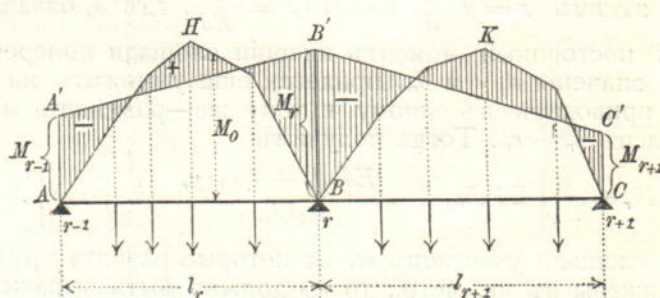
$$(5) \quad c_{ri} = \frac{\varepsilon (t_o - t_u) l_r l_{r+1}}{2h}.$$

Если перемѣщенія опорныхъ точекъ и измѣненія температуры не приняты во вниманіе, то $N_r = -\Sigma P_m \delta_{mr}$ и тогда слѣдуетъ обратить исключительно вниманіе на то, чтобы всѣ треугольники моментовъ получили одну и туже высоту y_e и чтобы всѣ цѣпные линіи были построены при одномъ и томъ же полюсномъ разстояніи w_p .

Дальнѣйшее изслѣдованіе задачи происходитъ по правиламъ № 131 и 132 (выпускъ IX).

11. Для частнаго случая балки съ одинаковымъ по всей длинѣ поперечнымъ сѣченіемъ *) можно указать еще другой способъ опредѣленія опорныхъ моментовъ, который основанъ на правилахъ, найденныхъ въ § 3 для балки съ двумя задѣланными концами. Вліяніемъ перерѣзывающихъ напряженій, какъ и раньше, можно пренебречь.

На фиг. 38 заштрихована площадь моментовъ для двухъ смежныхъ пролетовъ l_r , l_{r+1} ; опредѣляется она опорными моментами M_{r-1} , M_r , M_{r+1} , которые здѣсь взяты отрицательными и отложены выше оси $(r-1)$ r $(r+1)$, и простыми линіями моментовъ AHB , BKC . Моменты M_0 при грузахъ, направленныхъ книзу, будутъ положительны и поэтому они откладываются также кверху, такъ что площадь моментовъ не-разрѣзной балки получится какъ разность между простыми пло-щадями моментовъ и трапециями $AA'B'B$ и $BB'C'C$. Обозначимъ

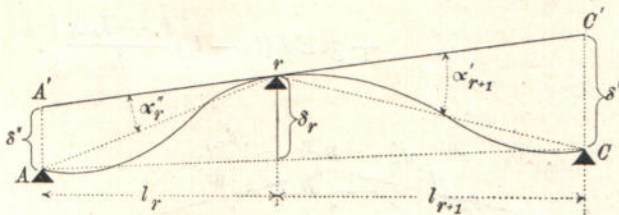


Фиг. 38.

*) Предположеніе объ одинаковомъ всюду поперечномъ сѣченіи вполнѣ допустимо почти во всѣхъ случаяхъ.

черезъ \mathfrak{V}_{or} статический моментъ простой площади моментовъ $AHVA$ относительно вертикали точки $(r-1)$, а черезъ $\mathfrak{R}_{o(r+1)}$ — статический моментъ площади $BKCB$ относительно вертикали точки $(r+1)$.

Для прямыхъ $A'B'$ и $B'C'$ введемъ обозначения g_r и g_{r+1} , а многоугольникъ изъ всѣхъ прямыхъ g , ординаты котораго на опорахъ равняются опорнымъ моментамъ, назовемъ краткости ради многоугольникомъ M .



Фиг. 39.

Если прямая $A'C'$ на фиг. 39 представляетъ касательную, проведенную въ точкѣ r къ упругой линіи, то при обозначеніяхъ на этой фигурѣ получимъ

$$\delta_r = \frac{\delta' l_r + \delta'' l_{r+1}}{l_r + l_{r+1}}, \text{ откуда}$$

$$\frac{\delta''}{l_r} + \frac{\delta'}{l_{r+1}} = \delta_r \frac{l_r + l_{r+1}}{l_r l_{r+1}} \text{ или}$$

$$\alpha_r'' + \alpha_{r+1}''' = \delta_r \frac{l_r + l_{r+1}}{l_r l_{r+1}}.$$

Теперь же согласно уравн. 10, стр. 29, найдемъ:

$$-EJ\alpha_r'' = -\frac{1}{2} Y_r'' l_r + \frac{\mathfrak{V}_{or}}{l_r} + (t_u - t_o) \frac{l_r}{2h} \varepsilon EJ$$

$$-EJ\alpha_{r+1}''' = -\frac{1}{2} Y_{r+1}'' l_{r+1} + \frac{\mathfrak{R}_{o(r+1)}}{l_{r+1}} + (t_u - t_o) \frac{l_{r+1}}{2h} \varepsilon EJ,$$

гдѣ Y_r'' и Y_{r+1}'' означаютъ ординаты многоугольника M , отсѣкаемыя пряммыми g_r , g_{r+1} на вертикаляхъ d''_r , d''_{r+1} , проведенныхъ черезъ ближайшія къ опорѣ r точки дѣленія пролетовъ на три равныя части, фиг. 40.

Такимъ образомъ находимъ:

$$(6) \quad Y_r'' l_r + Y_{r+1}'' l_{r+1} = -\frac{2\mathfrak{V}_{or}}{l_r} - \frac{2\mathfrak{R}_{o(r+1)}}{l_{r+1}} - \varepsilon EJ(t_u - t_o) \frac{l_r + l_{r+1}}{h} - \\ - 2EJ\delta_r \frac{l_r + l_{r+1}}{l_r l_{r+1}}$$

а такъ какъ

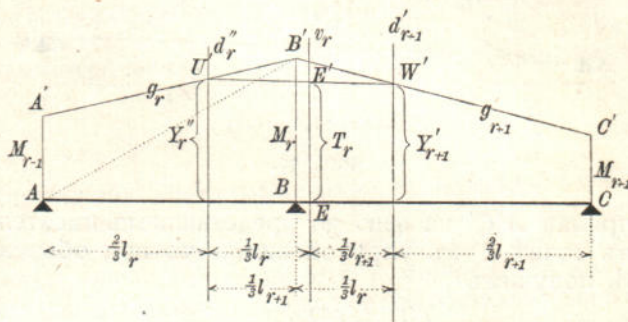
$$Y_r'' = \frac{1}{3} M_{r-1} + \frac{2}{3} M_r, \quad Y_{r+1}'' = \frac{2}{3} M_r + \frac{1}{3} M_{r+1},$$

то получимъ

$$(7) \quad M_{r-1}l_r + 2M_r(l_r + l_{r+1}) + M_{r+1}l_{r+1} = N_r,$$

гдѣ

$$(8) \quad N_r = - \left\{ 6 \left(\frac{\mathfrak{L}_{or}}{l_r} + \frac{\mathfrak{R}_{o(r+1)}}{l_{r+1}} \right) + 6EJ\delta_r \frac{l_r + l_{r+1}}{l_r l_{r+1}} \right. \\ \left. + 3\varepsilon EJ(t_u - t_o) \frac{l_r + l_{r+1}}{h} \right\}.$$



Фиг. 40.

Уравненіе (7) называется обобщеннымъ уравненіемъ Клапейрона, потому что Клапейронъ впервые выразилъ въ такой формѣ условіе упругости неразрѣзной балки. Членъ N_r можно назвать членомъ *нагрузки* въ уравненіи Клапейрона.

Для поясненія графическаго способа разсмотримъ сначала уравненіе 6. Прямая $U'W'$, соединяющая конечныя точки ординатъ Y'' , Y'_{r+1} (фиг. 40), на вертикальной прямой v_r , отстоящей отъ d''_r на разстояніи $\frac{1}{3}l_{r+1}$ и отъ d'_{r+1} на разстояніи $\frac{1}{3}l_r$, отсѣкаетъ отрѣзокъ

$$\overline{EE'} = \frac{Y''_r l_r + Y'_{r+1} l_{r+1}}{l_r + l_{r+1}};$$

вертикаль v_r называется *смежной опорной вертикалью*.

Обозначимъ этотъ отрѣзокъ буквой T_r , тогда, принимая во вниманіе уравн. 6, найдемъ:

$$(9) \quad T_r = - \frac{2}{l_r + l_{r+1}} \left(\frac{\mathfrak{L}_{or}}{l_r} + \frac{\mathfrak{R}_{o(r+1)}}{l_{r+1}} \right) - \frac{2EJ\delta_r}{l_r l_{r+1}} - \frac{\varepsilon EJ(t_u - t_o)}{h} \\ = \frac{N_r}{3(l_r + l_{r+1})}.$$

Поэтому T_r представляетъ *определенное* количество, зависящее отъ нагрузки, отъ перемѣщенія опоры δ_r и отъ разности температуръ $t_u - t_o$; это количество обыкновенно *отрицательно*, а потому его надо отложить по вертикали v_r выше оси $(r-1) r (r+1)$.

Подобное правило, выведенное въ № 132 (выпускъ IX, стр. 78), привело къ простому рѣшенію такой задачи:

Задана точка L'_r прямой g_r , требуется найти точку L'_{r+1} прямой g_{r+1} , фиг. 41.

Возьмемъ на оси ABC точку, лежащую на вертикали подъ

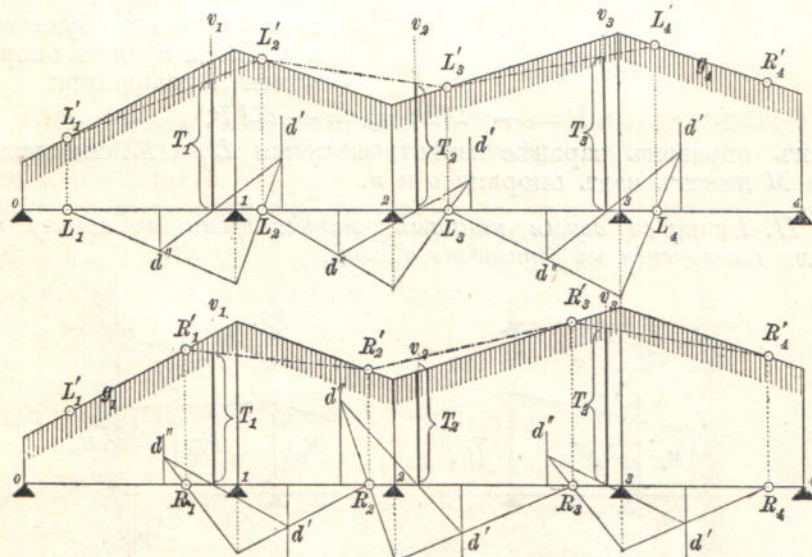
точкою L'_r , проведемъ че-
резъ L_r произвольную
прямую g'_r , которая пересъкаетъ вертикали d''_r и
 $B'B$ въ точкахъ U'' и B'' ,
затѣмъ черезъ U'' и E'
проводемъ прямую, встрѣ-
чающую прямую d'_{r+1} въ
точкѣ W'' и соединимъ
 W'' съ B'' . Точка L_{r+1} ,
въ которой пересъкается
прямая $W''B''$ съ осью
 ABC , будетъ лежать на
вертикали подъ точкой
 L'_{r+1} . Такъ какъ затѣмъ
три точки L'_r , E'_r и L'_{r+1}
должны лежать на одной
прямой, то положеніе

точки L'_{r+1} такимъ образомъ опредѣлено и задача значитъ раз-
рѣшена.

На основаніи сдѣланныхъ изслѣдований возможно построить
многоугольникъ M , если только будутъ заданы двѣ точки много-
угольника.

Такъ напр., если точки L'_1 и R'_4 принадлежатъ многоугольнику M для балки о — 4, фиг. 42, то на основаніи описанного спо-

Фиг. 42.



Фиг. 43.

соба, зная положение точки L_1 , находимъ точку L_2 , затѣмъ L_3 и L_4 и строимъ ломанную $L'_1 L'_2 L'_3 L'_4$, бока которой отсѣкаютъ на смежныхъ опорныхъ вертикаляхъ v_1, v_2, v_3 данные отрѣзки T_1, T_2, T_3 . Теперь проводимъ черезъ L'_4 и R'_4 прямую g_4 , а черезъ точки L'_3, L'_2, L'_1 , остьяныя стороны искомаго многоугольника M , заштрихованнаго на фігурѣ.

Для того чтобы сдѣлать точную чертежную провѣрку, надо повторить описанный способъ, но исходя уже не изъ точки L_1 , а изъ точки R_4 , заданной въ послѣднемъ пролетѣ; опредѣляемъ въ дальнѣйшихъ пролетахъ точки R_3, R_2, R_1 , подобно тому какъ это было сдѣлано для точекъ L_2, L_3, L_4 , затѣмъ черезъ конечныя точки ординатъ T_3, T_2, T_1 проводимъ ломанную $R'_4 R'_3 R'_2 R'_1$, вершины которой R'_4, R'_3, R'_2, R'_1 , лежать на соотвѣтствующихъ вертикаляхъ точекъ R , и наконецъ проводимъ черезъ L'_1 и R'_1 прямую g_1 .

Въ заключеніе замѣтимъ еще, что точки L и R соотвѣтствуютъ постѣйнымъ точкамъ, о которыхъ была рѣчь въ № 131 (выпускъ IX, стр. 74). Затѣмъ укажемъ кромѣ того на то обстоятельство, что уравненіе 7 принимаетъ такой видъ

$$\alpha_r M_{r-1} + \beta_r M_r + \alpha_{r+1} M_{r+1} = N_r$$

и что поэтому опредѣленіе опорныхъ моментовъ можно произвести также по способу, описанному въ № 132 (выпускъ IX, стр. 78) съ помощью вертикалей I, II, III вместо d_r, v_r, d'_{r+1} .

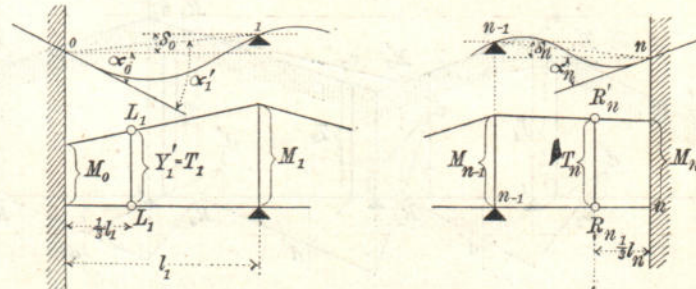
Опишемъ два частныхъ случая.

I. Балка лежитъ свободно на всѣхъ опорахъ. На фиг. 44 представленъ общій случай балки съ двумя свѣшившимися концами. $\Sigma' P$ и $\Sigma'' P$ выражаютъ равнодѣйствующія силы, дѣйствующія на свѣшивашіе концы; разстояніе этихъ силъ отъ опоръ o и n обозначимъ соотвѣтственно буквами e и c . Тогда крайніе опорные моменты равняются:

$$M_o = -e \Sigma' P; M_n = -c \Sigma'' P;$$

такимъ образомъ заранѣе извѣстныя точки L'_1 и R'_n многоугольника M лежать надъ опорами o и n .

II. Балка съ двумя концами, задѣланными въ стѣну подъ углами наклоненія къ горизонту α_o и α_n .



Фиг. 45.

Обозначимъ буквой δ_o вертикальное перемѣщеніе опорной точки o относительно опорной точки 1 , фиг. 45, тогда получимъ

$$\delta_o + l_1 \alpha_o = l_1 \alpha'_1 \quad \text{и}$$

$$EJ\alpha'_1 = \frac{1}{2} Y' l_1 + \frac{\Re_{o1}}{l_1} + (t_u - t_o) \frac{l_1}{2h} \varepsilon EJ,$$

и затѣмъ найдемъ:

$$(10) \quad \begin{cases} Y'_1 = T_1, \text{ гдѣ} \\ T_1 = -\frac{2\Re_{o1}}{l_1^2} - \varepsilon EJ \frac{t_u - t_o}{h} + \frac{2EJ(\delta_o + l_1 \alpha_o)}{l_1^2}. \end{cases}$$

Поэтому точка пересѣченія L'_1 многоугольника M съ лѣвой вертикалью, проведенной въ лѣвой трети первого пролета, будетъ заранѣе извѣстна; подобнымъ же путемъ можемъ опредѣлить въ n -омъ пролетѣ точку R'_n прямой g_n , если въ разстояніи $\frac{1}{3} l_n$ отъ точки n нанести ординату

$$R_n R'_n = T_n = -\frac{2\Re_{on}}{l_n^2} - \varepsilon EJ \frac{t_u - t_o}{h} + \frac{2EJ(\delta_n + l_n \alpha_n)}{l_n^2}.$$

Такимъ образомъ точки L'_1 и R'_n и моменты T опредѣляютъ вполнѣ многоугольникъ M .

Уравненіе 10 можно представить также въ такой формѣ:

$$(11) \quad \begin{cases} (2M_o + M_1)l_1 = N_1, \text{ гдѣ} \\ N_1 = -\frac{6\Re_{o1}}{l_1} - 3EJ \frac{t_u - t_o}{h} l_1 + \frac{6EJ(\delta_1 + l_1 \alpha_o)}{l_1}. \end{cases}$$

**12. Линії вліянія для балки съ постійнимъ по-
перечнимъ съченіемъ.** Предположимъ теперь, что постійные
точки L и R найдены по описанному ранѣе способу; разсмотримъ вліяніе нагрузки, лежащей на какомъ нибудь пролетѣ l_r ; пусть остальные пролеты остаются не нагруженными. Точка L раздѣляетъ пролетъ l_r на участки a_r и b_r , а точка R —на участки a'_r и b'_r , фиг. 46. Введемъ затѣмъ обозначенія

$$(12) \quad b_r : a_r = \alpha_r \quad \text{и} \quad b'_r : a'_r = \alpha'_r,$$

тогда оба уравненія Клапейрона

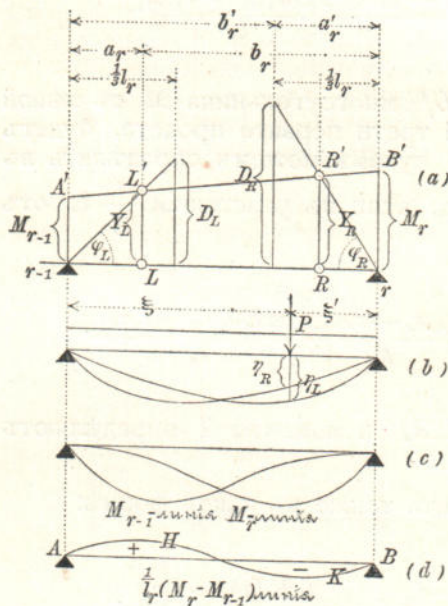
$$(13) \quad \begin{cases} l_{r-1}M_{r-2} + 2(l_{r-1} + l_r)M_{r-1} + l_rM_r = N_{r-1} \\ l_rM_{r-1} + 2(l_r + l_{r+1})M_r + l_{r+1}M_{r+1} = N_r \end{cases}$$

можно преобразовать въ слѣдующія:

$$(14) \quad \begin{aligned} z_r M_{r-1} + M_r &= \frac{N_{r-1}}{l_r} *) \\ M_{r-1} + z_r' M_r &= \frac{N_r}{l_r}. \end{aligned}$$

Обозначивъ теперь ординаты прямой $A'B'$ въ точкахъ L и R буквами Y_L и Y_R , найдемъ

$$(15) \quad Y_L = \frac{a_r}{l_r} (M_{r-1} z_r + M_r), \quad Y_R = \frac{a_r'}{l_r} (M_{r-1} + M_r z_r'),$$



Фиг. 46.

каютъ вертикали точекъ L и R въ точкахъ L' , R' прямой $A'B'$.

Такъ какъ нагрузка лежитъ только на пролетѣ l_r , то по уравн. 8, стр. 36, и по уравн. 15 и 16, стр. 31, имѣемъ:

$$N_{r-1} = -\frac{6\mathfrak{R}_{or}}{l_r}, \quad N_r = -\frac{6\mathfrak{Q}_{or}}{l_r}, \quad \text{а также}$$

$$(18) \quad \left\{ \begin{array}{l} D_L = \frac{2\mathfrak{R}_{or}}{l_r^2} = -\Sigma P \eta_R \\ D_R = \frac{2\mathfrak{Q}_{or}}{l_r^2} = -\Sigma P \eta_L; \end{array} \right.$$

а отсюда слѣдуетъ, что

*) См. выпускъ IX, стр. 76; написанныя тамъ значения a_r , β_r , $-\Sigma P_m b_{mr}$ надо замѣнить здѣсь соответственно черезъ l_r , $2(l_r + l_{r+1})$, N_r .

а потому окончательно получаемъ слѣдующія простыя выраженія для проведения прямой $A'B'$

$$(16) \quad \left\{ \begin{array}{l} Y_L = \frac{N_{r-1}}{l_r} \cdot \frac{a_r}{l_r}; \\ Y_R = \frac{N_r}{l_r} \cdot \frac{a_r'}{l_r}. \end{array} \right.$$

Отложивъ такимъ образомъ на вертикалѣахъ, проведенныхъ черезъ трети пролета, ординаты

$$(17) \quad \left\{ \begin{array}{l} D_L = \frac{1}{3} \frac{N_{r-1}}{l_r} \text{ и} \\ D_R = \frac{1}{3} \frac{N_r}{l_r} \end{array} \right.$$

и соединивъ конечныя точки ихъ съ съединими опорами $r-1$ и r прямыми линіями, фиг. 46, найдемъ, что эти прямые пересѣкуютъ

вертикали точекъ L и R въ точкахъ L' , R' прямой $A'B'$.

линия количества η_R будет линией влияния для момента D_L ,
 " " η_L " " " " " " D_R *).

Съ помощью этихъ двухъ линій, построение которыхъ указано на стр. 30, мы имѣемъ возможность вычертить линіи влияния для количествъ M_{r-1} и M_r .

Но слѣдующій приемъ ведеть къ цѣли гораздо быстрѣе. Углы наклоненія φ_L и φ_R прямыхъ $(r-1)L'$ и rR' заданы формулами

$$\operatorname{tg} \varphi_L = \frac{3D_L}{l}, \quad \operatorname{tg} \varphi_R = \frac{3D_R}{l_r},$$

поэтому мы получимъ слѣдующія значенія, указывающія на влияніе груза $P = 1$:

$$\operatorname{tg} \varphi_L = \frac{3}{l_r} \eta_R = \frac{\xi'}{l} - \frac{\xi'^3}{l^3} \quad (\text{см. стр. 30})$$

$$\operatorname{tg} \varphi_R = \frac{3}{l_r} \eta_L = \frac{\xi}{l} - \frac{\xi^3}{l^3};$$

эти значенія зависятъ только отъ отношеній $\xi' : l$ и $\xi : l$, а потому могутъ быть вычислены заранѣе разъ навсегда; съ этой цѣлью достаточно разбить пролетъ на 10 равныхъ частей. Тогда точкамъ дѣленія 1, 2, . . . 9 будутъ соотвѣтствовать слѣдующія значенія:

$\xi : l$	$\operatorname{tg} \varphi_R$	$\operatorname{tg} \varphi_L$
0,1	0,0990	0,1710
0,2	0,1920	0,2880
0,3	0,2730	0,3570
0,4	0,3360	0,3840
0,5	0,3750	0,3750
0,6	0,3840	0,3360
0,7	0,3570	0,2730
0,8	0,2880	0,1920
0,9	0,1710	0,0990

Съ помощью этихъ чиселъ можно построить углы φ_R и φ_L , а также ими можно воспользоваться для определенія линій влияния для всѣхъ опорныхъ моментовъ **). Для каждого опорнаго момента достаточно построить тѣ двѣ вѣтви линіи влияния, которыя принадлежать обоямъ пролетамъ, смежнымъ съ рассматриваемой опорой. Такъ напр. линію влияния для количества M_r необходимо построить только отъ опоры $r-1$ до $r+1$.

Теперь всѣ линіи влияния для M и Q можно построить по спо-

*) Если бы l_r былъ бы пролетомъ для балки, горизонтально задѣланной обоями концами, то, по стр. 29, прямую $A'B'$ слѣдовало бы проводить черезъ конечныя точки ординатъ D_L , D_R (вмѣсто ординатъ Y_L , Y_R).

**) Или можно определить L' на фиг. 48 съ помощью значенія $\eta'_L = k \operatorname{tg} \varphi_L$, гдѣ k цѣлое число. Третій способъ будетъ описанъ въ № 25.

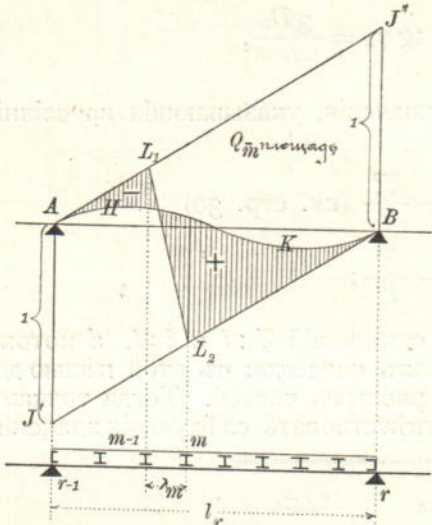
собу, который былъ описанъ раньше въ выпускѣ IX. По этому способу требуется предварительное построение линій вліянія для выраженія $\frac{1}{l_r} (M_r - M_{r-1})$ — т. е. кривой $AHKB$ на фиг. 46 д и 47.

а. Площадь вліянія для перерѣзывающей силы въ панели λ_m , фиг. 47.

Мы имѣемъ выраженіе

$$(19) \quad Q_m = Q_{om} + \frac{M_r - M_{r-1}}{l_r},$$

гдѣ Q_{om} означаетъ перерѣзывающую силу для того случая, когда AB представляетъ простую балку. Линія вліянія для Q_{om} состоить изъ трехъ прямыхъ AL_1 , L_1L_2 , L_2B и опредѣляется отрѣзками $\overline{AJ'} = 1$ и $\overline{BJ''} = 1$; если къ площади вліянія для Q_{om} прибавить площадь вліянія для количества $(M_r - M_{r-1}) : l_r$, то запитрихованная на фигураѣ площадь представить площадь вліянія для Q_m .



Фиг. 47.

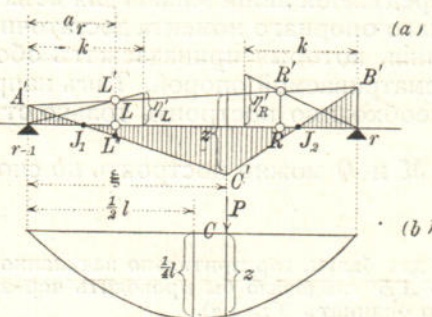
б. Площадь вліянія для момента M_m . Для того чтобы получить площадь вліянія для M_m

$$(20) \quad M_m = M_{om} + M_r + \frac{M_r - M_{r-1}}{l_r} x_m,$$

съ помощью которого искомая площадь составляется изъ площадей вліянія для момента M_{om} для простой балки, для момента M_r и для количества $(M_r - M_{r-1}) : l_r$; или же можно построить для разныхъ положеній груза $P = 1$ площадь моментовъ $rB'C'A'r - 1$ (фиг. 48), по

которой опредѣляется вліяніе силы P для всѣхъ сѣченій пролета l_r . Эта площадь строится съ помощью значений $\operatorname{tg} \varphi_L$, $\operatorname{tg} \varphi_R$ и съ помощью высоты z простой пло- щади моментовъ $A'C'B'$. При этомъ z получается какъ ордината параболы, стрѣлка которой $= 0,25 l_r$.

Когда всѣ панели имѣютъ одну и ту же длину λ , то слѣдуетъ воспользоваться уравненіемъ:



Фиг. 48.

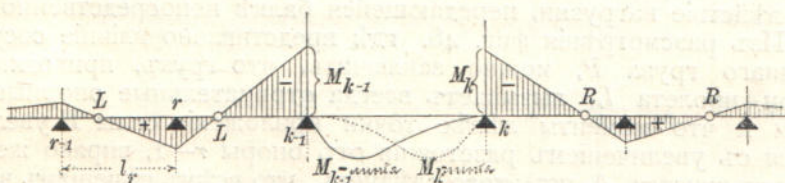
$$(21) \quad \frac{M_m}{\lambda} = \frac{M_{m-1}}{\lambda} + Q_m,$$

тогда площади вліянія для $M : \lambda$ строятся съ помощью площадей вліянія для Q послѣдовательно, начиная съ площади вліянія для $M_r : \lambda$.

c. Вліяніе грузовъ, расположенныхъ вънутрь рассматриваемаго пролета. Когда требуется определить вліяніе нагрузки, лежащей на пролѣтѣ l_r , на моменты и перерѣзывающія силы для остальныхъ пролетовъ, то для этого необходимо найти съ помощью линій вліянія опорные моменты M_{k-1} и M_k и построить затѣмъ съ помощью постоянныхъ точекъ L и соотвѣтственно R линіи моментовъ для не нагруженныхъ пролетовъ. См. фиг. 49, а также изслѣдованіе на стр. 75, выпускъ IX. Для перерѣзывающихъ силъ въ не нагруженномъ пролѣтѣ l_r примѣняется формула

$$(22) \quad Q = \frac{1}{l_r} (M_r - M_{r-1}).$$

Поэтому количество Q одно и тоже для всѣхъ сѣченій пролета l_r .

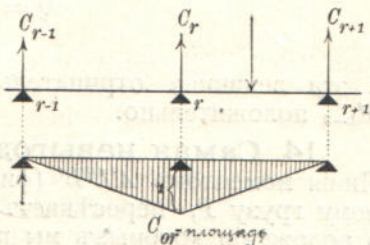


Фиг. 49.

d. Сопротивленія опоръ. Реакція C_r опоры r выражается (по стр. 68, выпускъ IX) такой формулой:

$$(23) \quad C_r = C_{or} + \frac{M_{r-1} - M_r}{l_r} + \frac{M_{r+1} - M_r}{l_{r+1}},$$

гдѣ C_{or} представляетъ то значеніе реакціи C_r , когда часті фермы l_r и l_{r+1} были бы простыми балками. Площадь вліянія для C_{or} выражается треугольникомъ съ высотой $= 1$; такимъ образомъ линія вліянія для C_r опредѣляется площадью треугольника совмѣстно съ площадями вліянія для количествъ $(M_r - M_{r-1}) : l_r$ и $(M_{r+1} - M_r) : l_{r+1}$, которыми мы пользовались раньше. Эту линію надо построить только между опорами $(r-1)$ и $(r+1)$. Вліяніе грузовъ, лежащихъ лѣвѣ $(r-1)$ и правѣ $(r+1)$, изслѣдуется съ помощью уравненія



Фиг. 50.

$$C_r = \frac{M_{r-1} - M_r}{l_r} + \frac{M_{r+1} - M_r}{l_{r+1}},$$

причёмъ количества M_{r-1} , M_r , M_{r+1} , опредѣляются по способу, описанному раньше подъ пунктомъ с.

§ 5.

Продолженіе. Вліяніе равномѣрно распределенной нагрузки.

13. Самая невыгодная нагрузка для перерѣзы-вающихъ силъ. При равномѣрно распределенной постоянной и временной нагрузкахъ определение перерѣзывающихъ силъ, моментовъ и сопротивленій опоръ значительно упрощается. Возьмемъ балку съ постояннымъ поперечнымъ сѣченіемъ и разсмотримъ сначала дѣйствіе нагрузки, передающейся балкѣ непосредственно.

Изъ разсмотрѣнія фиг. 48, где представлено вліяніе сосредоточенного груза P , можно заключить, что грузъ, приходящійся внутри пролета l_r , вызываетъ всегда отрицательные опорные моменты и что моменты лѣвѣе точки приложения силы P увеличиваются съ увеличеніемъ разстоянія отъ опоры $r-1$, вправо же отъ P уменьшаются. А изъ этого слѣдуетъ, что всѣмъ сѣченіямъ лѣво отъ P соответствуетъ положительная перерѣзывающая сила Q , для всѣхъ сѣченій вправо отъ P —отрицательная Q .

Смотря по тому, что требуется получить для сѣченія C , фиг. 51 и 52, наибольшую перерѣзывающую силу, т. е. $\max Q$ или наибольшую отрицательную перерѣзывающую силу, т. е. $\min Q$, мы должны нагрузить участокъ x' или участокъ x . Нагрузка въ остальныхъ пролетахъ располагается, какъ показано на фиг. 51 и 52. Доказательство явствуетъ изъ разсмотрѣнія фиг. 49, где показано, что нагрузка пролета l_r вызываетъ въ пролетахъ l_{k-1}, l_{k-2}, \dots и затѣмъ l_{k+2}, l_{k+4}, \dots отрицательная перерѣзывающая силы, а въ остальныхъ пролетахъ положительныя. Напр., для всѣхъ сѣченій пролета l_{k-1} получимъ

$$Q = \frac{M_{k-1} - M_{k-2}}{l_{k-1}},$$

а эта величина отрицательна, потому что M_{k-1} отрицательно и M_{k-2} положительно.

14. Самая невыгодная нагрузка для моментовъ. Линія моментовъ $A'C'B'$ (фиг. 48), соответствующая сосредоточенному грузу P , пересекаетъ ось $(r-1)r$ въ двухъ точкахъ J_1 и J_2 , о положеніи которыхъ мы получимъ сужденіе путемъ изслѣдованія моментовъ для сѣченія L и R . Въ сѣченіи L (при $P=1$) вызывается моментъ

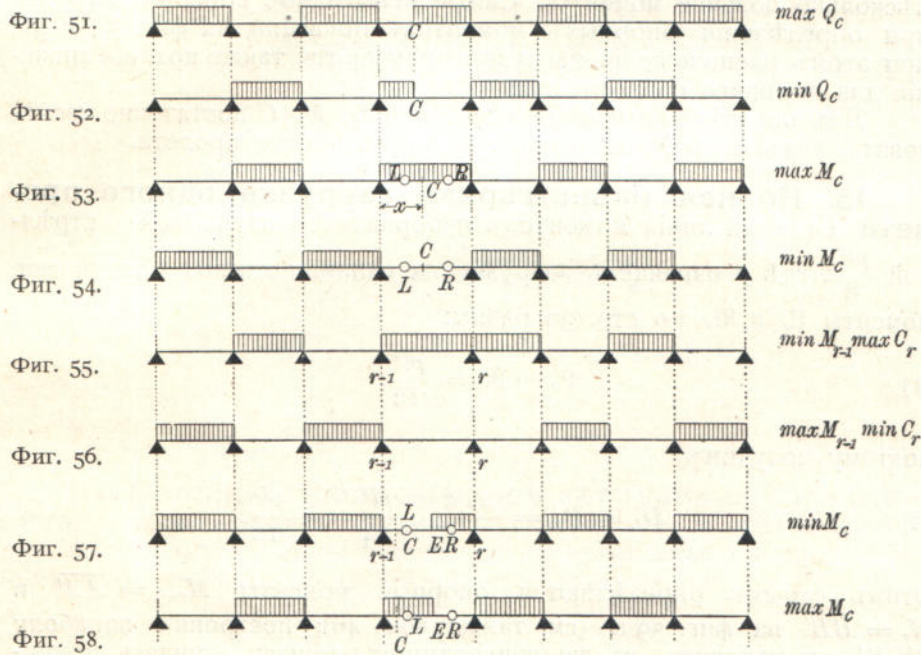
$$M_L = \overline{LL''} = \overline{L'L''} - \overline{L'L} = z \frac{a_r}{\xi} - \eta_{L'} \frac{a_r}{K},$$

причемъ $\eta_{L'} = h \operatorname{tg} \varphi_L$, т. е.

$$\eta_{L'} = \left(\frac{\xi'}{l} - \frac{\xi'^3}{l^3} \right) = \frac{k\xi' (l - \xi') (l + \xi')}{l^3} = \frac{kz (l + \xi')}{l^2}$$

и

$$M_L = \frac{za_r}{\xi l} \left[l - \frac{\xi (l + \xi')}{l^2} \right]$$



Такъ какъ

$$\left[\frac{\xi (l + \xi')}{l} \right]_{\max} = l,$$

то моментъ M_L , вызываемый грузомъ P , будетъ всегда положительнымъ, т. е. нулевая точка J_1 должна во всякомъ случаѣ лежать львье постоянной точки L ; точно также можно доказатьъ, что нулевая точка J_2 должна лежать на участкѣ Rr .

Для съченій между постоянными точками L и R получаются всегда при нагрузкѣ разсматриваемаго пролета моменты *положительные*, а на основании этого важнаго правила и съ помощью фигуры 49 имѣемъ возможность вычертить безъ дальнѣйшихъ объясненій различные способы нагрузки, показанные на фиг. 53 и 54.

Чтобы получить $\max M$ и $\min M$ для съченія C , лежащаго въ участка LR (напр. для съченія влѣво отъ L), требуется неполная нагрузка въ данномъ пролетѣ, фиг. 57 и 58. Здѣсь каждому съченію C соотвѣтствуетъ опредѣленный раздѣль нагружки E , напр. съченію J_1 на фиг. 48 соотвѣтствуетъ раздѣль нагружки C ; отысканіе этихъ раздѣловъ становится впрочемъ всегда излишнимъ, потому что линія количествъ $\max M$ и $\min M$ для съченій въ участка LR можно построить также безъ опредѣленія раздѣловъ нагружки, какъ это будетъ показано въ № 17. Можно даже совсѣмъ не производить точнаго вычисления моментовъ для съченій между постоянными точками и сосѣдними опорными точками; достаточно принять, что линія моментовъ (какъ для $\min M$, такъ и для $\max M$) между постоянной точкой и сосѣдней опорой—прямая: см. численный примеръ въ № 18. Этотъ очень простой способъ расчета даетъ намъ нѣсколько большия моменты. Самые невыгодные способы загрузки при опредѣленіи опорныхъ моментовъ показаны на фиг. 55 и 56; при этомъ расположении нагружки получаются также крайнія значенія для опорного сопротивленія C_r .

Для опредѣленія крайнихъ значеній Q , M , C достаточно изслѣдоввать, какъ и въ № 12, вліяніе нагрузки одного пролета.

15. Полная равномѣрная загрузка одного пролета. Простая линія моментовъ изображается параболой со стрѣлкой $\frac{pl^2}{8}$, где p означаетъ нагрузку на единицу длины. Статические моменты Ω_o и \mathfrak{R}_o по стр. 30 равны:

$$(1) \quad \Omega_o = \mathfrak{R}_o = \frac{pl^4}{12},$$

поэтому получимъ

$$(2) \quad D_L = D_R = -\frac{2}{l^2} \cdot \frac{pl^4}{24} = -\frac{pl^2}{12}.$$

Этимъ самымъ опредѣляются опорные моменты $M_{r-1} = \overline{AA'}$ и $M_r = \overline{BB'}$ на фиг. 59 а (см. также фиг. 46); построивъ параболу $A'CB'$ мы получимъ въ заштрихованной площади площадь моментовъ для пролета AB . Для построенія этой параболы проводимъ $CD \parallel A'B'$ и дѣлимъ какъ CD такъ и $B'D$ на одинаковое число равныхъ частей. Точки пересѣченія вертикалей, проходящихъ черезъ точки дѣленія 1, 2, суть пряммыми, соединяющими C съ точками дѣленія 1', 2', принадлежащими параболѣ. Точно также получается и другая вѣтвь параболы $A'C$. Моменты, найденные подобнымъ путемъ, можно обозначить буквой M_p .

Для перерѣзывающихъ силъ имѣеть мѣсто уравненіе

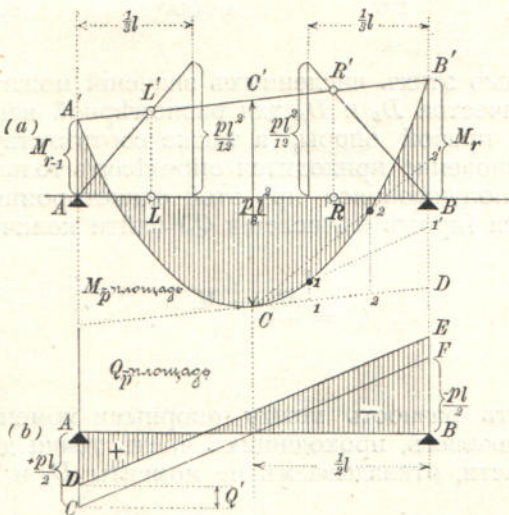
$$(3) \quad Q_p = Q_o + \frac{M_r - M_{r-1}}{l}.$$

Перерѣзывающая сила Q_p , соотвѣтствующая отдѣльной балкѣ AB , какъ извѣстно, равна ординатамъ прямой CF (фиг. 59 б), которая отсекаетъ на опорныхъ вертикаляхъ отрѣзки $\pm \frac{pl}{2}$; для опре-

дѣленія же величинъ Q надо перемѣстить эту прямую по вертикальному направлению на величину

$$Q' = \frac{M_r - M_{r-1}}{l}.$$

На фиг. 59 а предположено, что $M_r > M_{r-1}$, поэтому Q' отрицательно.



Фиг. 59.

16. Неполная равномѣрная загрузка одного пролета. Пусть нагрузка занимаетъ участокъ ξ' у правой опоры, фиг. 60. Такъ какъ линія количествъ η_R представляетъ линію вліянія для D_L , то тогда по уравн. 18, стр. 40, получимъ:

$$(4) \quad -D_L = p \int_0^{\xi'} \eta_R dx = \frac{pl}{3} \int_0^{\xi'} \left(\frac{x}{l} - \frac{x^3}{l^3} \right) dx = \frac{pl^2}{12} \cdot \omega_L, \text{ где}$$

$$(5) \quad \omega_L = \frac{\xi'^2}{l^2} \left(2 - \frac{\xi'^2}{l^2} \right),$$

т. е. величина эта не зависитъ отъ пролета, а зависитъ только отъ отношенія $\xi':l$. Для $\xi':l$ имѣемъ $\omega_L = 1$, а отсюда слѣдуетъ, что количество ω_L , соотвѣтствующее нагрузкѣ участка ξ' , сложенное съ количествомъ ω_L , соотвѣтствующимъ нагрузкѣ участка $\xi = l - \xi'$, равняется 1. Относительно опредѣленія количества $D_R = -\frac{pl^2}{12} \omega_R$ надо замѣтить, что количество ω_R для нагрузки, принятой на фиг. 60 б, равняется количеству ω_L для нагрузки, занимающей тоже проѣженіе ξ' , но начиная съ лѣвой опоры; а потому построивъ линію количествъ ω_L , мы можемъ легко получить значения ω_R по способу, указанному на фиг. 60 б. Такимъ образомъ найдемъ:

для $\xi' : l = 0,1$,	$\omega_L = 0,0199$,	$\omega_R = 0,0361$
0,2	0,0784	0,1296
0,3	0,1719	0,2601
0,4	0,2944	0,4096
0,5	0,4375	0,5625
0,6	0,5904	0,7056
0,7	0,7399	0,8281
0,8	0,8704	0,9216
0,9	0,9639	0,9801
1,0	1,0000	1,0000

Съ помошью этихъ численныхъ значеній можно весьма быстро вычислить количества D_L и D_R для равномѣрной нагрузки, простирающейся отъ правой опоры, а также соотвѣтствующіе опорные моменты. Обыкновенно приходится опредѣлять только *перерѣзывающія силы* Q , получающіяся при этой односторонней нагрузкѣ, а также требуется (кромѣ вычисленія Q) найти количество

$$Q' = \frac{M_r - M_{r-1}}{l},$$

т. е. опредѣлить разность между опорными моментами. Съ этой цѣлью на вертикаляхъ, проходящихъ чрезъ точки дѣленія пролета на 3 равныя части, откладываемъ не моменты D_L и D_R , а отрѣзки

$$(6) \quad h_L = D_L : \frac{pl^2}{12e} \text{ и соотвѣтственно } h_R = D_R : \frac{pl^2}{12e}, \text{ а именно}$$

$$h_L = e\omega_L \quad \text{и соотвѣтственно } h_R = e\omega_R,$$

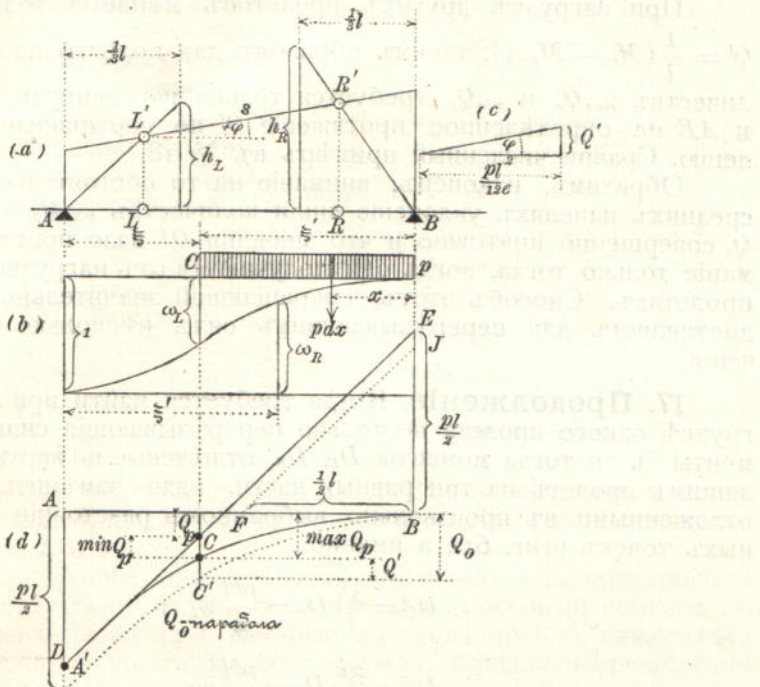
гдѣ e означаетъ протяженіе произвольное, но выраженное, разумѣется, круглымъ числомъ. Количества h_L и h_R не зависятъ отъ длины l рассматриваемаго пролета; они должны быть вычислены разъ навсегда и тогда могутъ быть примѣнены къ изслѣдованію всѣхъ пролетовъ.

Теперь доводимъ до перестановки въ точкахъ L' , R' вертикали постоянныхъ точекъ съ тѣми прямыми, которыя соединяютъ концы отрѣзковъ h_L и h_R съ сосѣдними опорами; черезъ L' , R' проводимъ прямую s ; такъ какъ эта прямая s отсекаетъ на опорныхъ вертикаляхъ величины опорныхъ моментовъ, дѣленныхъ на $\frac{pl^2}{12e}$, то для угла наклоненія прямой s найдемъ выраженіе

$$\operatorname{tg} \varphi = \frac{12e}{pl^2} \cdot \frac{M_r - M_{r-1}}{l},$$

откуда получаемъ (фиг. 60 с)

$$Q' = -\frac{pl^2}{12e} \operatorname{tg} \varphi \quad *)$$



Фиг. 60.

Теперь для съченія C у конца нагруженного участка находимъ

$$\max Q_p = Q_o + Q'$$

(при этомъ сначала не слѣдуетъ обращать вниманіе на нагрузку остальныхъ панелей); здѣсь $Q_o = \frac{p\xi'^2}{2l}$ означаетъ перерѣзывающую силу для съченія C отдельной балки AB , т. е. ординату той параболы BA' (фиг. 60 д), вершина которой лежить у B , и которая отсѣкаетъ на вертикали точки A отрѣзокъ $\overline{AA'} = \frac{pl}{2}$.

Такъ какъ $\min Q_p$ вызывается при нагрузкѣ только участка ξ и такъ какъ

$$\min Q_p + \max Q_p = Q_p,$$

т. е. равно перерѣзывающей силѣ при полной загрузкѣ пролета AB ,

*) Знакъ минусъ здѣсь необходимъ, потому что опорные моменты отрицательны и потому что $M_r > M_{r-1}$, если только φ положительно.

то мы найдемъ, что $\min Q_p$ равняется вертикальному разстоянію линії количествъ $\max Q_p$ отъ прямой DE ; эта прямая получается, проводя изъ F —середины пролета AB прямую FJ , отсѣкающую ординату $\overline{BJ} = \frac{1}{2} pl$, и затѣмъ прочертивъ $DE \parallel FJ$.

При загрузкѣ другихъ пролетовъ мѣняется только значеніе $Q' = \frac{1}{l}(M_r - M_{r-1})$; такимъ образомъ для полного изображенія количествъ $\max Q_p$ и $\min Q_p$ требуется только передвинуть прямые DE и AB на опредѣленное протяженіе Q' по вертикальному направлению. Сравни численный примѣръ въ № 18.

Обратимъ, наконецъ, вниманіе на то обстоятельство, что въ среднихъ панеляхъ уклоненіе линії количествъ $\max Q_p$ отъ параболы Q_o совершенно ничтожно и что значенія Q' надо принимать во вниманіе только тогда, когда они получаются отъ нагрузки въ другихъ пролетахъ. Способъ этотъ, сокращающій значительно вычислениія, доставляетъ для перерѣзывающихъ силъ нѣсколько большія значенія.

17. Продолженіе. Когда требуется найти при неполной нагрузкѣ одного пролета не только перерѣзывающія силы, но и моменты *), то тогда моменты D_L , D_R , отложенные по вертикалямъ, дѣлящимъ пролетъ на три равныя части, надо замѣнить моментами, отложенными въ произвольно выбранномъ разстояніи k отъ опорныхъ точекъ (фиг. 61), а именно:

$$D_L' = \frac{3k}{l} D_L = \frac{pkl}{4} \omega_L \text{ и}$$

$$D_R' = \frac{3k}{l} D_R = \frac{pkl}{4} \omega_R,$$

причемъ для k надо выбратьъ такое значеніе, чтобы значеніе для $\frac{pkl}{4}$ получилось въ круглыхъ числахъ и одинаковое для всіхъ пролетовъ, дабы избѣгнуть повторенія вычислениія количествъ D_L' , D_R' для каждого отдельного пролета.

Прямая $L'R'$ отсѣкаеть на опорныхъ вертикаляхъ опорные моменты M_r , M_{r-1} ; обозначая черезъ φ уголъ наклоненія прямой $L'R'$, найдемъ, что

$$Q' = -1 \cdot \operatorname{tg} \varphi,$$

а теперь уже легко опредѣлить предѣльныя значенія $\max Q_p$, $\min Q_p$ такимъ же точно способомъ, какъ это было сдѣлано раньше.

Нагрузка участка ξ' вызываетъ въ опредѣленномъ сѣченіи J , лежащемъ влѣво отъ постоянной точки L , моментъ $\min M_p$;—мы при этомъ опять не обращаемъ вниманія на нагрузку на другихъ пролетахъ. Линія моментовъ для части балки ξ , содержащей сѣченіе J , представляется прямой $A'E$, опредѣляемой опорнымъ моментомъ и тѣмъ условіемъ, что прямые $A'B'$ и $A'E$ должны отсѣчь на верти-

*) Т. е. когда нельзя ограничиться приблизительнымъ расчетомъ, рекомендуемымъ нами для определенія моментовъ. (См. стр. 46).

кали, проведенной на произвольномъ разстояніи k' отъ A' , величину момента $Q_0 k'$. Количествою Q_0 мы уже пользовались для определенія $\max Q_p$, для величины же k' надо взять цѣлое число; такимъ образомъ прямую $A'E$ можно легко построить. Когда временная нагрузка перемѣстится дальше на длину $d\xi$, то моментъ JJ' въ съченіи J останется безъ перемѣны, такъ какъ точка C служитъ раздѣломъ нагрузки для съченія J . Линія моментовъ $A'E$ въ первое мгновеніе дальнѣйшаго передвиженія нагрузки вращается около точки J' , а отсюда слѣдуетъ, что прямая $A'E$, соотвѣтствующія различнымъ ξ' , обертиваются линію моментовъ $\min M_p$. Когда эта линія построена, то $\max M_p$ отъ нагрузки на участкѣ ξ найдется при помощи уравненія

$$\max M_p + \min M_p = M_p.$$

Величина же M_p опредѣляется по № 15. Вліяніе нагрузки на остальныхъ пролетахъ опредѣляется тогда по фиг. 49 съ помощью постоянныхъ точекъ L и R .

Хотя построеніе точныхъ линій моментовъ и не представляетъ никакихъ затрудненій, тѣмъ не менѣе приближенный способъ, который описанъ въ № 14 и который мы примѣнимъ въ нижеслѣдующемъ численномъ примѣрѣ, заслуживаетъ большаго предпочтенія. Надо замѣтить, что допущеніе равномѣрно распределенной нагрузки основывается всегда на довольно грубыхъ приближеніяхъ, и что слишкомъ точный расчетъ не былъ бы здѣсь уместенъ.

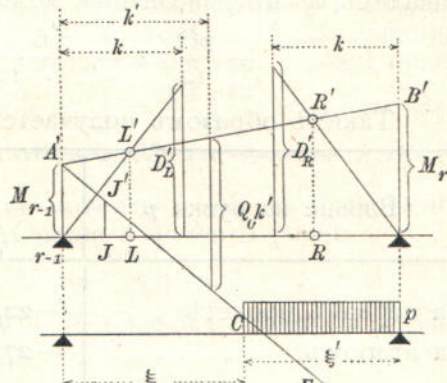
18. Численный примѣръ. На листѣ чертежей 2 изслѣдована по описанному раньше способу балка въ 4 пролета. Боковые пролеты $l_1=10$ м., средніе $l=12$ м. Постоянная нагрузка $g=0,9$ т. на пог. метръ, временная $p=3,6$ т.

Проводимъ сначала (фиг. 62) черезъ точки дѣленія пролетовъ на три равныя части вертикали d и вертикали v , смежная съ опорами, и опредѣляемъ (по стр. 37) постоянныя точки L_1, L_2, L_3, L_4 . Точки R также даны, такъ какъ пролеты симметричны.

Опредѣлимъ теперь на фиг. 62 опорные моменты для того случая, когда весь первый пролетъ несетъ нагрузку p , а остальные пролеты не нагружены. Ломанная съ красной штриховкой представляетъ соотвѣтствующій этой нагрузкѣ многоугольникъ количествъ M ; онъ проходитъ черезъ постоянныя точки L_1, R_2, R_3, R_4 и опредѣляется тѣмъ условиемъ, что прямая, проходящая черезъ точку опоры i и черезъ точку R'_1 , должна отсѣкать на вертикали d_1 величину момента

$$-\frac{pl_1^2}{12} = -\frac{3,6 \cdot 10^2}{12} = -30,00 \text{ тм.}$$

Результаты этого нанесены на фиг. 62.



Фиг. 61.

Ломанная линія, заштрихованная синимъ, доставляетъ опорные моменты для того случая, когда загруженъ сплошь только второй пролетъ; эта линія проходитъ черезъ постоянныя точки L_1 , R_3 , R_4 и опредѣляется тѣмъ условиемъ, что прямая, проведенная изъ опоръ 1 и 2 въ точки L'_1 и соотвѣтственно R'_2 , должны отсѣкать на вертикаляхъ d'_1 и d'_2 величины моментовъ

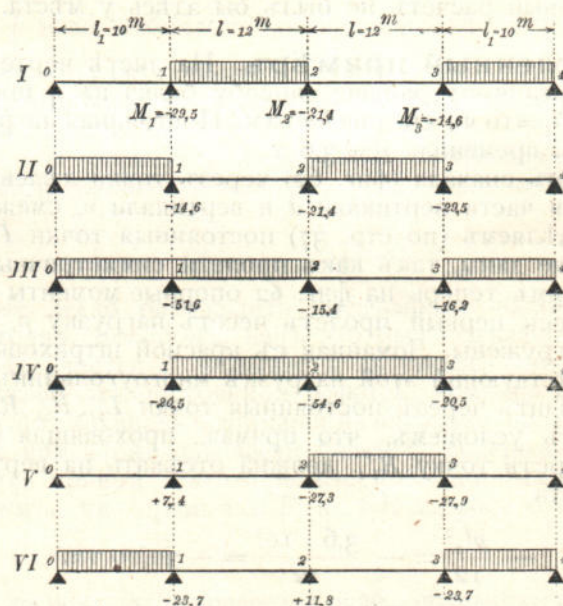
$$-\frac{pl^2}{12} = -\frac{3,6 \cdot 12^2}{12} = -43,20 \text{ тм.}$$

Такимъ образомъ получается слѣдующая таблица:

Вліяніе нагрузки p	Опорные моменты		
	M_1	M_2	M_3
на первомъ пролетѣ . . .	-22,06 тм.	+ 5,92 тм.	- 1,61 тм.
на второмъ	-27,90 "	- 27,28 "	+ 7,44 "
на третьемъ	+ 7,44 "	- 27,28 "	- 27,90 "
на четвертомъ	- 1,61 "	+ 5,92 "	- 22,06 "
Всего	-44,13 "	- 42,72 "	- 44,13 тм.

Съ помощью этихъ значеній построены на фиг. 63 наибольшия отрицательные и положительные моменты ($\min M_p$, $\max M_p$). Это сдѣлано сначала для случаевъ нагрузки, обозначенныхъ на фиг. 68 цифрами I, II, III, IV.

Случай нагрузки I вызываетъ въ участкѣ балки $L_1 R$ моменты



Фиг. 68.

$\min M_p$ и въ участкѣ L_2R_2 моменты $\max M_p$. Опорные моменты равняются:

$$M_1 = -27,90 - 1,61 = -29,5 \text{ тм.}$$

$$M_2 = -27,28 + 5,92 = -21,4 \text{ тм.};$$

этими моментами опредѣляется на фиг. 63 ломанная линія I. Красная прямая I представляетъ линію моментовъ $\min M_p$ для участка L_1R_1 ; оть синей линіи I отложены (согласно фиг. 59, стр. 47) ординаты параболы (I'), стрѣлка которой $= \frac{pl^2}{8} = \frac{3,6 \cdot 12^2}{8} = 64,8$ тм. Эта парабола представить линію моментовъ $\max M_p$ для участка L_2R_2 .

Случай нагрузки II вызываетъ моменты $\max M_p$ на протяженіи L_1R_1 и $\min M_p$ на протяженіи L_2R_2 . Опорные моменты равны

$$M_1 = -14,6 \text{ тм.}, \quad M_2 = -21,4 \text{ тм.};$$

эти моменты опредѣляютъ прямые II, II'. Стрѣлка параболы II' равняется $\frac{pl^2}{8} = \frac{3,6 \cdot 10^2}{8} = 45,0$ тм.

Случай нагрузки III вызываетъ наибольшій отрицательный опорный моментъ:

$$\min M_1 = -22,06 - 27,90 - 1,61 = -51,6 \text{ тм.};$$

такимъ образомъ опредѣлена также (приближенная) линія моментовъ $\min M_p$ для участка R_1L_2 ; эта линія состоитъ изъ прямыхъ III.

Случай нагрузки IV соотвѣтствуетъ наибольшій отрицательный опорный моментъ

$$\min M_2 = -2 \cdot 27,28 = -54,6 \text{ тм.};$$

этой величиной воспользуемся для проведения прямой IV, которая представить линію моментовъ $\min M_p$ для участка R_22 .

Случай нагрузки V и VI вызываютъ наконецъ

$$\max M_1 = +7,4 \text{ тм.}$$

$$\text{и соотвѣтственно } \max M_2 = +2 \cdot 5,92 = +11,8 \text{ тм.};$$

эти значения послужатъ для построенія приближенныхъ линій моментовъ $\max M_p$, а именно V и VI' для участковъ R_1L_2 и соотвѣтственно R_22 .

Моменты, зависящіе отъ постоянной нагрузки $g = 0,9 = \frac{1}{4} p$, построены отдельно (фиг. 64); они опредѣляются опорными моментами

$$M_2 = -\frac{g}{p} 42,72 = -10,7 \text{ тм.}, \quad M_3 = -\frac{g}{p} 44,13 = -11,0 \text{ тм.}$$

и стрѣлкою параболы

$$\frac{gl^2}{8} = 16,20 \text{ тм.}, \quad \frac{gl_1^2}{8} = 11,25 \text{ тм.}$$

Перерѣзывающія силы $\max Q_p$ и $\min Q_p$ въ боковомъ пролетѣ опредѣляются по способу, указанному въ № 16. Обозначенный тамъ буквой e отрѣзокъ взять въ 10 м., поэтому высоты $h_e = e \omega_e$, соотвѣтствующія точкамъ дѣленія 0, 1, 2, 3, 4 (на фиг. 66 b), получаются равными:

$$10,00 \text{ м.}, 9,22 \text{ м.}, 7,06 \text{ м.}, 4,10 \text{ м.}, 1,30 \text{ м.} ^{*};$$

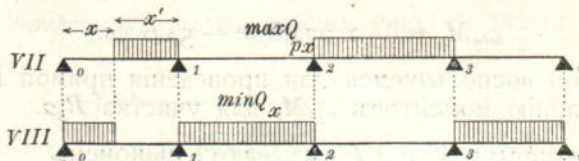
эти значенія отложены по вертикали d_1 , проходящей черезъ точку дѣленія пролета на 3 равныя части; такъ какъ L_1 совпадаетъ съ 0, то эти значенія могутъ служить для опреѣленія лучей oo' , $o'g'$, $o'z'$, $o'q'$. Лучи же эти отсѣкаютъ на вертикали, проведенной отъ точки опоры о въ разстояніи

$$\frac{pl_1^2}{12e} = \frac{3,6 \cdot 10^2}{12 \cdot 10} = 3,0 \text{ т.},$$

величины силъ Q' , которая надо вычесть изъ ординатъ параболы количествъ Q_o .

Полученная такимъ образомъ на фиг. 66 линія количествъ ($Q_o - Q'$) (съ черной штриховкой) переносится на фиг. 67 а; эта линія, отнесенная къ прямой VII съ синей штриховкой, даетъ намъ перерѣзывающія силы $\max Q_p$. Для получения $\max Q_p$ необходимо было нагрузить еще весь третій пролетъ, фиг. 69 (случай VII), а вслѣдствіе этого перерѣзывающія сила въ первомъ пролетѣ увеличиваются на величину

$$\frac{M_1}{l_1} = + \frac{7,44}{10} + 0,75 \text{ т.}$$



Фиг. 69

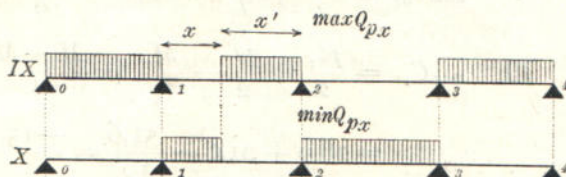
Для получения $\min Q_p$ въ сѣченіи x требуется нагрузить не только протяженіе x (фиг. 69), но также полностью второй и четвертый пролеты, причемъ этимъ полнымъ нагрузкамъ соотвѣтствуетъ опорный моментъ $M_1 = -29,5$ тм.; поэтому при нагрузкѣ участка x къ перерѣзывающей силѣ придется добавить величину $\frac{M_1}{l_1} = -2,95$ т.

Ординаты линіи съ черной штриховкой, взятая до прямой VIII съ красной штриховкой (опредѣленіе которой понятно изъ фиг. 67 а), даютъ намъ такимъ образомъ наибольшая отрицательная перерѣзывающая сила $\min Q_p$.

Для количествъ Q' , соотвѣтствующихъ по фиг. 60 (стр. 49)

* Ср. числа ω_e на стр. 48. Въ данномъ случаѣ пользуемся значеніями для $\omega_e : l = 1,0; 0,8; 0,6; 0,4; 0,2$.

второму пролету, получаются столь небольшія величины, что приходится сохранить только параболу количествъ Q_o . Проведеніе прямыхъ IX и X сдѣлано слѣдующимъ образомъ, сообразно со случаями нагрузокъ IX и X, показанныхъ на фиг. 70.



Фиг. 70.

Нагрузка первого и четвертаго пролетовъ вызываетъ $M_1 = -23,7$ тм. и $M_2 = +11,8$ тм. и даетъ такимъ образомъ для втораго пролета перерѣзывающую силу $\frac{M_2 - M_1}{l} = +3,0$ тм.

Отъ нагрузки на третьемъ пролетѣ получается $M_1 = +7,4$, $M_2 = -27,3$ и $Q = \frac{M_2 - M_1}{l} = -2,9$ т. Дальнѣйшее слѣдуетъ изъ фиг. 67 б. Обѣ прямыя VIII и X параллельны между собой.

Перерѣзывающія силы отъ постоянной нагрузки построены на фиг. 65 для третьяго и четвертаго пролетовъ. Вліяніе опорнаго момента на третій пролетъ, т. е. величина $Q' = \frac{M_3 - M_2}{l} = \frac{-11,0 + 10,7}{12}$ настолько ничтожна, что можно воспользоваться прямо линіей количествъ Q_o . Это будетъ прямая, крайнія ординаты которой равняются $\pm \frac{gl}{2} = \pm 0,9 \cdot 6 = \pm 5,4$ т.

Линія перерѣзывающихъ силъ для четвертаго пролета будетъ также прямой съ крайними ординатами

$$+\frac{gl_1}{2} - \frac{M_3}{l_1} = +4,5 + 1,1 = +5,6 \text{ т. и}$$

$$-\frac{gl_2}{2} - \frac{M_3}{l} = +4,5 + 1,1 = -3,4 \text{ т.}$$

Перерѣзывающія силы Q_g въ первомъ и во второмъ пролетахъ имѣютъ знаки, противоположные знакамъ четвертаго и третьяго пролетовъ. Такъ напр. линія количествъ Q_g имѣть на опорахъ о и г высоты $+3,4$ т. и соответственно $-5,6$ т.

Остается еще разсмотрѣть вычисление *сопротивленій опоръ* C_o , C_1 , C_2 . По уравненію

$$C_r = C_{or} + \frac{M_{r-1} - M_r}{l_s} + \frac{M_{r+1} - M_r}{l_{r+1}}$$

и послѣ подстановки значеній опорныхъ моментовъ, нанесенныхъ на фиг. 68, найдемъ слѣдующія выражения:

a) вліяніе временної нагрузки:

$$\text{случай нагрузки I} \quad \min C_{0p} = \frac{M_1}{l_1} = -\frac{29,5}{10} = -2,95 \text{ т.}$$

$$\text{" " II} \quad \max C_{0p} = \frac{pl_1}{2} + \frac{M_1}{l_1} = 18,0 - \frac{14,6}{10} = +16,5 \text{ т.}$$

$$\text{" " III} \quad \begin{aligned} \max C_{1p} &= \frac{pl_1}{2} + \frac{pl}{2} - \frac{M_1}{l_1} + \frac{M_2 - M_1}{l} \\ &= 18,0 + 21,6 - \frac{51,6}{10} = \frac{-15,4 + 51,6}{12} \\ &= +47,8 \text{ т.} \end{aligned}$$

$$\text{" " IV} \quad \begin{aligned} \max C_{2p} &= 2 \left(\frac{pl}{2} + \frac{M_1 - M_2}{l} \right) \\ &= 2 \left(21,6 + \frac{-20,5 + 54,6}{12} \right) = +48,9 \text{ т.} \end{aligned}$$

$$\text{" " V} \quad \begin{aligned} \min C_{1p} &= -\frac{M_1}{l_1} + \frac{M_2 - M_1}{l} \\ &= -\frac{7,4}{10} + \frac{-27,3 + 7,4}{12} = -2,4 \text{ т.} \end{aligned}$$

$$\text{" " VI} \quad \begin{aligned} \min C_{2p} &= 2 \frac{M_1 - M_2}{l} = 2 \frac{-23,7 - 11,8}{12} \\ &= -5,9 \text{ т.} \end{aligned}$$

b) вліяніе постійної нагрузки (по фиг. 65):

$$C_{0g} = C_{4g} = +3,4 \text{ т.; } C_{1g} = C_{3g} = +5,6 + 5,4 = +11,0 \text{ т.;}$$

$$C_{2g} = 2 \cdot 5,4 = +10,8 \text{ т.}$$

Въ суммъ получимъ для $\min C$:

$$\min C_0 = -2,95 + 3,4 = +0,45 \text{ т.}$$

$$\min C_1 = -2,4 + 11,0 = +9,6 \text{ т.}$$

$$\min C_2 = -5,9 + 10,8 = +4,9 \text{ т.}$$

Вліяніе неравномѣрного нагрѣвання балки. Рассмотримъ теперь ферму моста, нижній поясъ которой находится въ тѣни подъ полотномъ, а верхній выступаетъ надъ полотномъ и поэтому отъ дѣйствія солнечныхъ лучей получаетъ температуру на 15° выше, чѣмъ нижній поясъ. Опредѣлимъ опорные моменты, вызыаемые этимъ неравномѣрнымъ нагрѣваніемъ, по способу, описанному въ № 11. Въ выраженіе

$$T_r = \frac{\varepsilon E J (t_o - t_u)}{h} \quad (\text{уравн. 9, стр. 36})$$

подставимъ вмѣсто $\frac{J}{h}$ значеніе, соотвѣтствующее наиболѣе напря-

женному съченю. Это неблагопріятное предположеніе (вмѣсто подстановки средняго значенія $\frac{J}{h}$) позволяетъ принять въ расчетъ могущія быть вредныя перемѣщенія опорныхъ точекъ.

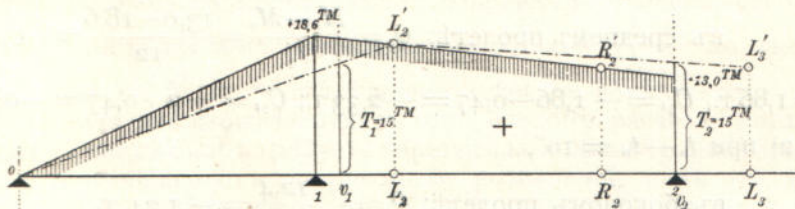
Наибольшій моментъ получается надъ опорой 2; онъ равняется $M_2 = M_{2,p} + M_{2,g} = -54,6 - 10,7 = -65,3$ тм.; при этомъ моментъ и при допускаемомъ напряженіи $\sigma = 750$ к/см². = 7500 т/м². требуется моментъ сопротивленія

$$W = \frac{M}{\sigma} = \frac{65,3}{7500} = 0,0082 \text{ м.}^3,$$

поэтому при $J = \frac{1}{2} Wh$ (т. е. $\frac{J}{h} = 0,0041$) и при $E = 240$ т/м². (для сварочнаго желѣза) найдемъ

$$T_1 = T_2 = 240 \cdot 0,0041 \cdot 15 = \text{около } 15 \text{ тм.}$$

Эти значения надо отложить на фиг. 71 какъ ординаты на вертикаляхъ v_1 , v_2 , смежныхъ съ опорами; такимъ образомъ получимъ (по стр. 37) точки L'_2 и L'_3 искомаго многоугольника момента M .



Фиг. 71

Такъ какъ балка симметрична, то, зная положеніе L'_3 , можемъ получить положеніе R'_2 ($R'_2 R'_3 = L'_3 L'_2$), а этимъ вполнѣ опредѣляется многоугольникъ M . Въ результатѣ получимъ:

$$M_{1,t} = +18,6 \text{ тм.}, \quad M_{2,t} = +13,0 \text{ тм.}$$

Такимъ образомъ дѣйствіе солнечныхъ лучей на верхній поясъ вызываетъ всюду положительные моменты. Сложивъ моменты M_p и M_g , построенные отдельно на листѣ чертежей 2, найдемъ для первого пролета

$$\max(M_p + M_g) = 44,0 \text{ тм.}$$

и для втораго пролета

$$\max(M_p + M_g) = 44,7 \text{ тм.}$$

Прибавивъ сюда моменты M_t , полученные изъ фиг. 71, получимъ:

$$\max(M_p + M_g + M_t) = 53 \text{ тм. и соотвѣтственно } 60,5 \text{ тм.}$$

Слѣдовательно, ранѣе опредѣленное количество $\max M$ увеличи-

вается отъ дѣйствія измѣненія температуры на 20% и соотвѣтственно на 35% .

Чтобы сдѣлать при опредѣленіи моментовъ $\min M$ наиболѣе неблагопріятное предположеніе, примемъ, что зимой верхній поясъ сильно охлаждается, чѣмъ защищенный нижній. Разность температуръ сосчитаемъ въ 10° , т. е. примемъ, что

$$M_{1t} = -\frac{2}{3} \cdot 18,6 = -12,4 \text{ тм.}, M_{2t} = -\frac{2}{3} \cdot 13,0 \text{ тм.} = -8,7 \text{ тм.}$$

Наибольшія значенія опорныхъ моментовъ будуть равняться тогда:

$$M_1 = -51,6 - 11,0 - 12,4 = -75 \text{ тм.};$$

$$M_2 = -65,3 - 8,3 = -74 \text{ тм.}^{*});$$

такимъ образомъ моменты увеличиваются на 20% и соотвѣтственно на 13% .

Перерѣзывающія силы Q_t и сопротивленія опоръ C_t , вызываемыя неравномѣрнымъ нагрѣваніемъ балки, будутъ равняться:

1) при $t_o - t_u = 15^{\circ}$,

$$\text{въ боковомъ пролетѣ: } Q_t = \frac{M_1}{l_1} = \frac{18,6}{10} = 1,86 \text{ т.,}$$

$$\text{въ среднемъ пролетѣ: } Q_t = \frac{M_2 - M_1}{l_2} = \frac{13,0 - 18,6}{12} = -0,47 \text{ т.,}$$

$$C_{0t} = 1,86 \text{ т.}, C_{1t} = -1,86 - 0,47 = -2,33 \text{ т.}; C_{2t} = +2 \cdot 0,47 = +0,94 \text{ т.}$$

2) при $t_o - t_u = 10^{\circ}$,

$$\text{въ боковомъ пролетѣ: } Q_t = -\frac{12,4}{10} = -1,24 \text{ т.,}$$

$$\text{въ среднемъ пролетѣ: } Q_t = \frac{-8,7 + 12,4}{12} = +0,31 \text{ т.,}$$

$$C_{0t} = -1,24 \text{ т.}; C_{1t} = +1,24 + 0,31 = +1,55 \text{ т.}; C_{2t} = -2 \cdot 0,31 = -0,62 \text{ т.}$$

Надо обратить вниманіе на вліяніе измѣненія температуры на наименьшія значенія C . Значенія $\min C$, найденные на стр. 56, обратятся въ слѣдующія:

$$\min C_0 = +0,45 - 1,24 = -0,8 \text{ т.,}$$

$$\min C_1 = +9,6 - 2,33 = +7,3 \text{ т.,}$$

$$\min C_2 = +4,9 - 0,62 = +4,3 \text{ т.};$$

такимъ образомъ въ крайнихъ опорахъ получаются отрицательныя сопротивленія, которыя требуютъ устройства закрѣплений концовъ балки съ кладкой **).

*) Принявъ этотъ моментъ въ основаніе для вычисленій количествъ $J:h$ и T , получили бы $J:h = 0,0048$ и $T = 17,3$ тм. Нового опредѣленія M_{1t} и M_{2t} можно не дѣлать.

**) Отрицательныя опоры (скрѣпленіе съ кладкой) полезно дѣлать даже тогда, когда $\min C$ выражается небольшимъ положительнымъ числомъ.

Въ сдѣланныхъ вычисленияхъ мы пренебрегали перемѣщеніями опорныхъ точекъ. Возможно это допустить въ фермахъ, лежащихъ на каменныхъ или на не очень высокихъ желѣзныхъ опорахъ и при надежномъ грунѣ, если при этомъ сдѣлано достаточно неблагоприятное предположеніе относительно вліянія измѣненія температуры $t_0 - t_u$.

§ 6.

Балки на упругихъ опорахъ.

19.—До сихъ поръ мы предполагали, что разстояніе δ_r (фиг. 72), на которое перемѣщается точка опоры r относительно прямой, соединяющей опоры $r-1$ и $r+1$, было задано, т. е. раньше рѣчь была о томъ, чтобы определить вліяніе перемѣщеній, полученныхъ изъ наблюдений или напередъ выбранныхъ, или же чтобы узнать тѣ преимущества, которыя можно получить путемъ измѣненія взаимнаго расположения высотъ опорныхъ точекъ, соответствующаго не напряженному состоянію. Вліяніе количества δ_r лучше всего опредѣляется тогда съ помощью моментовъ $T_r = -\frac{2EJ\delta_r}{l_r l_{r+1}}$ по способу, описанному въ № 11 *); затрудненій здѣсь не встрѣчается.

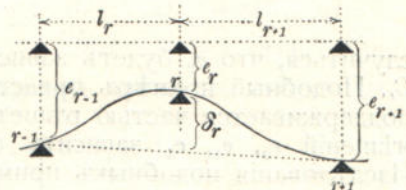
Значительно сложнѣе будетъ тотъ способъ расчета, когда при большемъ числѣ опоръ требуется принять во вниманіе вліяніе движенія опоръ, зависящаго отъ опорныхъ сопротивленій, какъ это, напримѣръ, можетъ имѣть мѣсто въ балкахъ, лежащихъ на очень высокихъ желѣзныхъ опорахъ, или въ главныхъ фермахъ плавучихъ мостовъ. Въ обоихъ взятыхъ случаяхъ вертикальное перемѣщеніе e_r опорной точки r (считаемое положительнымъ книзу) можно написать въ такой формѣ

$$(1) \quad e_r = e'_r + \omega_r C_r,$$

гдѣ e'_r означаетъ количество, не зависящее отъ сопротивленія опоры C_r ; ω означаетъ пониженіе опорной точки отъ дѣйствія причины $C_r=1$.

Если, напр., балка лежитъ въ r на стойкѣ, длина которой h_r , площадь поперечного сѣченія F_r , коэффиціентъ упругости E_r и t_r возвышеніе температуры для стойки, то будемъ имѣть

$$(2) \quad e = -\varepsilon t_r h_r + \frac{C_r h_r}{E_r F_r}, \text{ или } e'_r = -\varepsilon t_r h_r \text{ и } \omega_r = \frac{h_r}{E_r F_r}.$$



Фиг. 72.

*) Точный способъ для балки съ переменными поперечными сѣченіями описанъ въ № 132 (выпускъ IX).

При этомъ мы пренебрегли сжимаемостью грунта и кладки основания; эти явленія можно было бы принять во вниманіе путемъ надлежащаго увеличенія количества ω_r , но обыкновенно влияние это бываетъ ничтожнымъ.

Если же балка опирается въ точкѣ r на понтонъ (судно), то между опорнымъ сопротивленіемъ C_r , вызываемымъ какой либо нагрузкой, и измѣненіемъ e_r глубины погружения понтона, взятой до приложенія нагрузки, существуетъ такая зависимость

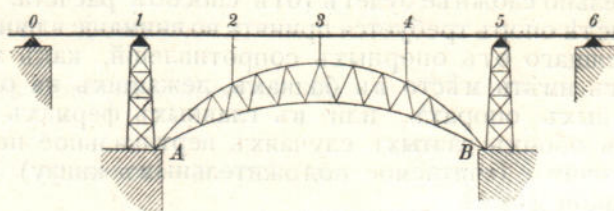
$$\gamma F_r e_r = C_r,$$

гдѣ F_r означаетъ площадь поперечного сѣченія понтона на уровнѣ поверхности воды, а γ — вѣсъ единицы объема воды ($\gamma = 1$ т. въ 1 куб. метрѣ). При этомъ всегда возможно сдѣлать допущеніе, что F при увеличеніи глубины погружения не измѣняется, т. е. что объемъ воды, вытесненный давленіемъ C_r , равняется $F_r e_r$. Если же глубина погружения увеличивается на величину e'_r отъ причины, не зависящей отъ C_r , напр., отъ значительного измѣненія въ вѣсѣ понтона, то точка опоры r перемѣстится въ общемъ на величину

$$(3) \quad e_r = e'_r + \omega_r C_r, \text{ гдѣ } \omega_r = \frac{1}{\gamma F_r}.$$

Надо замѣтить еще, что опорная точка r берется по серединѣ понтона. Случай балки, опирающейся на борты понтона, мы разсмотримъ отдельно.

Уравненіемъ (1) ни въ коемъ случаѣ не исчерпываются возможные соотношенія между перемѣщеніями e и силами C . Можетъ



Фиг. 73.

случиться, что e_2 будетъ зависѣть отъ сопротивленій многихъ опоръ C_r . Подобный примѣръ представленъ фиг. 73. Балка о 1 . . . 6 поддерживается частью рѣшеткой AB , поэтому каждое изъ перемѣщеній e_2, e_3, e_4 зависитъ отъ трехъ реакцій опоръ C_2, C_3, C_4 . Изслѣдованія подобныхъ примѣровъ мы пока дѣлать не будемъ.

20. Условія упругости для балки съ постояннымъ поперечнымъ сѣченіемъ. Сошлемся на уравненія 7 и 8, выведенныя на стр. 36, и выражимъ сначала δ_r въ зависимости отъ e_{r-1}, e_r, e_{r+1} , фиг. 72.

Имѣемъ

$$\frac{e_r + \delta_r - e_{r-1}}{l_r} = \frac{e_{r+1} - (e_r + \delta_r)}{l_{r+1}}$$

и затѣмъ

$$(4) \quad \frac{\delta_r(l_r + l_{r+1})}{l_r l_r} = \frac{e_{r-1} - e_r}{l_r} + \frac{e_{r+1} - e_r}{l_{r+1}},$$

членъ же N_r , зависящій отъ нагрузки, приметь видъ

$$(5) \quad N_r = -6\left(\frac{\varrho_{or}}{l_r} + \frac{\mathfrak{R}_{o(r+1)}}{l_{r+1}}\right) - 3\varepsilon EJ(t_u - t_o) \frac{l_r + l_{r+1}}{h} \\ - 6EJ\left[\frac{e_{r-1}}{l_r} - \frac{e_r(l_r + l_{r+1})}{l_r l_{r+1}} + \frac{e_{r+1}}{l_{r+1}}\right].$$

Положимъ теперь $e_r = e'_r + \omega_r C_r$ и (по уравн. 23, стр. 43)

$$(6) \quad C_r = C_{0r} + \frac{M_{r-1}}{l_r} - \frac{M_r(l_r + l_{r+1})}{l_r l_{r+1}} + \frac{M_{r+1}}{l_{r+1}},$$

гдѣ C_{0r} представляетъ то значеніе для C_r , когда части фермы l_r и l_{r+1} были бы простыми балками; тогда послѣ простаго промежуточнаго вычислѣнія получимъ такую зависимость

$$(7) \quad M_{r-2} a_{r-1} + M_{r-1} b_r + M_r c_r + M_{r+1} b_{r+1} + M_{r+2} a_{r+1} = K_r.$$

Вспомогательные коэффиціенты опредѣляются по формуламъ:

$$(8 a) \quad \begin{cases} a_r = \frac{6EJ\omega_r}{l_r l_{r+1}} \\ b_r = l_r - \frac{6EJ}{l_r^2} \left(\omega_{r-1} \frac{l_{r-1} + l_r}{l_{r-1}} + \omega_r \frac{l_r + l_{r+1}}{l_{r+1}} \right) \\ c_r = 2(l_r + l_{r+1}) + 6EJ \left[\frac{\omega_{r-1}}{l_r^2} + \frac{\omega_r(l_r + l_{r+1})^2}{l_r^2 l_{r+1}^2} + \frac{\omega_{r+1}}{l_{r+1}^2} \right], \end{cases}$$

и для члена, зависящаго отъ нагрузки, получимъ

$$(9 a) \quad \begin{cases} K_r = -6\left(\frac{\varrho_{or}}{l_r} - \frac{\mathfrak{R}_{o(r+1)}}{l_{r+1}}\right) - 3\varepsilon EJ(t_u - t_o) \frac{l_r + l_{r+1}}{h} \\ - 6EJ\left[\frac{e'_{r-1}}{l_r} - \frac{e'_r(l_r + l_{r+1})}{l_r l_{r+1}} + \frac{e'_{r+1}}{l_{r+1}}\right] \\ - 6EJ\left[\frac{\omega_{r-1} C_{0(r-1)}}{l_r} - \frac{\omega C_0(l_r + l_{r+1})}{l_r l_{r+1}} + \frac{\omega_{r+1} C_{0(r+1)}}{l_{r+1}}\right]. \end{cases}$$

Уравненія для b_r и c_r можно преобразовать также въ слѣдующія:

$$(8 b) \quad \begin{cases} b_r = l_r - a_{r-1} \frac{l_{r-1} + l_r}{l_r} - a_r \frac{l_r + l_{r+1}}{l_r} \\ c_r = 3(l_r + l_{r+1}) - a_{r-1} - b_r - b_{r+1} - a_{r+1}; \end{cases}$$

послѣдній же членъ выраженія для K_r можно написать также въ такой формѣ:

$$(9 b) \quad -a_{r-1} l_{r-1} C_{0(r-1)} + a(l_r + l_{r+1}) C_{0r} - a_{r+1} l_{r+2} C_{0(r+1)}.$$

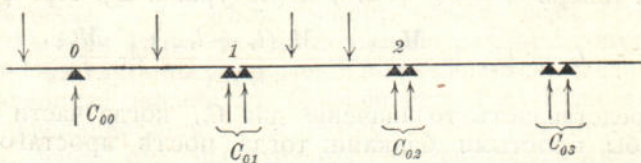
Нѣсколько другую форму принимаютъ первыя два условія упругости; эти условія надо написать здѣсь только для случая балки всюду свободно лежащей (не задѣланной по концамъ), при чемъ балка можетъ свѣшиваться съ крайнихъ опоръ o и n , фиг. 44, стр. 38. Крайніе опорные моменты M_o и M_n будутъ извѣстны.

Сопротивленія опоръ о и 1 будуть равняться:

$$(10) \quad C_o = C_{oo} + \frac{M_1}{l_1}$$

$$C_1 = C_{o1} - \frac{M_1(l_1 + l_2)}{l_1 l_2} + \frac{M_2}{l_2},$$

причесы C_{oo} и C_{o1} означаютъ сопротивленія опоръ для балокъ, которыя въ точкахъ 1 и 2 разрѣзаны, фиг. 74. Требуемыя условія упругости напищутся въ такой формѣ:



Фиг. 74.

$$(11) \quad \begin{cases} M_1 c_1 + M_2 b_2 + M_3 a_2 = K_1 \\ M_1 b_2 + M_2 c_2 + M_3 b_3 + M_4 a_3 = K_2, \end{cases}$$

причесъ K_1 должно быть вычислено по отдельной формулѣ

$$(12) \quad \begin{cases} K_1 = -M_o l_1 - 6 \left(\frac{C_{o1}}{l_1} + \frac{C_{o2}}{l_2} \right) - 3 \varepsilon E J (t_u - t_o) \frac{l_1 + l_2}{h} \\ \quad - 6 E J \left[\frac{e'_o}{l_1} - \frac{e'_1 (l_1 + l_2)}{l_1 l_2} + \frac{e'_2}{l_2} \right] \\ \quad - a_o l_o C_{oo} + a_1 (l_1 + l_2) C_{o1} - a_2 l_3 C_{o2}, \end{cases}$$

которая отличается отъ уравненій 9 а и б членомъ $-M_o l_1$. Для K_2 имѣютъ значенія уравненія 9 а и б. Надо замѣтить, что въ выражение

$$a_o = \frac{6 E J \omega_o}{l_o l_1}$$

можно подставить вместо l_o произвольную длину *).

Такимъ образомъ надо поступать и при составленіи обоихъ послѣднихъ условій упругости.

21. Балка съ перемѣннымъ сѣченіемъ. Для вычи-
сленія опорныхъ моментовъ служатъ общія уравненія (1) и (2) на
стр. 33. Эти уравненія съ помощью формулъ

$$\frac{l_r + l_{r+1}}{l_r l_{r+1}} \delta_r = \frac{e_{r-1}}{l_r} - \frac{e_r (l_r + l_{r+1})}{l_r l_{r+1}} + \frac{e_{r+1}}{l_{r+1}}$$

$$e_r = e'_r + \omega_r C_r$$

$$C_r = C_{0r} + \frac{M_{r-1}}{l_r} - \frac{M_r (l_r + l_{r+1})}{l_r l_{r+1}} + \frac{M_{r+1}}{l_{r+1}}$$

*). Тоже самое относится и до l_{n+1} , въ выраженіи $a_n = \frac{6 E J \omega_n}{l_n l_{n+1}}$.

можно преобразовать подобнымъ же образомъ, какъ и условія упругости для фермы съ постояннымъ съченіемъ. А именно мы получимъ уравненіе

$$(12) \quad M_{r-2}\alpha_{r-1} + M_{r-1}\beta_r + M_r\gamma_r + M_{r+1}\beta_{r+1} + M_{r+2}\alpha_{r+1} = Z_r,$$

гдѣ α , β , γ и Z опредѣляются по слѣдующимъ формуламъ:

$$(13) \quad \left\{ \begin{array}{l} \alpha_r = \frac{\omega_r}{l_r l_{r+1}} \\ \beta_r = \frac{d_r}{l_r} - \frac{1}{l_r^2} \left(\omega_{r-1} \frac{l_{r-1} + l_r}{l_{r-1}} + \omega_r \frac{l_r + l_{r+1}}{l_{r+1}} \right) \\ = \frac{d_r}{l_r} - \alpha_{r-1} \frac{l_{r-1} + l_r}{l_r} - \alpha_r \frac{l_r + l_{r+1}}{l_r} \\ \gamma_r = \frac{c_r}{l_r} + \frac{c_r}{l_{r+1}} + \frac{\omega_{r-1}}{l_r^2} + \frac{\omega_r (l_r + l_{r+1})^2}{l_r^2 l_{r+1}^2} + \frac{\omega_{r+1}}{l_{r+1}^2} \\ = \frac{d_r}{l_r} + \frac{c_r}{l_r} + \frac{c_r}{l_{r+1}} + \frac{d_{r+1}}{l_{r+1}} - \alpha_{r-1} - \beta_r - \beta_{r+1} - \alpha_{r+1} \end{array} \right.$$

$$(14) \quad \left\{ \begin{array}{l} Z_r = -\Sigma P_m \delta_{mr} - c_{rt} - \frac{e'_{r-1}}{l_r} + \frac{e'_{r-1} (l_r + l_{r+1})}{l_r l_{r+1}} - \frac{e'_{r+1}}{l_{r+1}} \\ - \alpha_{r-1} l_{r-1} C_{0(r-1)} + \alpha_r (l_r + l_{r+1}) C_{0r} - \alpha_{r+1} l_{r+2} C_{0(r+1)}. \end{array} \right.$$

Значеніе буквъ d_r , c_r , δ_{mr} , c_{rt} понятно изъ фиг. 37, стр. 33.

22. Разрѣшеніе условій упругости производится проще всего путемъ вычисленій; въ особенности просто это рѣшеніе при симметричномъ расположениіи фермы. Разсмотримъ, напр., лежащую на 8 опорахъ симметричную балку съ *постояннымъ по всей длини съченіемъ*, несущую какую либо нагрузку. Условія упругости для нея напишутся въ такой формѣ:

$$\begin{aligned} M_1 c_1 + M_2 b_2 + M_3 a_2 &= K_1 \\ M_1 b_2 + M_2 c_2 + M_3 b_3 + M_4 a_3 &= K_2 \\ M_1 a_3 + M_2 b_3 + M_3 c_3 + M_4 b_4 + M_5 a_3 &= K_3 \\ M_2 a_3 + M_3 b_4 + M_4 c_3 + M_5 b_3 + M_6 a_2 &= K_4 \\ M_3 a_3 + M_4 b_3 + M_5 c_2 + M_6 b_2 &= K_5 \\ M_4 a_2 + M_5 b_2 + M_6 c_1 &= K_6, \end{aligned}$$

потому что $a_4 = a_3$, $a_5 = a_2$, затѣмъ $b_5 = b_3$, $b_6 = b_2$ и наконецъ $c_4 = c_3$, $c_5 = c_2$, $c_6 = c_1$.

Сложивъ первое уравненіе съ послѣднимъ, второе съ предпослѣднимъ и т. д. и введя новыя неизвѣстныя

$$X_1 = M_1 + M_6; \quad X_2 = M_2 + M_5; \quad X_3 = M_3 + M_4$$

$$Y_1 = M_1 - M_6; \quad Y_2 = M_2 - M_5; \quad Y_3 = M_3 - M_4,$$

получимъ двѣ группы уравненій, каждое съ тремя неизвѣстными, а именно:

$$(I) \quad \left\{ \begin{array}{l} X_1 c_1 + X_2 b_2 + X_3 a_2 = A_1 \\ X_1 b_2 + X_2 c_2 + X_3 (b_3 + a_3) = A_2 \\ X_1 a_2 + X_2 (b_3 + a_3) + X_3 (c_3 + b_4) = A_3 \end{array} \right.$$

$$(II) \quad \left\{ \begin{array}{l} Y_1 c_1 + Y_2 b_2 + Y_3 a_3 = B_1 \\ Y_1 b_2 + Y_2 c_2 + Y_3 (b_3 - a_3) = B_2 \\ Y_1 a_2 + Y_2 (b_3 - a_3) + Y_3 (c_3 - b_4) = B_3, \end{array} \right.$$

гдѣ

$$\begin{array}{l} A_1 = K_1 + K_6, \quad A_2 = K_2 + K_5, \quad A_3 = K_3 + K_4, \\ B_1 = K_1 - K_6, \quad B_2 = K_2 - K_5, \quad B_3 = K_3 - K_4. \end{array}$$

Обозначивъ буквой D опредѣлитель, составленный изъ коэффициентовъ при количествахъ X , затѣмъ буквами D_1, D_2, D_3 тѣ опредѣлители, которые получатся, если въ опредѣлителѣ D замѣнить послѣдовательно столбцы первый, второй, третій столбцомъ $A_1 A_2 A_3$ тогда найдемъ, что

$$X_1 = \frac{D_1}{D}, \quad X_2 = \frac{D_2}{D}, \quad X_3 = \frac{D_3}{D},$$

гдѣ

$$D = \begin{vmatrix} c_1 & b_2 & a_2 \\ b_2 & c_2 & (b_3 + a_3) \\ a_2 & (b_3 + a_3) & (c_3 + b_4) \end{vmatrix},$$

$$D_1 = \begin{vmatrix} A_1 & b_2 & a_2 \\ A_2 & c_2 & (b_3 + a_3) \\ A_3 & (b_3 + a_3) & (c_3 + b_4) \end{vmatrix}, \quad D_2 = \begin{vmatrix} c_1 & A_1 & a_2 \\ b_2 & A_2 & (b_3 + a_3) \\ a_2 & A_3 & (c_3 + b_4) \end{vmatrix} \text{ и т. д.}$$

Вычислениѣ здѣсь значительно облегчено, потому что уравненіе (I) имѣеть простую симметрію, а это приводитъ къ тому, что и решеніе уравненій можно представить въ такой же простой симметричной формѣ. Если написать уравненія (I) въ болѣе наглядной формѣ, а именно

$$\begin{array}{l} X_1 a' + X_2 b' + X_3 c' = A_1 \\ X_1 b' + X_2 d' + X_3 e' = A_2 \\ X_1 c' + X_2 e' + X_3 f' = A_3, \end{array}$$

то неизвѣстныя по разрѣшениѣ уравненій будуть таковы

$$\begin{array}{l} X_1 = a'' A_1 + b'' A_2 + c'' A_3 \\ X_2 = b'' A_1 + d'' A_2 + e'' A_3 \\ X_3 = c'' A_1 + e'' A_2 + f'' A_3, \end{array}$$

гдѣ

$$a'' = \frac{a'_1}{D}, \quad b'' = \frac{b'_1}{D}, \quad c'' = \frac{c'_1}{D}, \quad d'' = \frac{d'_1}{D} \text{ и т. д.,}$$

причемъ

$$D = \begin{vmatrix} a' & b' & c' \\ b' & d' & e' \\ c' & e' & f' \end{vmatrix} = a' a'_1 + b' b'_1 + c' c'_1,$$

и $a'_1, b'_1, c'_1, d'_1 \dots$ подопредѣлители къ элементамъ $a', b', c' \dots$ опредѣлителя D *), а именно:

*) Общая форма опредѣлителя n -ой степени изъ n элементовъ $a \ b \ c \dots q$ такова

$$D = \begin{vmatrix} a_1 & b_1 & c_1 & \dots & q_1 \\ a_2 & b_2 & c_2 & \dots & q_2 \\ \vdots & \vdots & \vdots & \ddots & \vdots \\ a_n & b_n & c_n & \dots & q_n \end{vmatrix}.$$

$$a'_1 = + \begin{vmatrix} d' & e' \\ e' & f' \end{vmatrix}, \quad b'_1 = - \begin{vmatrix} b' & c' \\ e' & f' \end{vmatrix}, \quad d'_1 = + \begin{vmatrix} a' & c' \\ c' & f' \end{vmatrix},$$

$$e'_1 = + \begin{vmatrix} b' & c' \\ d' & e' \end{vmatrix}, \quad e'_1 = - \begin{vmatrix} a' & c' \\ b' & e' \end{vmatrix}, \quad f'_1 = + \begin{vmatrix} a' & b' \\ b' & d' \end{vmatrix}.$$

Представивъ подобнымъ же образомъ неизвѣстныя Y въ такой формѣ

$$\begin{aligned} Y_1 &= a'''B_1 + b'''B_2 + c'''B_3 \\ Y_2 &= b'''B_1 + d'''B_2 + e'''B_3 \\ Y_3 &= c'''B_1 + e'''B_2 + f'''B_3, \end{aligned}$$

мы найдемъ

$$M_1 = \frac{I}{2}(X_1 + Y_1); \quad M_6 = \frac{I}{2}(X_1 - Y_1)$$

$$M_2 = \frac{I}{2}(X_2 + Y_2); \quad M_5 = \frac{I}{2}(X_2 - Y_2)$$

$$M_3 = \frac{I}{2}(X_3 + Y_3); \quad M_4 = \frac{I}{2}(X_3 - Y_3).$$

Такимъ образомъ имѣемъ, напримѣръ:

$$\begin{aligned} 2M_1 &= a''(K_1 + K_2) + b''(K_2 + K_5) + c''(K_3 + K_4) \\ &+ a'''(K_1 - K_6) + b'''(K_2 - K_5) + c'''(K_3 - K_4) \\ &= K_1(a'' + a''') + K_2(b'' + b''') + K_3(c'' + c''') \\ &+ K_4(c'' - c''') + K_5(b'' - b''') + K_6(a'' - a'''). \end{aligned}$$

Вычислениe опять упрощается вслѣдствіе того, что окончательные рѣшенія должны быть представлены въ двойной симметричной формѣ:

$$\begin{aligned} M_1 &= \underline{a}K_1 + \underline{b}K_2 + \underline{c}K_3 + \bar{c}K_4 + \bar{b}K_5 + \bar{a}K_6 \\ M_2 &= \underline{b}K_1 + \underline{d}K_2 + \underline{e}K_3 + \bar{e}K_4 + \bar{d}K_5 + \bar{b}K_6 \\ M_3 &= \underline{c}K_1 + \underline{e}K_2 + \underline{f}K_3 + \bar{f}K_4 + \bar{e}K_5 + \bar{c}K_6 \\ M_4 &= \underline{c}K_1 + \underline{e}K_2 + \bar{f}K_3 + \underline{f}K_4 + \underline{e}K_5 + \underline{c}K_6 \\ M_5 &= \bar{b}K_1 + \bar{d}K_2 + \bar{e}K_3 + \underline{e}K_4 + \underline{d}K_5 + \underline{b}K_6 \\ M_6 &= \bar{a}K_1 + \bar{b}K_2 + \bar{c}K_3 + \underline{c}K_4 + \underline{b}K_5 + \underline{a}K_6, \end{aligned}$$

гдѣ

$$\underline{a} = \frac{a'' + a'''}{2}, \quad \underline{b} = \frac{b'' + b'''}{2}, \quad \underline{c} = \frac{c'' + c'''}{2},$$

$$\bar{c} = \frac{c'' - c'''}{2}, \quad \bar{b} = \frac{b'' - b'''}{2}, \quad \bar{a} = \frac{a'' - a'''}{2}$$

$$\underline{d} = \frac{d'' + d'''}{2}, \quad \underline{e} = \frac{e'' + e'''}{2}, \quad \bar{e} = \frac{e'' - e'''}{2}, \quad \bar{d} = \frac{d'' - d'''}{2}$$

$$\underline{f} = \frac{f'' + f'''}{2}, \quad \bar{f} = \frac{f'' - f'''}{2}.$$

Путь расчета остается совершенно такимъ же и при нечетномъ числѣ условій упругости. Такъ напр., если число опоръ равно 7, то получимъ:

$$\begin{array}{l} M_1 c_1 + M_2 b_2 + M_3 a_2 = K_1 \\ M_1 b_2 + M_2 c_2 + M_3 b_3 + M_4 a_3 = K_2 \\ M_1 a_2 + M_2 b_3 + M_3 c_3 + M_4 b_3 + M_5 a_3 = K_3 \\ M_2 a_3 + M_3 b_3 + M_4 c_2 + M_5 b_2 = K_4 \\ M_3 a_2 + M_4 b_2 + M_5 c_1 = K_5, \end{array}$$

а затѣмъ при обозначеніяхъ:

$$\begin{array}{l} M_1 + M_5 = X_1, \quad M_2 + M_4 = X_2, \quad M_3 + M_3 = X_3 \\ M_1 - M_5 = Y_1, \quad M_2 - M_4 = Y_2 \end{array}$$

найдемъ обѣ группы уравненій

$$(I) \quad \left\{ \begin{array}{l} X_1 c_1 + X_2 b_2 + X_3 a_2 = K_1 + K_5 = A_1 \\ X_1 b_2 + X_2 (c_2 + a_2) + X_3 b_3 = K_2 + K_4 = A_2 \\ X_1 a_2 + X_2 b_3 + X_3 \frac{c_3}{2} = K_3 = A_3 \end{array} \right.$$

$$(II) \quad \left\{ \begin{array}{l} Y_1 c_1 + Y_2 b_2 = K_1 - K_5 = B_1 \\ Y_1 b_2 + Y_2 (c_2 - a_2) = K_2 - K_4 = B_2. \end{array} \right.$$

Отсюда мы найдемъ сначала X и Y въ простой симметричной формѣ

$$\begin{array}{l} X_1 = a'' A_1 + b'' A_2 + c'' A_3 \\ X_2 = b'' A_1 + d'' A_2 + e'' A_3 \\ X_3 = c'' A_1 + e'' A_2 + f'' A_3 \end{array}$$

$$\begin{array}{l} Y_1 = a''' B_1 + b''' B_2 \\ Y_2 = b''' B_1 + d''' B_2 \end{array}$$

и наконецъ опорные моменты:

$$\begin{array}{l} M_1 = \underline{a} K_1 + \underline{b} K_2 + (\underline{c}) K_3 + \overline{b} K_4 + \overline{a} K_5 \\ M_2 = \underline{b} K_1 + \underline{d} K_2 + (\underline{e}) K_3 + \overline{d} K_4 + \overline{b} K_5 \\ M_3 = \underline{c} K_1 + \underline{e} K_2 + (\underline{f}) K_3 + \underline{e} K_4 + \underline{c} K_5 \\ M_4 = \overline{b} K_1 + \overline{d} K_2 + (\underline{e}) K_3 + \underline{d} K_4 + \overline{b} K_5 \\ M_5 = \overline{a} K_1 + \overline{b} K_2 + (\underline{c}) K_3 + \overline{b} K_4 + \underline{a} K_5, \end{array}$$

гдѣ

$$\begin{array}{l} a = \frac{a'' + a'''}{2}, \quad b = \frac{b'' + b'''}{2}, \quad (c) = \frac{c''}{2}, \quad \overline{b} = \frac{b'' - b'''}{2}, \quad \overline{a} = \frac{a'' - a'''}{2} \\ d = \frac{d'' + d'''}{2}, \quad (e) = \frac{e''}{2}, \quad \overline{d} = \frac{d'' - d'''}{2} \\ (f) = \frac{f''}{2}. \end{array}$$

23. Линії вліяння для опорныхъ моментовъ. Составленіе общихъ правилъ для опредѣленія самаго опаснаго способа загружениія при сжимаемыхъ опорахъ связано съ большими затрудненіями, поэтому для рѣшенія даннаго вопроса слѣдуетъ

прибѣгнуть къ посредству линій вліянія. Для того чтобъ описать избранный путь болѣе нагляднымъ образомъ, придадимъ выражению, полученному при разрѣшеніи условій упругости для какого нибудь опорнаго момента (напр. M_i для опоры i), такую форму:

$$(15) \quad M_i = \beta_{i1} K_1 + \beta_{i2} K_2 + \beta_{i3} K_3 + \dots + \beta_{i(n-1)} K_{n-1} = \sum_{r=1}^{n-1} \beta_{ir} K_r$$

и разложимъ часть члена K_r , зависящую отъ нагрузки, на составные части:

$$(16) \quad K_r' = -6 \left(\frac{\mathfrak{L}_{or}}{l_r} + \frac{\mathfrak{R}_{o(r+1)}}{l_{r+1}} \right) \text{ и}$$

$$(17) \quad K_r'' = -a_{r-1} l_{r-1} C_{0(r-1)} + a_r (l_r + l_{r+1}) C_{0r} - a_{r+1} l_{r+2} C_{0(r+1)}.$$

Вліяніе остатка, т. е.

$$(18) \quad K_r''' = -3\varepsilon EJ(t_u - t_o) \frac{l_r + l_{r+1}}{h} - 6EJ \left[\frac{e'_{r-1}}{l_r} - \frac{e'_r(l_r + l_{r+1})}{l_r l_{r+1}} + \frac{e'_{r+1}}{l_{r+1}} \right]$$

рассматривается само по себѣ и затѣмъ въ дальнѣйшемъ во вниманіе не принимается.

Сначала положимъ, что всѣ K'' равны нулю, т. е. положимъ, что

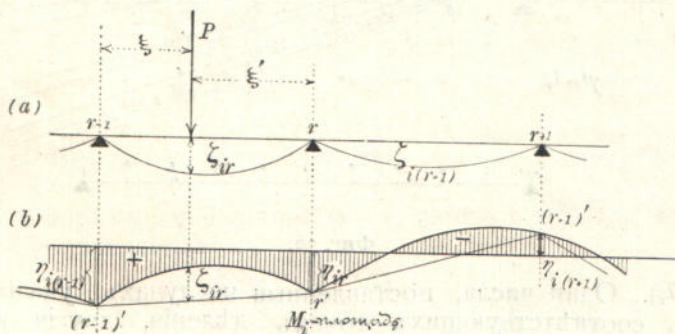
$$M_i = \beta_{i1} K'_1 + \beta_{i2} K'_2 + \beta_{i3} K'_3 + \dots + \beta_{i(n-1)} K'_{n-1}.$$

Если грузъ P , перемѣщающійся по балкѣ, лежитъ въ r -омъ пролетѣ, въ разстояніяхъ ξ и ξ' отъ $(r-1)$ и соответственно r (фиг. 75 а), тогда получимъ по стр. 31:

$$K'_{r-1} = -\frac{6\mathfrak{R}_{or}}{l_r} = -Pl_r^2 \left(\frac{\xi'}{l_r} - \frac{\xi'^3}{l_r^3} \right) \text{ и}$$

$$K'_r = -\frac{6\mathfrak{L}_{or}}{l_r} = -Pl_r^2 \left(\frac{\xi}{l_r} - \frac{\xi^3}{l_r^3} \right),$$

тогда какъ всѣ остальные K' исчезнутъ; поэтому при обозначеніяхъ



Фиг. 75.

введенныхъ на стр. 41: $\operatorname{tg} \varphi_L = \frac{\xi'}{l_r} - \frac{\xi'^3}{l_r^3}$ и $\operatorname{tg} \varphi_R = \frac{\xi}{l_r} - \frac{\xi^3}{l_r^3}$,

получимъ слѣдующее выражение вліянія единицы груза, лежащаго въ r -омъ пролетѣ, на величину момента M_i :

$$(19) \quad M_{ir} = -P(\beta_{ir(r-1)}) \operatorname{tg} \varphi_L + \beta_{ir} \operatorname{tg} \varphi_R l_r^2 = P \zeta_{ir}.$$

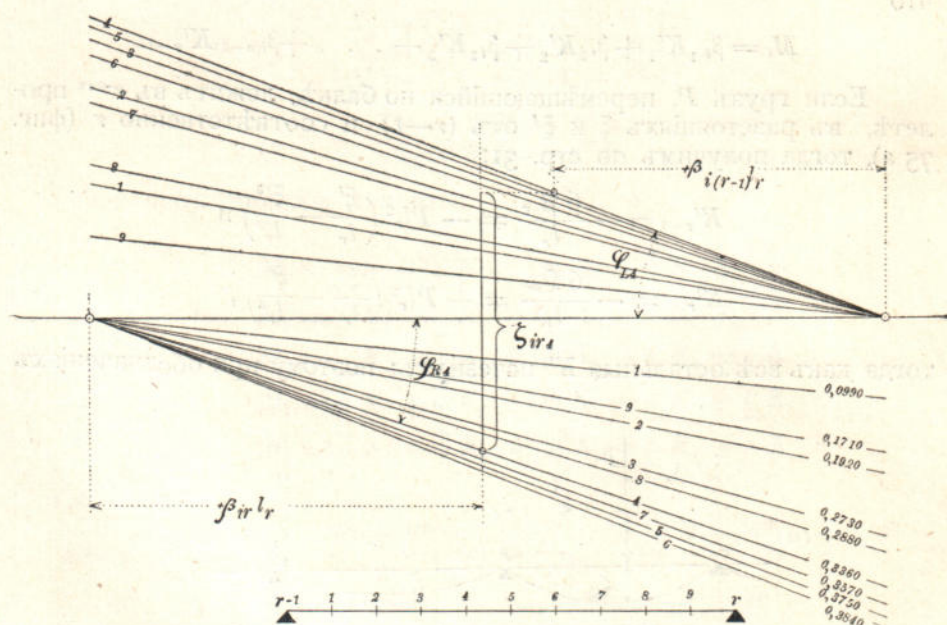
Для груза $P = 1$ въ первомъ пролетѣ найдемъ

$$(20) \quad \zeta_{i_1} = -\beta_{i_1} \operatorname{tg} \varphi_R l_1^2$$

и для груза въ пролетѣ l_n :

$$(21) \quad \zeta_{in} = -\beta_{i(n-1)} \operatorname{tg} \varphi_L l_n^2.$$

Такъ какъ $\operatorname{tg} \varphi_L$ и $\operatorname{tg} \varphi_R$ зависятъ только отъ отношений $\xi : l_r$ и соответственно $\xi' : l_r$, но не отъ величины пролетовъ, то вычисление линій количествъ ζ можно сдѣлать безъ большой потери времени. Даже для очень большихъ пролетовъ достаточно раздѣлить пролетъ на то равныхъ частей, и тогда можно воспользоваться таблицей на стр. 41. Для графического опредѣленія ζ можно воспользоваться двумя пучками лучей, построенныхъ весьма наглядно на фиг. 76 *) (опредѣленіе ζ_{ir} для четвертой точки дѣленія



Фиг. 76.

пролета l_r). Одни числа, поставленные на лучахъ, указываютъ на порядокъ соответствующихъ точекъ дѣленія, другія же числа

*) На фиг. 76 вместо $\beta_{i(r-1)} l_r$ надо читать $\beta_{i(r-1)} l_r^2$
" " $\beta_{ir} l_r$ " " $\beta_{ir} l_r^2$.

представляютъ взятыя изъ таблицъ величины тангенсовъ угловъ наклоненія лучей. Значенія $\operatorname{tg} \varphi_l$ для точекъ дѣленія 1, 2, 3, . . . соотвѣтствуютъ значеніямъ $\operatorname{tg} \varphi_r$ для точекъ дѣленія 9, 8, 7, . . . Еще проще производится опредѣленіе вліянія членовъ K'' . Дѣйствительно, линія вліянія для C_{or} состоитъ, по фиг. 50, стр. 43, изъ двухъ прямыхъ, которая пересѣкаются на вертикали точки r и даютъ ординаты, равныя нулю, въ точкахъ $(r-1)$ и $(r+1)$; а поэтому подстановка членовъ K'' въ уравненіе 15 должна доставить многоугольникъ вліянія, вершины котораго . . . $(r-1)' r'(r+1)'$. . . лежать на вертикаляхъ подъ опорными точками, фиг. 75 b; этотъ многоугольникъ опредѣляется ординатами $\eta_{i_0}, \eta_{i_1}, \dots, \eta_{ir}, \dots, \eta_{in}$. Когда грузъ P приходится надъ опорой r , то получаемъ $C_{or}=P$, и въ это же время всѣ остальные C_i исчезаютъ; такимъ образомъ будемъ имѣть:

$$\begin{aligned} K_1'' &= 0, \quad K_2'' = 0, \dots, \quad K''_{r-2} = 0 \\ K''_{r-1} &= -a_r l_{r+1} P, \quad K_r'' = +a_r (l_r + l_{r+1}) P, \quad K''_{r+1} = -a_r l_r P \\ K''_{r+1} &= 0, \dots, \quad K''_{n-1} = 0. \end{aligned}$$

Затѣмъ мы получаемъ

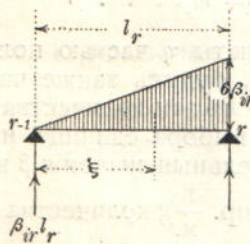
$$(22) \quad \begin{aligned} M_i &= [-\beta_{i(r-1)} a_r l_{r+1} + \beta_{ir} a_r (l_r + l_{r+1}) - \beta_{i(r+1)} a_r l_r] P \text{ или же} \\ \eta_{ir} &= a_r [-\beta_{i(r-1)} l_{r+1} + \beta_{ir} (l_r + l_{r+1}) - \beta_{i(r+1)} l_r]; \end{aligned}$$

для крайнихъ же опоръ o и n надо примѣнить иные формулы, а именно:

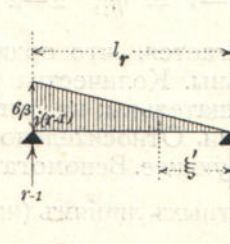
$$(23) \quad \left\{ \begin{array}{l} \eta_{i_0} = -a_0 l_0 \beta_{i_1} \\ \eta_{in} = -a_n l_{n+1} \beta_{i(n-1)}. \end{array} \right. *$$

Сложеніе результатовъ вліянія количествъ K' и K'' производится путемъ отложенія ординатъ линіи количествъ ζ_i отъ многоугольника количествъ η_i , фиг. 75 b.

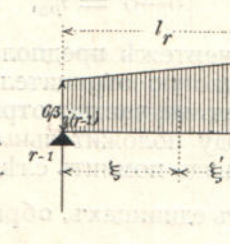
Другой также наглядный графическій способъ заключается въ разсмотрѣніи простой балки пролетомъ l_r , на которую дѣйствуютъ нагрузка, выражаемая площадью треугольника съ высотой $6\beta_{ir}$,



Фиг. 77.



Фиг. 78.



Фиг. 79.

фиг. 77. Сопротивленіе опоры $(r-1)$ равняется $\beta_{ir} l_r$, а моментъ для съченія ξ составляетъ:

$$(M) = \beta_{ir} l_r \cdot \xi - 6 \frac{\xi}{l_r} \cdot \frac{\xi}{2} \cdot \frac{\xi}{3} = \beta_{ir} l_r^2 \left(\frac{\xi}{l_r} - \frac{\xi^3}{l_r^3} \right);$$

* Относительно l_o и l_{n+1} см. стр. 62.

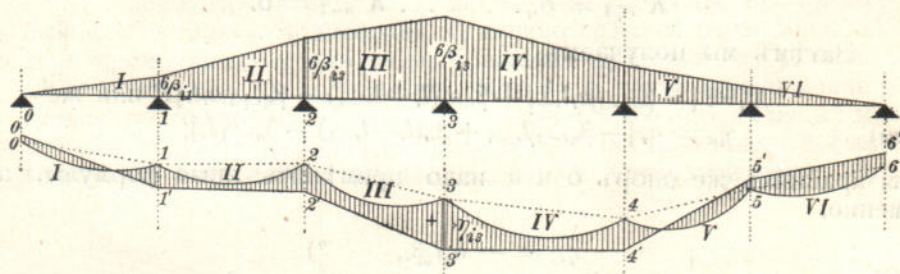
точно такимъ же путемъ найдемъ моментъ при нагрузкѣ треугольникъ, фиг. 78:

$$(M) = \beta_{i(r-1)} l_r^2 \left(\frac{\xi'}{l_r} - \frac{\xi'^3}{l_r^3} \right).$$

Слѣдовательно, нагрузкѣ трапецией, фиг. 79, соотвѣтствуетъ

$$(M) = (\beta_{i(r-1)} \operatorname{tg} \varphi_L + \beta_{ir} \operatorname{tg} \varphi_R) l_r^2 = -\zeta_{ir},$$

а отсюда слѣдуетъ, что на линію количествъ ζ_{ir} можно смотрѣть, какъ на веревочную кривую, построенную при полюсномъ разстояніи l для трапециоидальной грузовой площади, фиг. 79. Это толкованіе линіи количествъ ζ_{ir} приводить къ слѣдующему способу построенія площади вліянія для количества M_i , фиг. 80. Веревочная кривая



Фиг. 80.

I, II, III, \dots соотвѣтствуютъ грузовымъ площадямъ съ тѣми же номерами; пунктирная замыкающая линія $o-1, 1-2, 2-3, \dots$ соотвѣтствующая отдѣльнымъ балкамъ, замѣнены, въ виду введенія значеній K'' , замыкающими $o'-1', 1'-2', 2'-3', \dots$; причемъ:

$$\overline{o-o'} = \eta_{i_0}, \quad \overline{1-1'} = \eta_{i_1}, \quad \overline{2-2'} = \eta_{i_2}, \dots$$

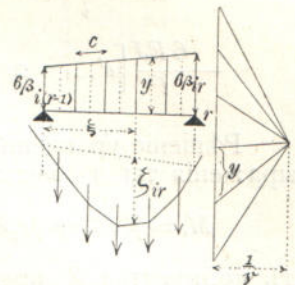
На чертежѣ предполагается, что ординаты η частью положительны, частью отрицательны. Количества β_i будутъ также частью положительны, частью отрицательны; на фиг. 80 эти количества приняты всюду положительными. Относительно выбора единицъ и масштабовъ надо помнить слѣдующее. Вспомогательные значения β выражаются въ единицахъ, обратныхъ линіямъ (напр. $\frac{1}{m}$); количества η и ζ представляютъ линіи (метры). Величины площадокъ f , на которыхъ разлагаются грузовые площади I, II, \dots на фиг. 80 и 81 при построении веревочныхъ кривыхъ, представляютъ числа $(\frac{1}{m} \cdot m)$; если за-

мѣнить величины площадокъ средними высотами ихъ $y = \frac{f}{c}$, где c — ширина площадки, то полюсное разстояніе l (число) надо замѣнить полюснымъ разстояніемъ $l:c$. Масштабъ, по которому наносятся количества $f:c$ и $l:c$, не имѣеть значенія; количества ζ получаются въ томъ же линейномъ масштабѣ, въ которомъ по-

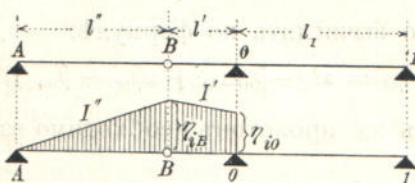
строены пролеты l . Тѣмъ не менѣе лучше выбрать для количествъ ζ нѣсколько болѣй масштабъ, напр. въ n —разъ болѣй, чѣмъ для пролетовъ. Это получается при полюсномъ разстояніи $1 : nc$.

Когда балка $o-n$ продолжается за опору o на величину l' , фиг. 82, причемъ конецъ B поддерживаетъ простую балку AB , то линія вліянія для количества M_i на протяженіи между o и A состоить изъ двухъ прямыхъ I' , I'' , которыя опредѣляются ординатами γ_{io} и γ_{ib} . Если грузъ P приходится надъ B , то въ опорѣ o вызывается моментъ $M_o = -Pl'$; затѣмъ имѣмъ

$$C_{oo} = P \left(1 + \frac{l'}{l_1} \right), \quad C_{oi} = -P \frac{l'}{l_1}, \quad C_{oi} = 0, \dots,$$



Фиг. 81.



Фиг. 82.

и при $P = 1$ получимъ (по уравн. 12):

$$K_1 = -l'l_1 - a_0 l_0 \left(1 + \frac{l'}{l_1} \right) - a_1 (l_1 + l_2) \frac{l'}{l_1}, \text{ затѣмъ}$$

$$K_2 = +a_1 l_1 \frac{l'}{l_1} = a_1 l', \text{ и такимъ образомъ}$$

$$\gamma_{ib} = -\beta_{i1} \left[l'l_1 + a_0 l_0 \left(1 + \frac{l'}{l_1} \right) + a_1 (l_1 + l_2) \frac{l'}{l_1} \right] + \beta_{i2} a_1 l'.$$

24. Продолженіе. Въ случаѣ равныхъ пролетовъ ($l_1 = l_2 = \dots = l$) (что бываетъ очень часто) и при одинаково расположенныхъ опорахъ ($\omega_1 = \omega_2 = \dots = \omega$) ранѣе выведенныя уравненія упрощаются слѣдующимъ образомъ.

Если для краткости письма положить

$$\frac{6EJ\omega}{l^3} = z,$$

то условія упругости напишутся въ такой формѣ:

$$M_1(4+6z) + M_2(1-4z) + M_3z = Z_1$$

$$M_1(1-4z) + M_2(4+6z) + M_3(1-4z) + M_4z = Z_2$$

$$M_1z + M_2(1-4z) + M_3(4+6z) + M_4(1-4z) + M_5z = Z_3$$

$$M_{r-2}z + M_{r-1}(1-4z) + M_r(4+6z) + M_{r+1}(1-4z) + M_{r+2}z = Z_r$$

$$M_{n-4}z + M_{n-3}(1-4z) + M_{n-2}(4+6z) + M_{n-1}(1-4z) = Z_{n-2}$$

$$M_{n-3}z + M_{n-2}(1-4z) + M_{n-1}(4+6z) = Z_{n-1},$$

гдѣ

$$Z_r = \frac{K_r}{l} = -6 \left(\frac{\Sigma_{or}}{l^2} + \frac{\Re_{o(r+1)}}{l^2} \right) - \frac{6\varepsilon EJ(t_u - t_o)}{h} - \\ - \frac{6EJ}{l^2} [e'_{r-1} - 2e'_r + e'_{r+1}] - \alpha [C_{o(r-1)} - 2C_{or} + C_{o(r+1)}] l.$$

Рѣшеніе уравненій упругости даетъ для опорныхъ моментовъ выраженія такого вида:

$$M_i = \beta_{i_1} Z_1 + \beta_{i_2} Z_2 + \dots + \beta_{ir} Z_r + \dots + \beta_{i(n-1)} Z_{n-1},$$

гдѣ количества Z представляютъ *моменты*, а коэффиціенты β — *числа*. Линія вліянія для M_i опредѣляется, какъ и раньше, съ помощью линій количествъ ζ_i и многоугольника количествъ η_i .

Уравненіе линій количествъ ζ_i въ r -ой панели таково:

$$(24) \quad \zeta_{ir} = -(\beta_{i(r-1)} \operatorname{tg} \varphi_L + \beta_{ir} \operatorname{tg} \varphi_R) l;$$

количества η_i надо вычислить по формулѣ:

$$(25) \quad \eta_{i1} = \alpha l (-\beta_{i(r-1)} + 2\beta_{ir} - \beta_{i(r+1)}).$$

Для крайнихъ же пролетовъ необходимо взять отдельныя формулы:

$$(26) \quad \zeta_{i0} = -\beta_{i1} l \operatorname{tg} \varphi_R \quad \zeta_{i(n-1)} = -\beta_{i(n-1)} l \operatorname{tg} \varphi_L$$

$$(27) \quad \eta_{i1} = -\alpha l \beta_{i1} \quad \eta_{in} = -\alpha l \beta_{i(n-1)}.$$

Если желаемъ представить линіи количествъ ζ_i какъ веревочные многоугольники для грузовыхъ площадей, опредѣленныхъ на фиг. 80 ординатами $b\beta_{ir}$, то мы должны выбрать для полюсного разстоянія величину $l : c$ (вмѣсто $1 : c$ какъ было раньше). Тогда количества ζ_i получатся въ томъ же масштабѣ, въ которомъ вычерчены пролеты. Если для количествъ ζ_i будетъ примѣненъ масштабъ въ u разъ большій, то полюсное разстояніе надо взять равнымъ $l : uc$.

Когда балка продолжена за опору о, фиг. 82, то получимъ

$$(28) \quad \eta_{iB} = -\beta_{i1} (l' + \alpha l + 3l\alpha') + \beta_{i2} \alpha l'.$$

25. Добавленіе къ изслѣдованію балки, лежащей на жесткихъ опорахъ.

Способъ построенія линій вліянія для опорныхъ моментовъ, описанный въ № 23 и 24, примѣнимъ, конечно, и для случая жесткихъ опоръ. Такъ какъ значенія ω обращаются въ нуль, то значенія K'' , а также многоугольникъ количествъ η исчезаютъ, поэтому линія количествъ ζ_i , будетъ линіею вліянія для M_i : Дальнѣйшее упрощеніе послѣ опредѣленія постоянныхъ точекъ L и R можно сдѣлать, пользуясь возможностью вычислить моменты M_{r-1} и M_r для двухъ смежныхъ опоръ съ помощью обоихъ уравненій (14), стр. 40, а также пользуясь тѣмъ обстоятельствомъ, что для каждого опорнаго момента достаточно будетъ вычертить тѣ двѣ вѣтви линій вліянія, которыя соотвѣтствуютъ двумъ пролетамъ, смежнымъ съ рассматриваемой опорой. Количество N_{r-1} и N_r , содержащіяся въ дан-

ныхъ уравненіяхъ, имѣютъ одинаковыя значенія съ количествоми K_{r-1} и K_r . При решеніи уравненія получаемъ для M_r формулу:

$$\beta_{r-1} = \frac{x_r}{l_r(x'_r x_r - 1)} \quad \text{и} \quad \beta_{r(r-1)} = -\frac{1}{l_r(x'_r x_r - 1)} = -\frac{\beta_{rr}}{x_r}.$$

Здѣсь x_r и x_{r-1} равны отношеніямъ отрѣзковъ:

$$x_r = \frac{rL}{L(r-1)} \quad \text{и}$$

$$x'_{r-1} = \frac{(r-1)R}{Rr}.$$

Отложимъ теперь (фиг. 83) $rr'' = 6\beta_{rr}$ и проведемъ черезъ r'' и черезъ лѣвую постоянную точку прямую $r''(r-1)''$, тогда найдемъ $(r-1)(r-1)'' = 6\beta_{r(r-1)}$. Линія количествъ ζ_{rr} будетъ веревочной линіей для заштрихованной грузовой площади; эта линія имѣть въ L точку перегиба; съ помощью этой линіи найдемъ опорный моментъ, вызываемый сосредоточеннымъ грузомъ P :

$$M_r = -P\zeta_{rr}.$$

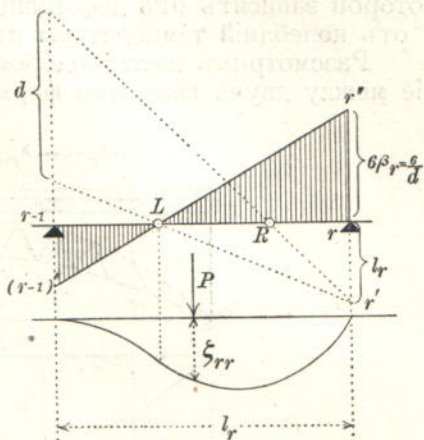
Полюсное разстояніе равняется 1. Для болѣе удобнаго определенія β_{rr} откладываемъ (лучше всего въ небольшомъ масштабѣ) $rr' = l_r$, проводимъ изъ r' и черезъ постоянныя точки прямые и опредѣляемъ на вертикали $(r-1)$ отсѣкаемый этими прямыми отрѣзокъ d . Тогда находимъ легко, что $\beta_{rr} = \frac{1}{d}$. Точно такимъ же образомъ строится линія вліянія для M_{r-1} .

§ 7.

Неразрѣзная продольная мостовая балка.

(Примѣненіе къ § 6).

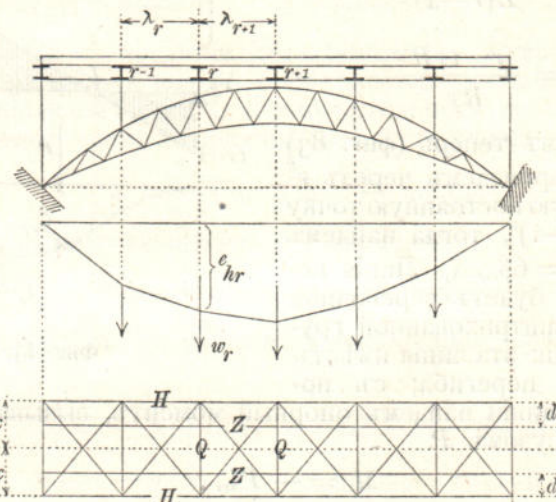
26. Верхнее строеніе моста (см. планъ на фиг. 84) состоить обыкновенно изъ главныхъ фермъ H , поперечныхъ балокъ Q и промежуточныхъ фермъ (продольныхъ балокъ) Z . Послѣднія фермы разматриваются обыкновенно какъ отдѣльные балки, если ихъ пролетъ равняется длине панели, хотя подобное толкованіе допустимо



Фиг. 83.

только тогда, когда продольные балки соединены съ поперечными шарнирными образомъ. Если же шарниры отсутствуютъ, т. е. если продольная балка соединена съ поперечными фермами съ помощью заклепокъ или если продольная балка, ради экономіи въ стѣнкахъ поперечныхъ балокъ, пропущена цѣльною, то будемъ имѣть уже неразрѣзную балку, на упругихъ опорахъ, изгибающіе моменты для которой зависятъ отъ деформацій поперечныхъ и главныхъ фермъ и отъ колебаній температуры въ главныхъ фермахъ.

Рассмотримъ желѣзнодорожный мостъ въ одинъ путь. Растояніе между двумя главными фермами пусть $2c$ (фиг. 84), между про-



Фиг. 84.

межуточными $2(c-d)$. Пусть длина панелей $\lambda_1, \lambda_2, \dots, \lambda_r, \dots, \lambda_n$, опорные моменты для продольныхъ балокъ $M_1, M_2, \dots, M_r, \dots, M_n$, давленія, производимыя продольными балками на поперечныя фермы, $C_0, C_1, C_2, \dots, C_r, \dots, C_n$. Пусть поперечное съченіе для всей продольной балки будетъ одно и тоже, — что вполнѣ возможно допустить; моментъ инерціи балки J . Не обращая вниманія на несущественное вліяніе неравномѣрного нагрѣванія продольной балки, мы получимъ слѣдующую зависимость между тремя смежными опорными моментами:

$$(1) \quad M_{r-1}\lambda_r + 2M_r(\lambda_r + \lambda_{r+1}) + M_{r+1}\lambda_{r+1} = -6\left(\frac{\Omega_{or}}{\lambda_r} + \frac{\Omega_{o(r+1)}}{\lambda_{r+1}}\right) - 6EJ\left[\frac{e_{r-1}}{\lambda_r} - \frac{e_r(\lambda_r + \lambda_{r+1})}{\lambda_r \lambda_{r+1}} + \frac{e_{r+1}}{\lambda_{r+1}}\right],$$

гдѣ e_{r-1}, e_r, e_{r+1} означаютъ вертикальныя перемѣщенія опорныхъ точекъ. Эти перемѣщенія слагаются изъ прогибовъ e_h главныхъ фермъ, изъ e_q — вліяній деформацій поперечныхъ фермъ и стоекъ, находящихся между поперечными и главными фермами. Относительно e_q можно составить такую формулу

$$e_{qr} = e'_{qr} + \omega_r C_r \text{ (ср. стр. 59),}$$

гдѣ e'_{qr} представляетъ значеніе, не зависящее отъ C_r , напр. вліяніе измѣненія температуры, которое при высокихъ стойкахъ можетъ быть значительнымъ. Напротивъ того, каждое изъ перемѣщений e_h зависитъ вообще отъ всѣхъ силъ C .

Если въ линіи прогибовъ главной фермы вписать многоугольникъ, вершины которого лежали бы на вертикаляхъ подъ поперечными фермами, и затѣмъ принять этотъ многоугольникъ за веревочный многоугольникъ для извѣстныхъ грузовъ w , то получимъ такое уравненіе *):

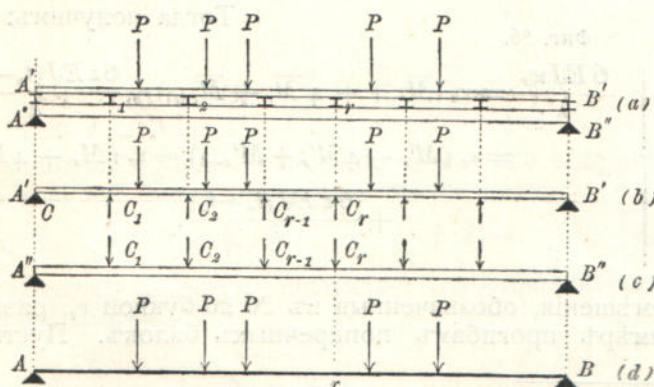
$$(3) \quad w_r = \left(\frac{e_{hr} - e_{h(r-1)}}{\lambda_r} - \frac{e_{h(r+1)} - e_{hr}}{\lambda_{r+1}} \right) \\ = - \left[\frac{e_{h(r-1)}}{\lambda_r} - \frac{e_{hr}(\lambda_r + \lambda_{r+1})}{\lambda_r \lambda_{r+1}} - \frac{e_{h(r+1)}}{\lambda_{r+1}} \right],$$

а уравненіе (1) приметъ слѣдующую форму:

$$(4) \quad M_{r-1} \lambda_r + 2 M_r (\lambda_r + \lambda_{r+1}) + M_{r+1} \lambda_{r+1} \\ = -6 \left(\frac{\Omega_{or}}{\lambda_r} + \frac{\Omega_{o(r+1)}}{\lambda_{r+1}} \right) + 6 E J w_r \\ - 6 E J \left[\frac{e'_{q(r-1)}}{\lambda_r} - \frac{e'_{qr}(\lambda_r + \lambda_{r+1})}{\lambda_r \lambda_{r+1}} - \frac{e_{q(r+1)}}{\lambda_{r+1}} \right] \\ - 6 E J \left[\frac{\omega_{r-1} C_{r-1}}{\lambda_r} - \frac{\omega_r C_r (\lambda_r + \lambda_{r+1})}{\lambda_r \lambda_{r+1}} + \frac{\omega_{r+1} C_{r+1}}{\lambda_{r+1}} \right].$$

Замѣтимъ здѣсь, что до сихъ поръ мы не предполагали ничего опредѣленного о расположеніи главныхъ фермъ; будуть ли главныя фермы рѣшетчатыми или сплошными, балками или арками—это совершенно безразлично.

27. Промежуточная ферма моста со сплошными балками. Имѣемъ $A'B'$ (фиг. 85 а) неразрѣзную промежуточную ферму (продольную балку), $A''B''$ —главную ферму. Пусть на первую



Фиг. 85.

*.) Мы примѣняемъ здѣсь правила, выведенныя нами въ § 3 (выпускъ VII.).

дѣйствуютъ заданныя давленія колесъ P и сопротивленія $C_0, C_1, C_2, \dots, C_r, \dots$ поперечныхъ балокъ, фиг. 85 б, а на главную ферму пусть дѣйствуютъ только силы C , фиг. 85 с. Собственный вѣсъ главныхъ фермъ и поперечныхъ балокъ не разматривается, такъ какъ деформации, производимыя этими вѣсами, появляются до установки продольныхъ балокъ. Пусть для сѣченія r означаютъ:

M_r — изгибающій моментъ въ продольной балкѣ,

\bar{M}_r — " " въ главной фермѣ,

M'_r — " " въ простой балкѣ AB

(фиг. 85 д), на которую дѣйствуютъ только грузы P ,

тогда получимъ

$$(5) \quad M_r = M'_r - \bar{M}_r.$$

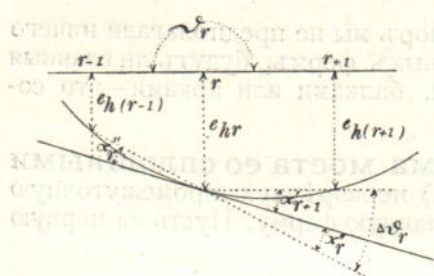
Грузъ w_r , по фиг. 86, гдѣ представлена только часть линіи прогибовъ главной фермы, равняется

$$w_r = \Delta\theta_r = \alpha''_r + \alpha'_{r+1}^*;$$

если J_r и J_{r+1} означаютъ моменты инерціи площадей поперечныхъ сѣченій главной фермы, считаемые постоянными на протяженіи панелей λ_r и λ_{r+1} , то по уравн. 7, стр. 29, получимъ:

$$6EJw_r = \frac{J}{J_r} (\bar{M}_{r-1} + 2\bar{M}_r) \lambda_r + \frac{J}{J_{r+1}} (\bar{M}_{r+1} + 2\bar{M}_r) \lambda_{r+1} + \frac{6\varepsilon EJ(t_u - t_o)\lambda}{h},$$

гдѣ h означаетъ среднюю высоту главной фермы.



Предположимъ, что всѣ панели λ одинаковы; вместо $J : J_r$ и $J : J_{r+1}$ введемъ среднее значение (что вполнѣ допустимо); это значение обозначимъ буквой χ_r .

Фиг. 86.

Тогда получимъ:

$$(6) \quad \left\{ \begin{array}{l} \frac{6EJw_r}{\lambda} = \chi_r (\bar{M}_{r-1} + 4\bar{M}_r + \bar{M}_{r+1}) + \frac{6\varepsilon EJ(t_u - t_o)}{h} \\ \qquad \qquad \qquad = \chi_r (M'_r + 4M'_r + M'_{r+1}) - \chi_r (M_r + 4M_r + M_{r+1}) \\ \qquad \qquad \qquad + \frac{6\varepsilon EJ(t_u - t_o)}{h}. \end{array} \right.$$

Перемѣщенія, обозначенныя въ № 26 буквой e_q , равны въ данномъ примѣрѣ прогибамъ поперечныхъ балокъ. Пусть моментъ

*) Можно найти также непосредственно

$$\frac{e_{hr} - e_{h(r+1)}}{\lambda_r} = \frac{e_{h(r+1)} - e_{hr}}{\lambda_{r+1}} = \alpha'' + \alpha'_{r+1}.$$

инерції J_q для площини поперечного сечения поперечной балки будеть постояннымъ; тогда по § 3 линію прогибовъ для поперечной балки получимъ, если площину моментовъ (т. е. заштрихованную на фиг. 87, площину) примемъ за грузовую площину, опредѣлимъ новую площину моментовъ и ординаты ея раздѣлимъ на EJ_q . Такъ какъ величина грузовой площини равняется $C_r d(2c-d)$, то на каждую опору приходится $\frac{1}{2} C_r d(2c-d)$ и тогда въ сечениі, где приложено C_r , получается моментъ

$$\frac{1}{2} C_r d(2c-d) \cdot d - C_r d \cdot \frac{d}{2} \cdot \frac{d}{3} = \frac{1}{3} C_r d^2(3c-2d).$$

Но отсюда получаемъ:

$$(7) \quad e_{qr} = \frac{C_r d^2(3c-2d)}{3EJ_q} \text{ т. е. } e'_{qr} = 0 \text{ и } \omega_r = \frac{d^2(3c-2d)}{3EJ_q}.$$

Если написать еще, что

$$(8) \quad C_r = C_{or} + \frac{M_{r-1}}{\lambda} - \frac{2M_r}{\lambda} + \frac{M_{r+1}}{\lambda},$$

то уравненіе (4) по дѣленію на λ обратится въ слѣдующее:

$$(9) \quad \alpha M_{r-2} + (1 - 4\alpha + x_r) M_{r-1} + (4 + 6\alpha + 4x_r) M_r + (1 - 4\alpha + x_r) M_{r+1} + \alpha M_{r+2} = Z_r,$$

гдѣ

$$(10) \quad Z_r = -6 \left(\frac{C_{or}}{\lambda^2} + \frac{M_{r+1}}{\lambda^2} \right) - \alpha \lambda [C_{o(r-1)} - 2C_r + C_{o(r+1)}] \\ + x_r (M'_{r-1} + 4M'_r + M'_{r+1}) + \frac{6\varepsilon EJ(t_u - t_o)}{h}$$

и

$$(11) \quad \alpha = 2 \frac{J}{J_q} \frac{d^2(3c-2d)}{\lambda^3}.$$

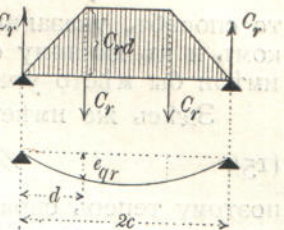
Изъ рѣшенія уравненій (9) получаемъ для опорнаго момента M_i въ продольной балкѣ выраженіе такого вида:

$$(12) \quad M_i = \beta_{i_1} Z_1 + \beta_{i_2} Z_2 + \beta_{i_3} Z_3 + \dots + \beta_{ir} Z_r + \dots + \beta_{i(n-1)} Z_{n-1};$$

затѣмъ получаемъ моментъ, зависящій отъ неравномѣрнаго нагрѣванія главной фермы:

$$(13) \quad M_i = \frac{6\varepsilon EJ(t_u - t_o)}{h} [\beta_{i_1} + \beta_{i_2} + \dots + \beta_{ir} + \dots + \beta_{i(n-1)}].$$

Вліяніе грузовъ P на величину M_i опредѣляется проще всего графически. Если бы имѣли



Фиг. 87

$$(14) \quad Z_r = -6 \left(\frac{\Omega_{or}}{\lambda^2} + \frac{\Omega_{o(r+1)}}{\lambda^2} \right) - \alpha \lambda (C_{o(r-1)} - 2C_{or} + C_{o(r+1)}),$$

то способъ, указанный въ № 24, можно было бы примѣнить цѣликомъ и къ данному случаю; тогда для линій количествъ ζ_i и η_i имѣли бы мѣсто уравненія 24 до 27.

Здѣсь же имѣется значеніе

$$(15) \quad Z_r = z_r (M'_{r-1} + 4M'_r + M'_{r+1}),$$

поэтому теперь спрашивается, какое вліяніе оказываетъ это приращеніе на моментъ M_i .

Опредѣляя Z_1 до Z_{n-1} изъ формулы 15, увидимъ, что уравненіе (12) обратится въ слѣдующее:

$$M_i = \Sigma \beta_{ir} z_r (M'_{r-1} + 4M'_r + M'_{r+1});$$

если написать это выраженіе по порядку моментовъ . . . M_{r-1} , M_{r+1} , . . . то уравненіе приметъ видъ

$$(16) \quad M_i = \Sigma M'_r (\beta_{i(r-1)} z_{r-1} + 4\beta_{ir} z_r + \beta_{i(r+1)} z_{r+1}),$$

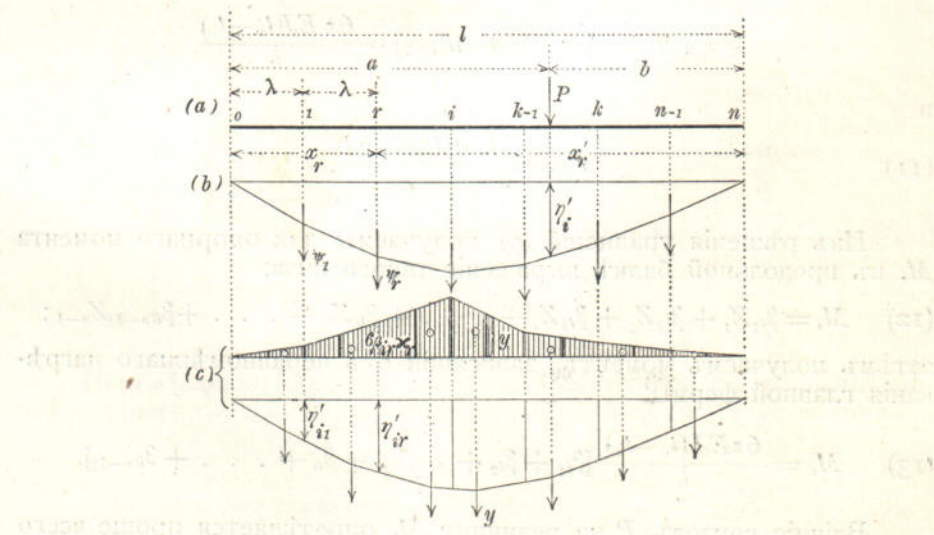
гдѣ первый членъ читается такъ: $M'_1 (4\beta_{i1} z_1 + \beta_{i2} z_2)$, а послѣдній:

$$M'_{n-1} (\beta_{i(n-2)} z_{n-2} + 4\beta_{i(n-1)} z_{n-1}).$$

Положимъ теперь, что грузъ P , перемѣщающійся по продольной балкѣ, находится въ панели k , фиг. 88 а. Тогда

$$\text{для } r < k-1 \quad M'_r = \frac{Pb}{l} x_r$$

$$\text{для } r > k \quad M'_r = \frac{Pa}{l} x'_r,$$



Фиг. 88.

а если ввести, ради краткости въ письмѣ, обозначеніе

$$(17) \quad \beta_{i(r-1)}x_{r-1} + 4\beta_{ir}x_r + \beta_{i(r+1)}x_{r+1} = \psi_{ir},$$

то получимъ

$$(18) \quad M_i = \left(\frac{b}{l} \sum_{o}^{k-1} \psi_{ir} x_r + \frac{a}{l} \sum_{k}^{n-1} \psi_{ir} x'_{r'} \right) P = P\eta'_i,$$

гдѣ η'_i означаетъ измѣренную подъ грузомъ P ординату веревочного многоугольника, построенного при полюсномъ разстояніи l для грузовъ $\psi_{i1}, \psi_{i2}, \dots, \psi_{ir}, \dots, \psi_{i(n-1)}$, приложенныхъ къ узламъ $1, 2, \dots, r, \dots, (n-1)$, фиг. 88 б. Къ тому же результату придемъ и въ томъ случаѣ, если среднія высоты y отдѣльныхъ трапеций, фиг. 88 с, опредѣляемыхъ ординатами $6\beta_{ir}x_{ir}$, нанесенными по опорнымъ вертикалямъ, принять за вертикальныя силы, приложенные къ центральмъ тяжести трапеций, соединить эти силы веревочнымъ многоугольникомъ съ полюснымъ разстояніемъ l и вписать въ этотъ многоугольникъ второй многоугольникъ, вершины котораго лежали бы подъ узловыми точками. Чтобъ убѣдиться въ этомъ, примемъ заштрихованную на фиг. 87 с площадь за грузовую площадь и распредѣлимъ ее по узламъ. На узель r придется

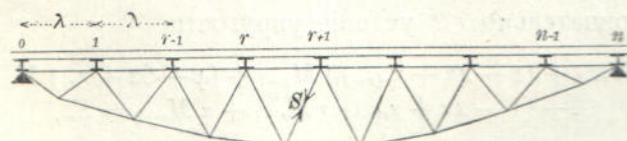
$$\frac{1}{3} 6\beta_{i(s-1)}x_{(r-1)} \frac{\lambda}{2} + \frac{4}{3} 6\beta_{ir}x_{ir} \frac{\lambda}{2} + \frac{1}{3} 6\beta_{i(r+1)}x_{i(r+1)} \frac{\lambda}{2} = \psi_{ir}\lambda;$$

это выраженіе надо раздѣлить на λ , если только величины площадей трапеций должны быть замѣнены средними высотами. Вписыванія многоугольника въ веревочный многоугольникъ на фиг. 87 с можно и не дѣлать, потому что для настѣ доста точно только определить ординаты $\eta'_i, \eta'_{i_2}, \dots, \eta'_{ir}, \dots, \eta'_{i(n-1)}$, соотвѣтствующія узловымъ точкамъ. Дѣйствительно, при изслѣдованіи вліянія членовъ $Z_r = x_r(M'_{r+1} + 4M'_{r+1} + M'_{r+1})$, мы увеличивали количества η_i ,

иденные въ № 25, на соотвѣтствующія величины η'_i . Такимъ образомъ вмѣсто многоугольника количества η_i при прежнемъ изслѣдованіи теперѣ является многоугольникъ количества $(\eta_i + \eta'_i)$.

Количества ψ_{ir} , а также среднія высоты y грузовыхъ трапеций, фиг. 87 с, представляютъ собою числа. Взявъ для полюснаго разстоянія соотвѣтствующаго веревочного многоугольника число l , получимъ отрѣзки η_i въ томъ же масштабѣ, въ которомъ построены пролеты λ . Если желаемъ изобразить ординаты η' (обыкновенно не большія по величинѣ) въ v -разъ большемъ масштабѣ, чѣмъ масштабъ для λ , то для полюснаго разстоянія надо взять $l : v$.

28. Промежуточная (продольная) балка рѣшетчатаго балочнаго моста, фиг. 89. Пусть длина панелей λ всюду одинакова; примемъ, что поперечныя балки лежать непосредственно на



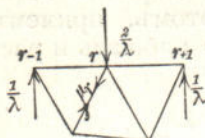
Фиг. 89.

главныхъ фермахъ. Расчетъ промежуточной(продольной)балки будетъ отличаться отъ изслѣдований, сдѣланныхъ въ № 27, только тѣмъ, что грузъ w_r надо опредѣлять не по уравненію 6, а съ помощью выражения, выведенаго на стр. 11 (выпускъ VII), уравн. 5)

$$(19) \quad w_r = \Sigma \mu_r \Delta s,$$

гдѣ μ_r означаетъ усиление въ какомъ нибудь стержнѣ рѣшетки отъ дѣйствія состоянія нагрузки $\bar{M}_r = 1$ (представлено на фиг. 90), и Δs означаетъ дѣйствительное измѣненіе длины стержня. Для стержня, не входящаго въ фиг. 90, имѣемъ $\mu_r = 0$. Усилия въ стержняхъ рѣшетки можно представить теперь какъ линейныя функции узловыхъ моментовъ . . . \bar{M}_{r-1} , \bar{M}_r , \bar{M}_{r+1} . . . ; они напишутся въ такой формѣ:

$$(20) \quad S = \dots \mu_{r-1} \bar{M}_{r-1} + \mu_r \bar{M}_r + \mu_{r+1} \bar{M}_{r+1} + \dots;$$



Фиг. 90.

для частнаго случая рѣшетки, состоящей изъ соединеннаго ряда треугольниковъ, каждое усиление S зависитъ по крайней мѣрѣ отъ трехъ моментовъ для трехъ смежныхъ узловъ, а для данной рѣшетки безъ стоекъ — по крайней мѣрѣ отъ двухъ моментовъ *). Поэтому въ уравненіи 19 можно положить

$$\begin{aligned} \Delta s &= \frac{Ss}{EF} + \varepsilon ts \\ &= \frac{s}{EF} (\mu_{r-1} \bar{M}_{r-1} + \mu_r \bar{M}_r + \mu_{r+1} \bar{M}_{r+1}) + \varepsilon ts, \end{aligned}$$

и тогда получимъ:

$$(21) \quad \frac{6EJw_r}{\lambda} = z_{r(r-1)} \bar{M}_{r-1} + z_{rr} \bar{M}_r + z_{r(r+1)} \bar{M}_{r+1} + \frac{6\varepsilon EJ}{\lambda} \Sigma \mu_r ts,$$

гдѣ

$$\begin{aligned} (22) \quad z_{r(r-1)} &= \frac{6J}{\lambda} \Sigma \mu_{r-1} \mu_r \frac{s}{F}; \quad z_{rr} = \frac{6J}{\lambda} \Sigma \mu^2 \frac{s}{F}; \\ z_{r(r+1)} &= \frac{6J}{\lambda} \Sigma \mu_r \mu_{r+1} \frac{s}{F}. \end{aligned}$$

Обративъ вниманіе на то, что

$$\bar{M} = M'_r - M_r,$$

найдемъ окончательно r^{th} условіе упругости:

$$(23) \quad \alpha M_{r-2} + (1 - 4\alpha + z_{r(r-1)}) M_{r-1} + (4 + 6\alpha + z_{rr}) M_r + (1 - 4\alpha + z_{r(r+1)}) M_{r+1} + \alpha M_{r+2} = Z_r,$$

*) См. § 16 въ концѣ выпуска IX.

гдѣ

$$(24) \quad Z_r = -6 \left(\frac{\varrho_{or}}{\lambda^2} + \frac{\Re_{o(r+1)}}{\lambda^2} \right) - z\lambda (C_{0(r-1)} - 2C_{0r} + C_{0(r+1)}) \\ + z_{r(r-1)} M'_{r-1} + z_{rr} M'_r + z_{r(r+1)} M'_{r+1} + \frac{6\varepsilon EJ}{\lambda} \Sigma \mu_r ts$$

и

$$(25) \quad z = 2 \frac{J}{J_q} \frac{d^2(3c - 2d)}{\lambda^3}.$$

Получивъ такимъ образомъ для какого нибудь опорнаго момента M_i выраженіе

$$M_i = \beta_{i_1} Z_1 + \beta_{i_2} Z_2 + \beta_{i_3} Z_3 + \dots + \beta_{i(n-1)} Z_{n-1},$$

мы найдемъ значеніе, соотвѣтствующее неравномѣрному нагрѣванію главной фермы:

$$(26) \quad M_i = \frac{6\varepsilon EJ}{\lambda} [\beta_{i_1} \Sigma \mu_1 ts + \beta_{i_2} \Sigma \mu_2 ts + \dots + \beta_{i(n-1)} \Sigma \mu_{n-1} ts].$$

Линія вліянія для количества M_i опредѣляется по способу, описанному въ № 2; грузы же ψ надо вычислить съ помощью уравненія

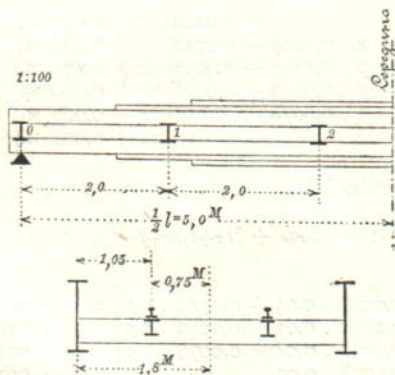
$$(27) \quad \psi_{ir} = \beta_{i(r-1)} z_{r(r-1)} + \beta_{ir} z_{rr} + \beta_{i(r+1)} z_{r(r+1)}.$$

Численный примѣръ.

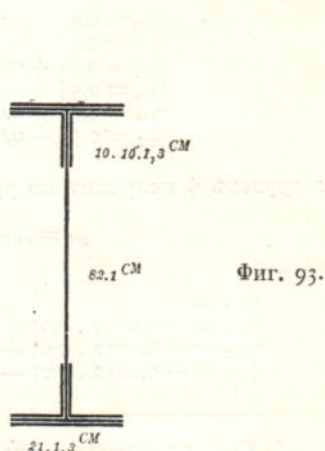
Имѣемъ мостъ со сплошными фермами, пролѣтъ 10 м., длина панели 2 м., ширина 3,6 м., фиг. 91 и 92. Главная ферма состоять изъ вертикального листа (820 . 10 мм.), четырехъ уголковъ (100 . 100 . 13 мм.) и поясныхъ листовъ (210 . 13 мм.) моментъ инерціи площади поперечнаго сѣченія равняется:

при двухъ листахъ въ каждомъ поясѣ . . .	376 000 см ⁴ .
при одномъ листѣ	275 000 "
безъ листовъ	181 000 "

Фиг. 91.



Фиг. 92.



Моменты инерці для продольной и поперечной балки (нормальные профили № 32 и соответственно № 45) равны

$$J = 12\,600 \text{ и соответственно } J_2 = 46\,200 \text{ см}^4.$$

Длина поясныхъ листовъ показана на фиг. 91.

При определеніи чиселъ α пусть для узловыхъ точекъ 1 и 2 будутъ присвоены значения $J_1 = 250\,000$ и $J_2 = 376\,000$, какъ моменты инерці поперечныхъ сечений главной фермы; положимъ такимъ образомъ:

$$\alpha_1 = \frac{12\,600}{250\,000} = 0,05 = \alpha_4$$

$$\alpha_2 = \frac{12\,600}{376\,000} = 0,03 = \alpha_3$$

По фиг. 92 $d = 1,05$ м., $c = 1,8$ м., следовательно

$$\alpha = 2 \frac{J}{J_q} \frac{d^3(3c-d)}{\lambda^3} = 2 \frac{12\,600}{46\,200} \frac{1,05^2(3 + 1,8 - 2 \cdot 1,05)}{2,0^3} = 0,25.$$

Условія упругости для вычисленія опорныхъ моментовъ продольной балки напишутся въ такой формѣ:

$$\begin{aligned} M_1(1 - 4\alpha + \alpha_2) + M_2(1 - 4\alpha + \alpha_1) + M_3(1 - 4\alpha + \alpha_2) + M_4(1 - 4\alpha + \alpha_3) &= Z_1 \\ \alpha M_1 + M_2(1 - 4\alpha + \alpha_3) + M_3(1 - 4\alpha + \alpha_2) + M_4(1 - 4\alpha + \alpha_1) &= Z_2 \\ \alpha M_2 + M_3(1 - 4\alpha + \alpha_4) + M_4(1 - 4\alpha + \alpha_2) &= Z_3 \\ \alpha M_3 + M_4(1 - 4\alpha + \alpha_4) + M_1(1 - 4\alpha + \alpha_3) &= Z_4 \end{aligned}$$

изъ этихъ уравненій получаемъ, напр., для M_2 (этимъ изслѣдованиемъ здѣсь и ограничимся) значение

$$M_2 = -0,0009 Z_1 + 0,1742 Z_2 + 0,0032 Z_3 - 0,0078 Z_4,$$

такимъ образомъ:

$$\beta_{2,1} = -0,0009; \quad \beta_{2,2} = +0,1742; \quad \beta_{2,3} = +0,0032; \quad \beta_{2,4} = -0,0078.$$

Съ помощью формулы

$$\gamma_{ir} = \alpha \lambda (-\beta_{i(r-1)} + 2\beta_{ir} - \beta_{i(r+1)})$$

мы получимъ теперь (принявъ во вниманіе, что $\alpha \lambda = 0,25 \cdot 2,0 = 0,5$ м.):

$$\begin{aligned} \gamma_{2,0} &= 0,5 [+ 0,0009] = 0,000 \text{ м.} \\ \gamma_{2,1} &= 0,5 [- 2 \cdot 0,0009 - 0,1742] = -0,088 \text{ м.} \\ \gamma_{2,2} &= 0,5 [+ 0,0009 + 2 \cdot 0,1742 - 0,0032] = +0,173 \text{ м.} \\ \gamma_{2,3} &= 0,5 [- 0,1742 + 2 \cdot 0,0032 + 0,0078] = -0,080 \text{ м.} \\ \gamma_{2,4} &= 0,5 [- 0,0032 - 2 \cdot 0,0078] = -0,009 \text{ м.} \\ \gamma_{2,5} &= 0,5 [+ 0,0078] = +0,004 \text{ м.} \end{aligned}$$

для грузовъ ψ получимъ по уравненію

$$\psi_{ir} = \beta_{i(r-1)} z_{r-1} + 4\beta_{ir} z_r + \beta_{i(r+1)} z_{r+1}$$

значенія

$$\begin{aligned} \psi_{2,1} &= -4 \cdot 0,0009 \cdot 0,05 + 0,1742 \cdot 0,03 = +0,005046 \\ \psi_{2,2} &= -0,0009 \cdot 0,05 + 4 \cdot 0,1742 \cdot 0,03 + 0,0032 \cdot 0,03 = +0,020955 \\ \psi_{2,3} &= +0,1742 \cdot 0,03 + 4 \cdot 0,0032 \cdot 0,03 - 0,0078 \cdot 0,05 = +0,005220 \\ \psi_{2,4} &= +0,0032 \cdot 0,03 - 4 \cdot 0,0078 \cdot 0,05 = -0,001464. \end{aligned}$$

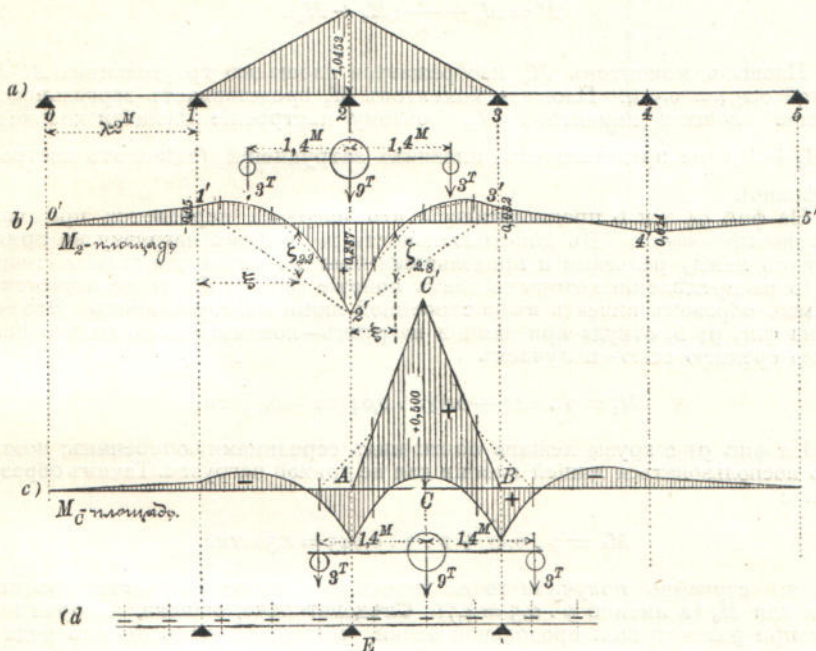
^{*)} Ср. примѣненіе значеній α_r на стр. 76. Округленіе здѣсь вполнѣ допустимо, потому что влияніе чиселъ α очень ничтожно.

Если принять, что продольная балка (фиг. 94) опирается на опоры о и 5 и что въ точкахъ 1, 2, 3, 4 приложены грузы $\psi_{2 \cdot 1}$, $\psi_{2 \cdot 2}$, $\psi_{2 \cdot 3}$, $\psi_{2 \cdot 4}$, то для съченій 1, 2, 3, 4 найдемъ моменты:

$$\eta'_1 = +0,037, \eta'_2 = +0,064, \eta'_3 = +0,048, \eta'_4 = +0,014 \text{ *)},$$

поэтому ординаты многоугольника количествъ $(\eta + \eta')$ (т. е. многоугольника о' 1' 2' 3' 4' 5', на фиг. 94 b) будутъ равняться:

$$\begin{aligned} \eta_1 + \eta'_1 &= +0,088 + 0,037 = -0,051 \text{ м.} \\ \eta_2 + \eta'_2 &= +0,173 + 0,064 = +0,237 \text{ м.} \\ \eta_3 + \eta'_3 &= -0,080 + 0,048 = -0,032 \text{ м.} \\ \eta_4 + \eta'_4 &= -0,009 + 0,023 = +0,014 \text{ м.} \\ \eta_5 + \eta'_5 &= +0,004 = +0,004 \text{ м. (ничтожно).} \end{aligned}$$



Фиг. 94.

Отложивъ отъ этой ломанной линіи ординаты кривыхъ количествъ ζ_2 по отрицательному направлению (см. фиг. 75 на стр. 67), получимъ линію вліянія для искомаго опорного момента. Вычислимъ эту кривую съ помощью формулы

$$\zeta_{ir} = (\beta_{i(r-1)} \operatorname{tg} \varphi_L + \beta_{ir} \operatorname{tg} \varphi_R) \lambda$$

и тотчасъ же увидимъ, что въ виду ничтожности величинъ $\beta_{2 \cdot 1}$, $\beta_{2 \cdot 3}$ и $\beta_{2 \cdot 4}$ (которыя могутъ быть приравнены нулю) имъютъ вліяніе только значения $\zeta_{2 \cdot 2}$ и $\zeta_{2 \cdot 5}$, зависящія отъ $\beta_{2 \cdot 2}$ **).

Такъ какъ $\beta_{ir} \lambda = 0,1742 \cdot 2 = 0,3484$ и кромѣ того

$$\zeta_{2 \cdot 2} = 0,3484 \operatorname{tg} \varphi_R \text{ и } \zeta_{2 \cdot 5} = 0,3484 \operatorname{tg} \varphi_L,$$

*). При равныхъ панеляхъ авторъ совѣтуетъ опредѣлять моменты η' отъ грузовъ ψ всегда вычисленіемъ. Количество η' выражаются въ метрахъ.

**) Линія количествъ ζ для панели находится графически, на стр. 71, какъ линія моментовъ для грузовой площади—треугольника съ высотой 6 $\beta_{2 \cdot 2} = 1,0452$.

то для 4 точекъ дѣленія панели на 5 равныхъ частей, принимая во вниманіе численныя значенія на стр. 41, получаемъ

$$\begin{array}{l|l|l} \text{для } \frac{\xi}{\lambda} = 0,2 & \xi_{2 \cdot 2} = 0,3484 \cdot 0,1920 = 0,067 \text{ м.} & \xi_{2 \cdot 3} = 0,100 \text{ м.} \\ = 0,4 & = 0,3484 \cdot 0,3360 = 0,117 \text{ "} & = 0,134 \text{ "} \\ = 0,6 & = 0,3484 \cdot 0,3840 = 0,134 \text{ "} & = 0,117 \text{ "} \\ = 0,8 & = 0,3484 \cdot 0,2880 = 0,100 \text{ "} & = 0,067 \text{ "} \end{array}$$

Заштрихованныя площиади на фиг. 94 представляютъ полученные такимъ образомъ площиади вліянія для количества M_2 .

На фиг. 94 с построена площиадь вліянія для изгибающаго момента въ серединѣ панели 2—3; выражается этотъ моментъ формулой

$$M = M_0 + \frac{1}{2} (M_2 + M_3).$$

Площиадь моментовъ M_0 изображается площиадью треугольника $AC'B$ съ высотой $0,25 \lambda = 0,5$ м. Площиадь моментовъ M_3 представляетъ зеркальное изображеніе площиади моментовъ M_2 , поэтому построение площиады количества $\frac{1}{2} (M_2 + M_3)$ не представляетъ никакихъ затрудненій (здесь это построение не сдѣлано).

На фиг. 94 а и б предполагалось, что нагрузка передается продольной балкѣ *непосредственно*. Въ дѣйствительности же имѣемъ нагрузку не прямую, такъ какъ между рельсами и продольными балками находятся шпали—поперечины (о распределеніи которыхъ даетъ понятіе фиг. 94 d); тогда остается извѣстнымъ образомъ вписать въ построенной линіи многоугольникъ. Это сдѣлано на фиг. 94 b, откуда при данной нагрузкѣ—локомотивъ съ сильно нагруженною среднею осью—получаемъ

$$M_2 = 9 \cdot 0,11 - 0,3 (2 \cdot 0,04) = + 0,75 \text{ тм.}$$

На фиг. 94 с грузы лежать почти надъ серединами поперечинъ; поэтому можно воспользоваться линіей вліянія для не прямой нагрузки. Такимъ образомъ найдемъ:

$$M_c = 9 \cdot 0,47 + 2 \cdot 3 \cdot 0,045 = 4,50 \text{ тм.}$$

здесь мы случайно получили то же значеніе, которое получается изъ линіи вліянія для M_0 (а именно $9 \cdot 0,5 = 4,5$). Слѣдовательно, ошибка, которая получается при разсмотрѣніи продольной балки, состоящей какъ бы изъ ряда отдельныхъ балокъ равняется нулю; *во всѣхъ примѣрахъ, которые приводятся расчитываютъ автору, эта ошибка получалась ничтожна*. Вліяніе неравномѣрнаго нагрѣванія главныхъ фермъ на моменты M_2 и M_3 , а также на моментъ M_c выражается такъ:

$$\begin{aligned} M_{2t} = M_{3t} = M_{ct} &= (\beta_{2 \cdot 1} + \beta_{2 \cdot 2} + \beta_{2 \cdot 3} + \beta_{2 \cdot 4}) \frac{6 \varepsilon E J (t_u - t_o)^{**}}{h} \\ &= 0,17 \frac{6 \cdot 24 \cdot 12600}{84} (t_u - t_o), \end{aligned}$$

куда надо подставить вместо h среднее значеніе 84 см. и $\varepsilon E = 24 \text{ к/см}^2$. При $t_u - t_o = 15^\circ$ получаемъ

$$M_{2t} = M_{3t} = M_{ct} = 55 \text{ обо ксм.} = 0,55 \text{ тм.,}$$

*) На фиг. 94 взять особенно невыгодный случай нагрузки. Силы въ 3 и 9 тоннъ представляютъ давленія, приходящіяся на колеса, а не на оси. Постоянной нагрузкѣ можно пренебречь.

**) Достаточно точное приближеніе напишется въ такомъ видѣ:

$$M_t = \frac{5 \varepsilon E J (t_u - t_o)}{(4 + 6 \varepsilon + z_2) h} = 0,18 \cdot \frac{6 E J (t_u - t_o)}{h}.$$

поэтому окончательно найдемъ:

$$M_2 = +0,75 + 0,55 = 1,3 \text{ тм. и } Mc = +4,50 + 0,55 = 5,1 \text{ тм.}$$

Моментъ сопротивління продольной балки (нормальная профиль № 32) $W = 790$, поэтому напряженіе составляеть

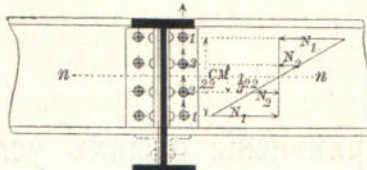
$$\sigma = \frac{510\,000}{790} = 630 \text{ к.см}^2.$$

Вычисление момента M_2 необходимо для расчета заклепочного соединенія, фиг. 95. Заклепки 1 и 2, прикрепляющія продольную балку къ уголкамъ, работаютъ двумъ плоскостямъ перерѣзыванія; пусть усилия, приходящія на заклепки, равняются N_1 и N_2 , причемъ можно принять, что

$$N_2 : N_1 = \frac{22}{3} : 22 = 1 : 3.$$

Тогда получаемъ

$$N_1 \cdot 22 = \frac{N_1}{3} \cdot \frac{22}{3} = 130\,000 \text{ к.см.,}$$



Фиг. 95.

откуда

$$N_1 = 5\,320 \text{ к.}$$

Толщина стѣнки продольной балки составляетъ 1,15 см.; діаметръ заклепки 2 см., поэтому давленіе на стѣнку заклепочного отверстія равняется:

$$\frac{5\,320}{2 \cdot 1,15} = 2\,320 \text{ к./см}^2,$$

а среднее напряженіе при перерѣзываніи заклепки (площадь сѣченія = 3,14 см.²) равняется

$$\frac{5\,320}{2 \cdot 3,14} = 850 \text{ к./см}^2.$$

Заклепки, прикрепляющія уголки къ поперечной балкѣ, работаютъ ниже линіи $n-n$ на *растяжение* въ продольномъ направлениі и наибольшее усилие равняется

$$\frac{1}{2} N_1 = 2660 \text{ к.}$$

Напряженіе при растяженіи составитъ

$$\sigma = \frac{2660}{3,14} = 850 \text{ к./см}^2.$$

Кромѣ того заклепки получаютъ напряженія отъ вертикального давленія A , производимаго продольной балкой на поперечную *). Для опредѣленія этого давленія передвинемъ локомотивъ вправо до тѣхъ поръ, пока грузъ 9 т. не придется надъ поперечиной E (фиг. 94 d); примѣтъ продольную балку за отдаленную балку и найдемъ $A = \frac{5}{6} \cdot 9 = 7,5$ т. Дѣйствительное давленіе A будетъ нѣсколько менѣе, такъ какъ моментъ M_2 сохраняетъ опредѣленное ранѣе положительное значеніе. На каждую изъ четырехъ заклепокъ, перерѣзываемыхъ по двумъ плоскостямъ, приходится усилие $\frac{1}{4} \cdot 7,5 = 1,9$ т., а потому

*) Это добавочное напряженіе уменьшается путемъ приклепыванія кусковъ уголковъ подъ продольной балкой (на фиг. 95 показано пунктиромъ).

это усиление вмѣстѣ съ усилиемъ N_1 даетъ равнодѣйствующую $N = \sqrt{1,9^2 + 5,3^2} = 5,6$ т. Давленіе на поверхность отверстія увеличится теперь до $\frac{5600}{2 \cdot 1,15} = 2440$ к./см², а напряженіе при перерѣзываніи заклепки увеличится до $\frac{5600}{2 \cdot 3,14} = 900$ к./см². Такимъ образомъ расчетъ этотъ показываетъ, что напряженія при подобныхъ соединеніяхъ довольно значительны.

§ 8.

Приложеніе общихъ условій упругости къ статически неопредѣлимымъ балкамъ.

29. Въ началѣ 2-го тома (а именно въ выпускѣ VI) было приведено общее изслѣдованіе статически неопредѣлимыхъ фермъ, сдѣланное на основаніи закона возможныхъ перемѣщений. Для вычисления статически неопредѣлимыхъ величинъ X_a, X_b, X_c, \dots были выведены такія уравненія:

$$(1) \quad \left\{ \begin{array}{l} L_a - \delta_{aa} + \delta_a = \Sigma P_m \delta_{ma} - \delta_{aa} X_a - \delta_{ba} X_b - \delta_{ca} X_c - \delta_{da} X_d - \dots \\ L_b - \delta_{bt} + \delta_b = \Sigma P_m \delta_{mb} - \delta_{ab} X_a - \delta_{bb} X_b - \delta_{cb} X_c - \delta_{db} X_d - \dots \\ L_c - \delta_{ct} + \delta_c = \Sigma P_m \delta_{mc} - \delta_{ac} X_a - \delta_{bc} X_b - \delta_{cc} X_c - \delta_{dc} X_d - \dots \\ \dots \dots \dots \dots \dots \end{array} \right.$$

Здѣсь означаютъ $\delta_a, \delta_b, \delta_c, \dots$ пути нагрузкокъ X_a, X_b, X_c, \dots статически опредѣлимой главной фермы, δ_m —путь данной нагрузки P_m *),

$$\begin{array}{ll} \delta_{ma} \text{— вліяніе причины } X_a = -1 \text{ на путь } \delta_m \\ \delta_{mb} \text{— } " \text{ } " \text{ } " \text{ } X_b = -1 \text{ } " \text{ } " \text{ и т. д.} \\ \delta_{aa} \text{— } " \text{ } " \text{ } " \text{ } X_a = -1 \text{ } " \text{ } \delta_a \\ \delta_{ab} \text{— } " \text{ } " \text{ } " \text{ } X_b = -1 \text{ } " \text{ } \delta_b \text{ и т. д.} \end{array}$$

δ_{at} вліяніе на путь δ_a измѣненія температуры статически опредѣлимой главной фермы, причемъ это измѣненіе соотвѣтствуетъ не напряженному состоянію.

L_a означаетъ ту возможную работу, которая получится, если сопротивленія опоръ, вызываемыя причиною $X_a = -1$ въ статически опредѣлимой главной фермѣ, умножить на проекціи дѣйствительнаго перемѣщенія точекъ приложенія этихъ силъ, и т. д.

Уравненія (1) были выведены сначала (въ выпускѣ VI) для рѣшетки; для поясненія теоріи былъ сдѣланъ также одинъ примѣръ. На стр. 40 и 41 (выпускѣ VI) эти уравненія выведены кратчайшимъ

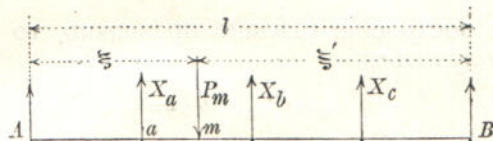
*) Понятія „нагрузка“ и „путь нагрузкок“ объяснены во введеніи на стр. 37 (выпускѣ VI).

путемъ съ помощью теоремы *Максуелля* ($\delta_{mn} = \delta_{nm}$). Затѣмъ на стр. 51, 52 и 53. (выпускъ VI) была доказана примѣнимость теоремы Максуелля къ твердымъ изотропнымъ тѣламъ, а отсюда уже можно заключить о примѣнимости уравнений (1) къ статически неопределѣлимъ сплошнымъ фермамъ съ неизмѣннымъ закрѣплениемъ опоръ *) и съ неизмѣннымъ сочлененiemъ частей фермы.

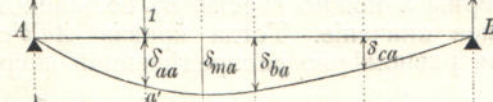
Дальнѣйшая примѣненія, которыя мы сдѣлаемъ сначала въ общихъ чертакъ **), покажутъ, что опредѣленіе величинъ X съ помощью уравнений (1) отличается общностью и чрезвычайною наглядностью.

80. Опредѣленіе сопротивленій опоръ съ помощью уравненій (1). Если въ горизонтальной балкѣ (фиг. 96), лежащей на 5 опорахъ и находящейся подъ дѣйствиемъ вертикальныхъ грузовъ P_m , принять за статически неопределѣлимъя величины сопротивленія X_a , X_b , X_c среднихъ опоръ, то статически опредѣли-

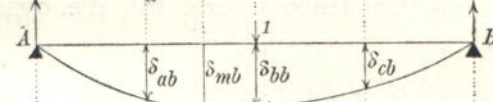
Фиг. 96,



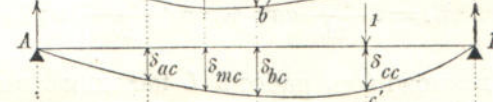
Фиг. 97.



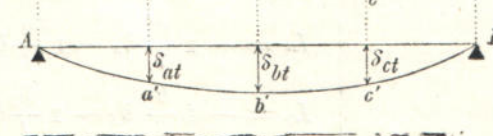
Фиг. 98.



Фиг. 99.



Фиг. 100.



мая главная ферма будетъ представлять изъ себя простую балку AB , находящуюся подъ дѣйствиемъ силъ P_m и X_a , X_b , X_c . Обозначимъ понижение опорныхъ точекъ A , a , b , c , B буквами δ_A , δ_a , δ_b , δ_c , δ_B .

На фиг. 97, 98 и 99 представлены состоянія нагрузокъ $X_a = -$,

*) См. введеніе, стр. 13 и 14 (выпускъ VI).

**) Подробный примѣръ будетъ описанъ въ § 9 (на нѣмецкомъ языке; этотъ отдельъ еще не напечатанъ).

$X_b = -1$ и $X_c = -1$; въ первомъ случаѣ грузъ t , приложенный къ a , вызываетъ въ опорахъ A и B сопротивленія $\frac{a'}{l}$ и $\frac{a}{l}$, во второмъ случаѣ: $t \frac{b'}{l}$ и $t \frac{b}{l}$ и т. д.

$$\begin{array}{llll} Aa'B & \text{будеть линіей прогибовъ для состоянія } X_a = -1 \\ Ab'B & " & " & X_b = -1 \\ Ac'B & " & " & X_c = -1. \end{array}$$

Эти линіи построены по способу, описанному въ § 2; съ помощью этихъ линій находимъ прогибы:

$$\begin{array}{llll} \delta_{aa}, & \delta_{ba}, & \delta_{ca}, & \delta_{ma}, \\ \delta_{ab}, & \delta_{bb}, & \delta_{cb}, & \delta_{mb}, \\ \delta_{ac}, & \delta_{bc}, & \delta_{cc}, & \delta_{mc}. \end{array}$$

Если построеніе сдѣлано правильно, то по теоремѣ Максуелля должно получиться:

$$\delta_{ba} = \delta_{ab}, \quad \delta_{cb} = \delta_{bc}, \quad \delta_{ca} = \delta_{ac}.$$

На фиг. 100 построена линія прогибовъ $Aa'b'c'B$, которая получается отъ дѣйствія измѣненія температуры; эта линія построена въ предположеніи, что $t_u > t_o$; изъ нея получаемъ δ_{at} , δ_{bt} , δ_{ct} . Для высоты фермы h можно ввести, въ большинствѣ случаевъ, постоянное среднее значеніе. Тогда кривая $Aa'b'c'B$ будетъ веревочной кривой для равномѣрно распределенной нагрузки, высота которой $= \epsilon \frac{t_u - t_o}{h}$ (по уравненію 1, стр. 16), т. е. будетъ параболой; затѣмъ получимъ:

$$(2) \quad \delta_{at} = \epsilon \frac{t_u - t}{2h} aa'; \quad \delta_{bt} = \epsilon \frac{t_u - t_o}{2h} bb'; \quad \delta_{ct} = \epsilon \frac{t_u - t_o}{2h} cc'.$$

Для возможныхъ работъ L находимъ выраженія:

$$(3) \quad \left\{ \begin{array}{l} L_a = -1 \frac{a'}{l} \delta_A - 1 \frac{a}{l} \delta_B \\ L_b = -1 \frac{b'}{l} \delta_A - 1 \frac{b}{l} \delta_B \\ L_c = -1 \frac{c'}{l} \delta_A - 1 \frac{c}{l} \delta_B; \end{array} \right.$$

осталось еще задать величины перемѣщеній δ_A , δ_B , δ_a , δ_b , δ_c .

Въ балкахъ, лежащихъ на каменныхъ опорахъ или на короткихъ желѣзныхъ стойкахъ, перемѣщеніями опоръ можно, въ большинствѣ случаевъ, пренебречь; тогда надо положить $\delta_A = \delta_B = \delta_a = \delta_b = \delta_c = 0$.

Если желаемъ ввести въ расчетъ перемѣщенія опоръ, найденные изъ наблюдений или просто заданныя, то эти перемѣщенія слѣдуетъ отнести къ прямой AB , какъ къ нулевой оси, т. е. надо положить, что $\delta_A = \delta_B = 0$.

Если балка подпирается въ точкѣ a длинною стойкою (колонною), то по уравн. (2), стр. 59 (значенія буквъ указаны тамъ же), надо положить:

$$\delta_a = -\varepsilon t_a h_a + \frac{X_a h_a}{E_a F_a}.$$

Если балка опирается на понтонъ, то по уравн. (3), стр. 60, имѣемъ

$$\delta_a = \delta'_a + \frac{X_a}{\gamma F_a},$$

гдѣ δ'_a означаетъ перемѣщеніе точки a , не зависящее оть X_a , напр. вліяніе понижения уровня воды, или измѣненіе глубины погруженія понтона оть непосредственной загрузки его. Когда точки A и B получаютъ перемѣщенія, зависящія оть давленій на опоры A и B , т. е. когда, напр., $\delta_A = \delta'_A + \frac{A}{\gamma F_A}$ (свободно плавающая часть понтоннаго моста), тогда A и B должны выразиться, конечно, въ функціи силъ X_a , X_b , X_c . А именно мы получимъ:

$$(4) \quad \left| \begin{array}{l} A = \Sigma \frac{P_m \xi'}{l} - X_a \frac{a'}{l} - X_b \frac{b'}{l} - X_c \frac{c'}{l} \\ B = \Sigma \frac{P_m \xi}{l} - X_a \frac{a}{l} - X_b \frac{b}{l} - X_c \frac{c}{l}. \end{array} \right.$$

Количества X_a , X_b , X_c можно вычислить теперь изъ уравненій (1); такимъ образомъ задача наша рѣшена.

31. Примѣненіе къ статически неопределѣлимой главной фермѣ. Если при изслѣдованій r -разъ статически неопределѣлимой фермы желаемъ примѣнить уравненія (1) не ко всѣмъ статически неопределѣлимымъ величинамъ X , а только къ извѣстному числу ихъ i : X_a , X_b , . . . X_i , то ферма, находящаяся подъ дѣйствиемъ нагрузкокъ P_m , X_a , X_b , . . . X_i , будетъ $(r-i)$ -разъ статически неопределѣлена (такую ферму опять назовемъ основной—главной фермой); для этой статически неопределѣлой фермы необходимо будетъ опредѣлить перемѣщенія δ_{ma} , δ_{aa} , δ_{ab} , . . . , соотвѣтствующія состояніямъ нагрузки $X_a = -1$, $X_b = -1$, . . . $X_i = -1$. Если $i = r - 1$, то останется только одно уравненіе съ одной неизвѣстной X .

Пусть, напр., требуется построить линію вліянія для сопротивленія X_a опоры a въ балкѣ, лежащей на 7 опорахъ, фиг. 101. Пусть всѣ опоры будутъ неподвижны. Поперечная сѣченія постоянны по всей длине.

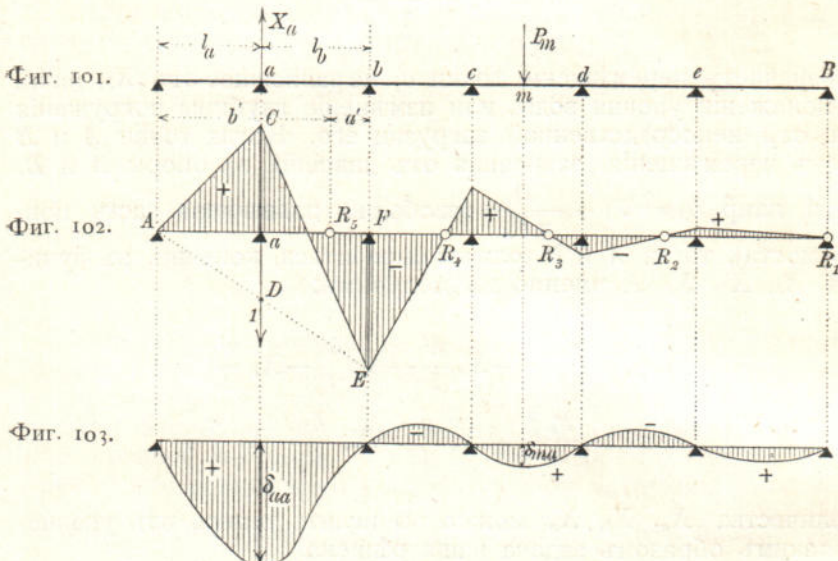
Устранимъ опору a , и къ балкѣ, лежащей теперь на 6 опорахъ, приложимъ къ точкѣ a грузъ, равный 1, построимъ потомъ для этого состоянія нагрузки съ помощью постоянной точки R площадь моментовъ (на фиг. 102 эта площадь заштрихована) и на-

конецъ вычертимъ линію прогибовъ, соотвѣтствующую этой пло-
щади моментовъ. Тогда получимъ

$$0 = \Sigma P_m \delta_{ma} - X_a \delta_{aa}, \text{ откуда}$$

$$X_a = \Sigma \frac{P_m \delta_{ma}}{\delta_{aa}}.$$

Построенная линія прогибовъ будетъ линіей вліянія для коли-
чества X_a ; множитель ея равняется $1 : \delta_{aa}$.



Опорный моментъ $\overline{FE} = M_{ba}$ *) на фиг. 102 по второму уравне-
нию изъ группы (14), стр. 40 **), равняется:

$$M_{ba} = \frac{1}{\chi'} \frac{N_b}{l_a + l_b}, \text{ гдѣ } \chi' = \frac{a'}{b'},$$

а по уравненію (8), стр. 36, и уравн. (13), стр. 31, имѣемъ

$$N_b = -1 \cdot \frac{l_a l_b (2l_a + l_b)}{l_a + l_b}.$$

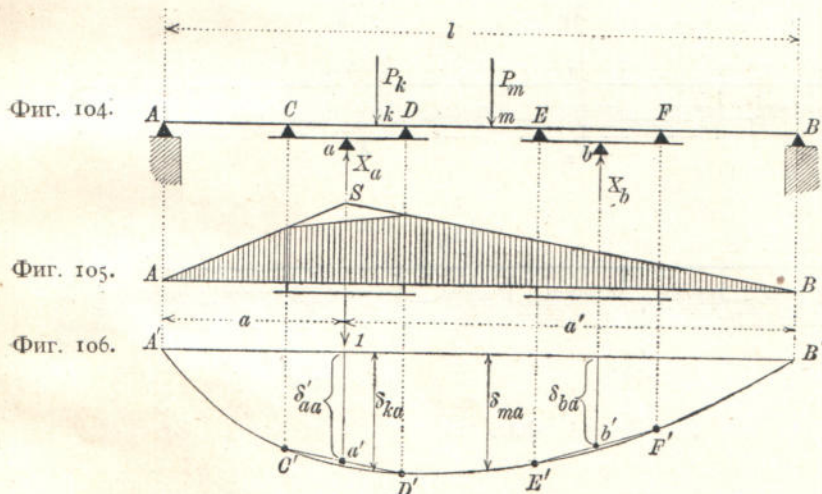
Для опредѣленія точки a' надо отложить отъ прямой AE отрѣзокъ $\overline{CD} = 1 \cdot \frac{l_a l_b}{l_a + l_b}$.

*) M_{ba} означаетъ моментъ для сѣченія b отъ дѣйствія причины $X_a = -1$.

**) Первое уравненіе изъ группы (14) къ первому пролету не примѣнимо.

32. Опоры съ подбалками. На фиг. 104 представлена балка, сопротивленія опоръ которой X_a и X_b приложены не непосредственно къ самой балкѣ, а передаются съ помощью промежуточныхъ балокъ CD и EF . Такимъ образомъ балка AB поддерживается по концамъ двумя опорами A и B , а также двумя подбалками CD и EF . Площадь моментовъ для состоянія $X_a = -1$ построена на фиг. 105; треугольникъ моментовъ ASB , соответствующій непосредственной нагрузкѣ, имѣть высоту $\frac{aa'}{l}$. На фиг. 106 построена линія прогибовъ $A'C'D'E'F'B'$, соответствующая заштрихованной площади моментовъ. Если принять сначала, что подбалка CD жесткая, то точка a' будетъ лежать на прямой $C'D'$ и тогда $\delta_{aa} = \delta'_{aa}$. Но подбалка CD имѣть въ точкѣ a прогибъ $\delta''_{aa} = 1 \frac{e'^2 e''^2}{3 E J' e}$, гдѣ J' означаетъ моментъ инерціи площади поперечного сѣченія подбалки; кромѣ того имѣемъ

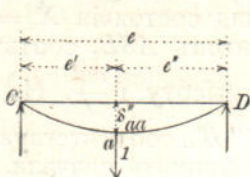
$$\delta_{aa} = \delta'_{aa} + \delta''_{aa}.$$



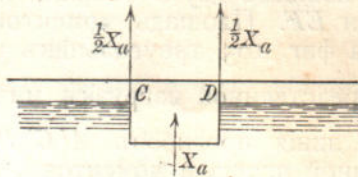
Точка же b' лежитъ на прямой $E'F'$, если дѣйствуетъ только причина $X_a = -1$; такимъ образомъ δ_{ba} равно ординатѣ точки b' . Подобнымъ же путемъ изслѣдуется случай нагрузки $X_b = -1$. Дальнѣйшее изслѣдованіе одинаково съ изслѣдованіемъ въ № 30.

Подобный родъ опоръ встрѣчается между прочимъ въ понтонахъ мостахъ, прогоны которыхъ лежатъ непосредственно на бортахъ, фиг. 108; въ виду незначительности угла наклоненія понтона можно всегда считать, что жесткая подбалка CD под-

перта въ серединѣ и что точка опоры ея a получаетъ понижение $\delta_a = \delta'_a + \frac{X_a}{\gamma F_a}$.



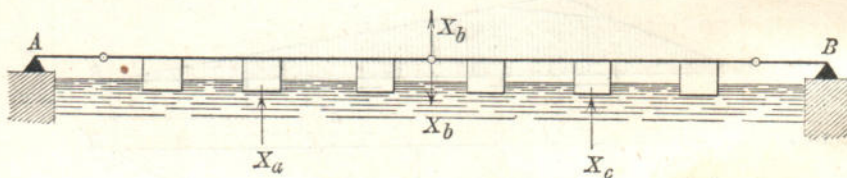
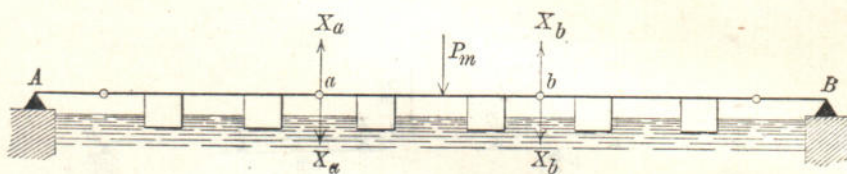
Фиг. 107.



Фиг. 108.

33. Статически неопределѣмая балки съ шарнирами. Каждая балка, лежащая на n опорахъ, путемъ введенія ($n-2$) среднихъ шарнировъ можетъ быть сдѣлана статически опредѣлимой *). Если же число шарнировъ только ($n-2-r$), то балка

Фиг. 109.



Фиг. 110.

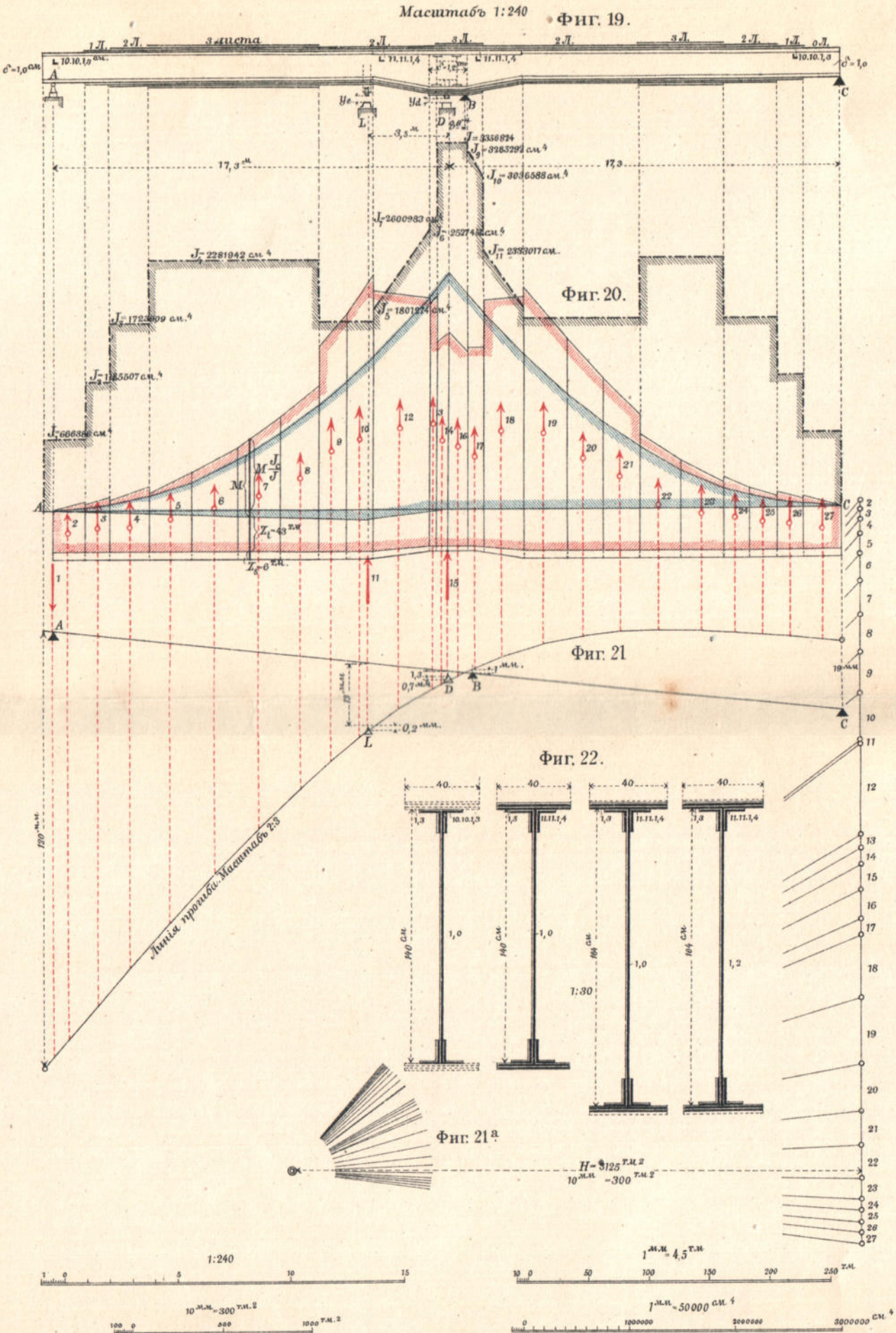
будетъ r -разъ статически неопределѣлена; эту балку можно превратить въ балку Герберса путемъ устраненія r -опоръ, сопротивленія которыхъ пусть будуть X_a , X_b , X_c , . . . : тогда къ такой статически опредѣлимой основной фермѣ можно примѣнить уравненія (1) **).

*). См. томъ I, стр. 9. (выпускъ II) и отдѣлъ VI (выпускъ II).

**). На этомъ мѣстѣ измѣненій подлинникъ прерывается.

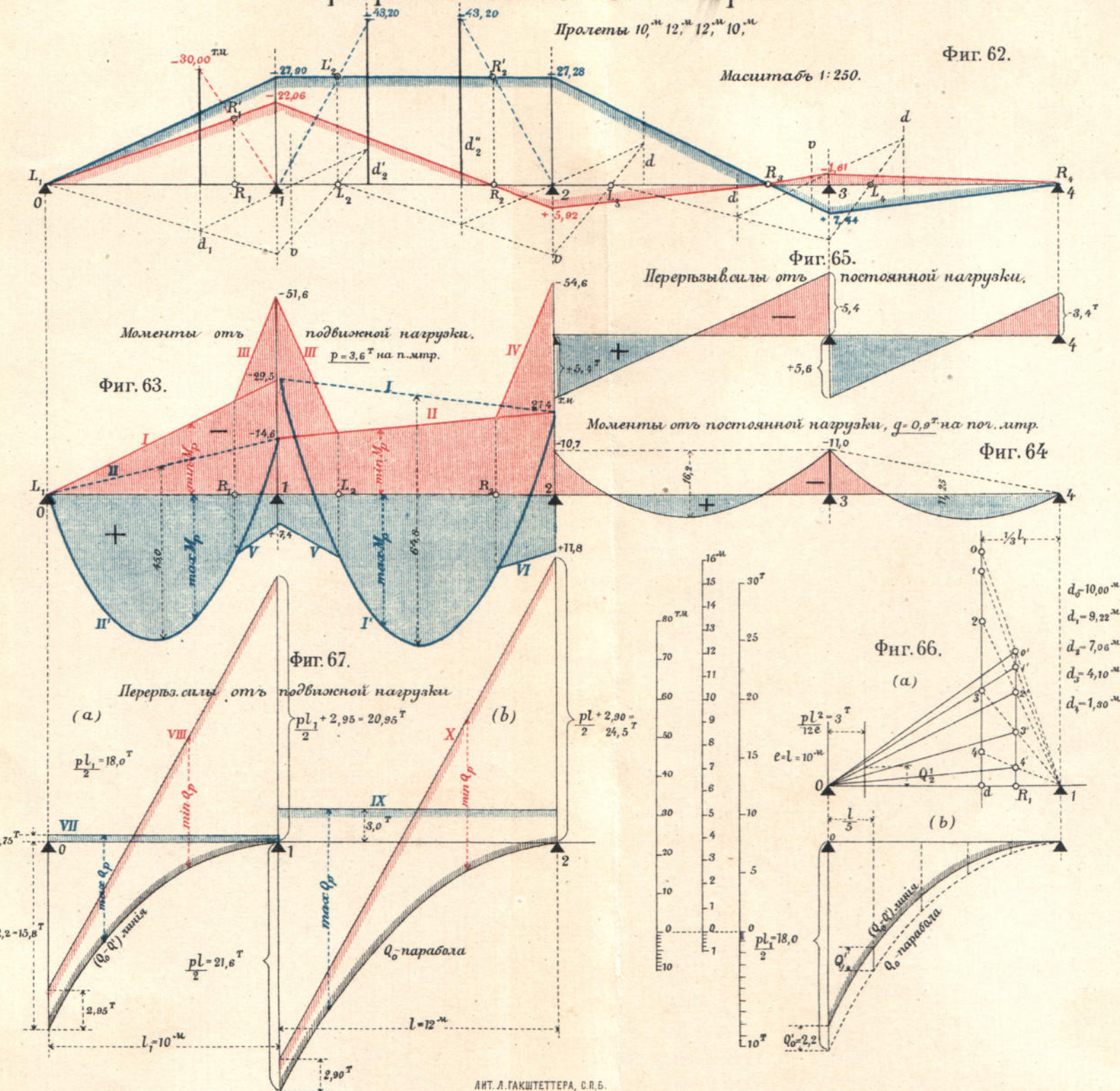
Опредѣленіе прогиба открытаго поворотнаго моста системы Шведлера. (№ 8, в.)

Листъ 1.



Фиг. 19, 20, 21, 22.

Неразрѣзная балка на 5 опорахъ.





660

ЦѣНА ПОЛНагО ИЗДАНІЯ

2 тома—10 выпусковъ, объемъ около 65 печатныхъ листовъ съ 1000 чертежами въ текстѣ и 16 литографированными таблицами).

по подпискѣ въ книжныхъ магазинахъ — **12** рублей.

Для гг. студентовъ техническихъ заведеній по подпискѣ у издателя—(С.-Петербургъ, Фонтанка 24, кв. 9)—
8 рублей.

За пересылку по вѣсу и разстоянію налагается платежъ.

Отдѣльные выпуски продаваться не будутъ.

